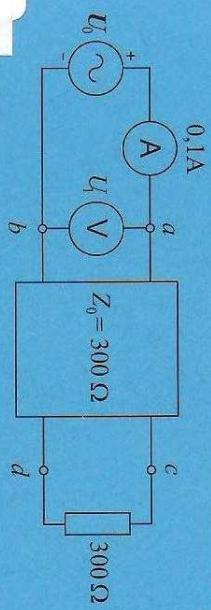
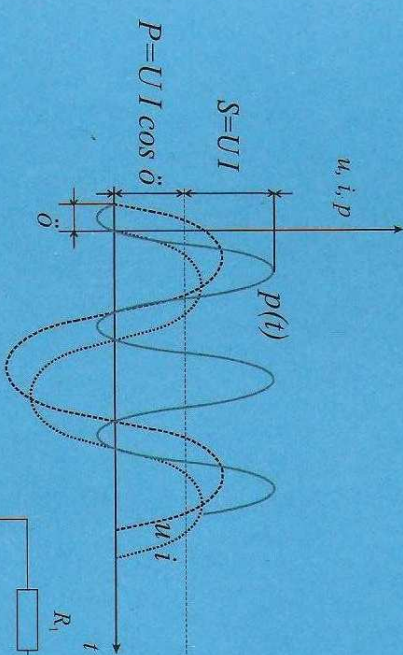


BORSKM86V

ZÁKLADY ELEKTRICKÝCH OBVODŮ V PŘÍKLADECH

Zdeňka Benešová
Marcela Ledvinová

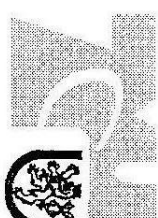


BORSKM86V

D401

**ZÁKLADY
ELEKTRICKÝCH OBVODŮ
V PŘÍKLADECH**

Zdeňka Benešová
Marcela Ledvinová



**ZÁPADOČESKÁ
UNIVERZITA v Plzni**
Univerzitní knihovna



NENÍC MNE*

3275055200

Předmluva

Tato skripta jsou určena především posluchačům 1. a 2. ročníku fakulty elektrotechnické jako studijní pomůcka k procvičení nejdůležitějších pojmu a k ověření základních znalostí z elektrických obvodů. Probíraná lávka je rozdělena do deseti kapitol. V každé kapitole je nejprve uveden přehled nejdůležitějších pojmu, zákonů a pravidel pro řešení dané partie, následují řešené vzorové příklady a pak soubor neřešených příkladů. Na nich si čtenář může ověřit, zda příslušné partie porozuměl, pro kontrolu správnosti postupu jsou u každého příkladu uvedeny výsledky. Do sbírky byly záměrně zařazeny převážně jednodušší příklady, podobně tém, se kterými se studenti setkají v testech zadávaných během semestru a u vstupního testu při zkoušce. Problematika probíraná při přednáškách a ve cvičení je však mnohem širší a v předložených příkladech je zachycena jen částečně. Text v úvodu každé kapitoly není uceleným výkladem dané problematiky, ale je pouze přehledem vztahů potřebných pro řešení následujících příkladů, nemůže proto plně nahradit ani výklad látky na přednášce ani studium z učebnice elektrických obvodů.

Předložená sbírka obsahuje 45 řešených příkladů a 295 jednodušších příkladů neřešených, část z nich byla převzata ze starších skript Elementární příklady z elektrických obvodů (autoři Benešová, Mayer, Ledvinová, Kůš). Příklady zařazené v této nové sbírce lze vyřešit zpravidla s minimálními numerickými výpočty jejich řešení má především pomocí studentům vytvořit si správný fyzikální názor. Při řešení příkladů je proto třeba snažit se problematice porozumět, nikoliv se jí učit zpaměti.

Skripta obsahuje příklady z těch partií elektrických obvodů, které se probírají v predmětech Úvod do elektrotechniky a Teoretická elektrotechnika I na elektrotechnické fakultě a v Teoretické elektrotechnice pro FAV. Věřme, že predkládaná skripta se stanou účinnou studijní pomůckou pro úspěšné zvládnutí těchto základních předmětů pro studium elektrotechniky.

Děkujeme kolegům, kteří nám byli nápadomoci při přípravě skript, zejména ing. Janu Mayerovi za nakreslení části obrázků a ing. Antonínu Předotovi za kontrolu výsledků u většiny neřešených příkladů. Nás dík patří rovněž recenzentovi doc. Ing. Jiřímu Kotlanovi, CSc., který svými cennými připomínkami přispěl ke konečné úpravě textu.

Univerzitní knihovna
Západočeské univerzity v Plzni

SK080000774

V Plzni, prosinec 2007

Zdeňka Benešová
Marcela Ledvinová

Obsah

1. Periodický proměnné veličiny a jejich matematické vyjádřování.....	5
2. Topologická a fyzikální struktura elektrického obvodu	11
3. Stejnosměrné obvody s rezistory	21
4. Metody obecné analýzy obvodů.....	29
5. Elektrické obvody v harmonickém ustáleném stavu	41
6. Výkony v harmonickém ustáleném stavu	71
7. Trojázové obvody	81
8. Přechodné jevy	93
9. Dvojbrany	117
10. Obvody s neharmonickým proměnným napětím a proudy v ustáleném stavu.....	133

1. PERIODICKÝ PROMĚNNÉ VELIČINY A JEJICH MATEMATICKÉ VYJADŘOVÁNÍ

Obsah

1.1 ZÁKLADNÍ VZTAHY
Časově proměněné napětí a proudy v ustáleném stavu lze vyjádřit periodickou funkcí času s periodou T

$$v(t) = v(t + kT) \quad (1.1)$$

Charakteristické hodnoty periodické funkce jsou: *maximální hodnota (amplituda), střední a efektivní hodnota.*

Střední hodnota určuje stejnosměrnou složku periodické funkce $v(t)$, je definována vztahem

$$V_S = \frac{1}{T} \int_{t_1}^{t_1+T} v(t) dt \quad \text{resp.} \quad V_S = \frac{1}{T} \int_0^T v(t) dt \quad (1.2)$$

Střední hodnota proudu určuje takovou hodnotu stejnosměrného proudu, který by za dobu T přenesl stejně velký elektrický náboj.

Časové průběhy, jejichž stejnosměrná složka je nulová, nazýváme *průběhy střídavé*. Časové průběhy, které nabývají pouze kladných nebo pouze záporných hodnot, nazýváme *průběhy pulsující*. Odčtením stejnosměrné složky od libovolného periodického průběhu dostaneme průběh střídavy. Jelikož pro střídavé průběhy je stejnosměrná složka nulová, zavádime v elektrických obvodech *střední hodnotu pro polovinu periody*

$$V_S = \frac{2}{T} \int_{t_1}^{t_2} v(t) dt \quad (1.3)$$

kde t_1 a t_2 jsou časové okamžiky začátku a konce půlvlny kladné polarity.

Efektivní hodnota periodické funkce je

$$V = \sqrt{\frac{1}{T} \int_0^T v^2(t) dt} \quad (1.4)$$

Fyzikální význam má *efektivní hodnota periodického proudu*, která je rovna takové hodnotě stejnosměrného proudu, který na lineárním odporu vyvolá za dobu T stejně tepelné účinky.
Pro analýzu obvodů s neharmonickými průběhy napětí a proudů je důležitý rozklad periodické funkce na jednotlivé harmonické složky pomocí Fourierovy řady, této problematice je věnována 10. kapitola.

1.2 PŘÍKLADY K PROCVIČENÍ

1.1 Napětí se mění podle funkce $u = 120\cos\left(942t + \frac{\pi}{6}\right)$. Stanovte amplitudu,

efektivní hodnotu, kmitočet a dobu jednoho kmitu.

$$\boxed{U_m = 120\text{V}, U = 120/\sqrt{2} = 84.8\text{ V}}$$

$$\boxed{f = 150\text{Hz}, T = 0.00666\text{s}}$$

1.2 Úhlový kmitočet harmonicky proměnného napětí je $\omega = 300\text{ s}^{-1}$. Stanovte dobu periody.

$$\boxed{T = 0.0209\text{s}}$$

1.3 Stanovte fázový posun mezi napětím $u_1 = 100\sin\left(314t - \frac{\pi}{6}\right)$ a

$$u_2 = 150\sin\left(314t + \frac{\pi}{6}\right).$$

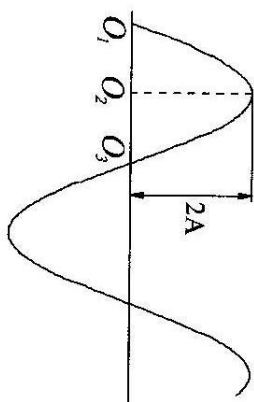
napětí u_2 před napětím u_1 o $\frac{\pi}{3}$

1.4 Stanovte okamžitou hodnotu napětí v čase $t = 0,025\text{ s}$, jestliže se mění

v závislosti na čase podle funkce: $u = 50\cos\left(\omega t + \frac{\pi}{2}\right)$, kmitočet je $f = 50\text{ Hz}$.

$$\boxed{u(0,025) = -50\text{V}}$$

1.5 Harmonický průběh proudu znázorněný na obrázku vyjádřete analyticky pomocí funkce sinus, je-li kmitočet průběhu $f = 50\text{ Hz}$ a počátek na vodorovné osě odpovídá bodu: a) O_1 , b) O_2 , c) O_3 .



- a) $2\sin 314t\text{ A}$,
- b) $2\sin\left(314t + \frac{\pi}{2}\right)\text{ A}$,
- c) $2\sin\left(\omega t + \pi\right) = -2\sin 314t\text{ A}$.

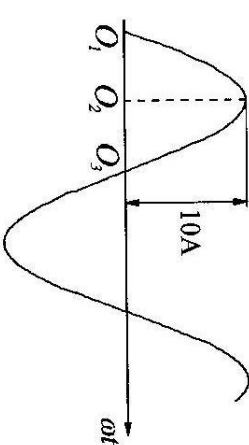
1.6 Stanovte amplitudu U_m harmonickým proměnného napětí

$$u(t) = U_m \cos\left(\omega t + \frac{\pi}{3}\right), \text{ platí-li } u(0) = 30\text{V}.$$

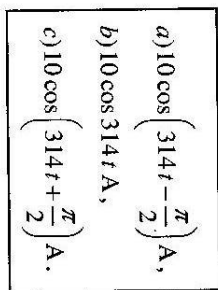
$$\boxed{U_m = 60\text{V}}$$

1.7 Harmonický průběh proudu znázorněný na obrázku vyjádřete pomocí funkce kosinus, je-li kmitočet $f = 50\text{ Hz}$ a počátek odečítání času $t = 0$ odpovídá bodu

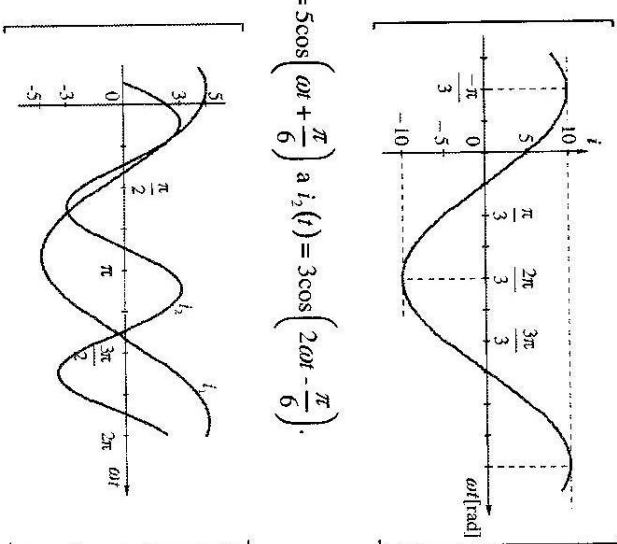
- a) O_1 , b) O_2 , c) O_3 .



1.8 Zakreslete průběh proudu $i(t) = 10\cos\left(\omega t + \frac{\pi}{3}\right)\text{ A}$.



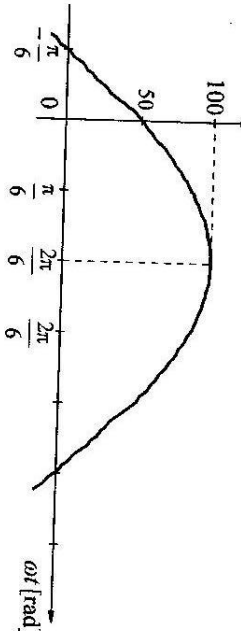
1.9 Zakreslete průběhy $i_1(t) = 5\cos\left(\omega t + \frac{\pi}{6}\right)$ a $i_2(t) = 3\cos\left(2\omega t - \frac{\pi}{6}\right)$.



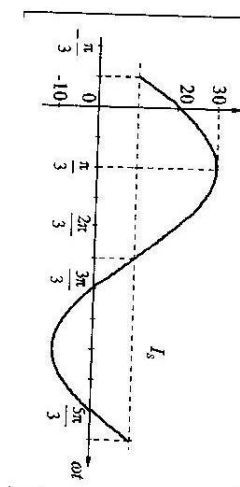
1.10

- Vyjádřete analyticky harmonické napětí, jehož průběh je na obrázku, a to:
- pomocí funkce sinus,
 - pomocí funkce kosinus.

$u[V]$



1.11 Vyjádřete pomocí funkce sin časový průběh na obrázku.

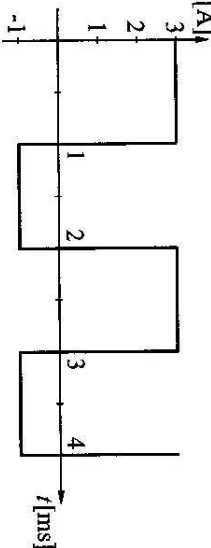


$$a) u(t) = 100 \sin\left(\omega t + \frac{\pi}{6}\right) V,$$

$$b) u(t) = 100 \cos\left(\omega t - \frac{\pi}{3}\right) V$$

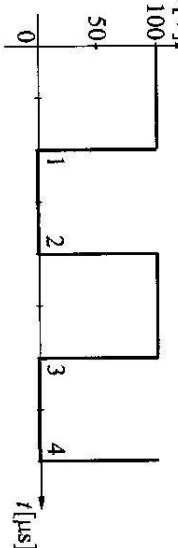
1.13 Stanovte stejnosměrnou složku proudu, jehož časový průběh je na obrázku.

$i[A]$



1.14 Stanovte střední a efektivní hodnotu napětí, jehož časový průběh je na obrázku:

$u[V]$

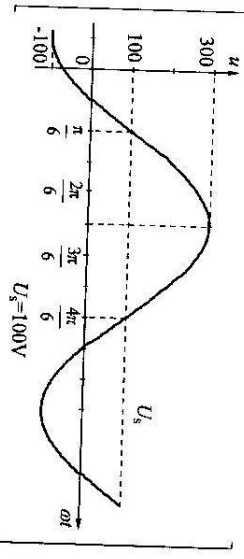


$$U_s = 50V, U = 50\sqrt{2} = 70,7V$$

1.15 Stanovte střední a efektivní hodnotu proudu $i(t) = |10 \sin \omega t| A$.

$$I_s = \frac{20}{\pi} = 6,37 A, I = \frac{10}{\sqrt{2}} = 7,07 A$$

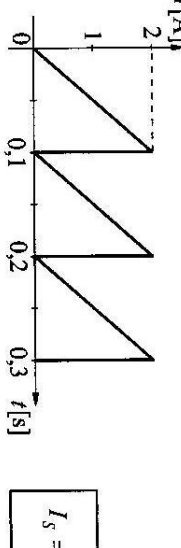
1.12 Zkreslete průběh napětí $u(t) = 100 - 200 \cos\left(2\omega t + \frac{\pi}{6}\right)$ a vyznačte stejnosměrnou složku tohoto napětí.



$$i_s(t) = 10 + 20 \sin\left(\omega t + \frac{\pi}{6}\right)$$

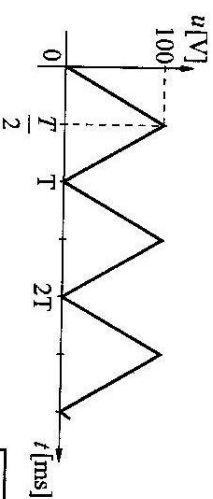
1.16 Stanovte střední a efektivní hodnotu proudu, jehož časový průběh je na obrázku.

$i[A]$



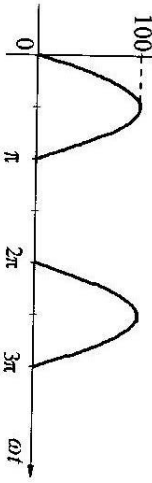
$$I_s = 1A, I = \frac{2}{\sqrt{3}} = 1,15A$$

1.17 Stanovte střední a efektivní hodnotu proudu, jehož časový průběh je na obrázku:



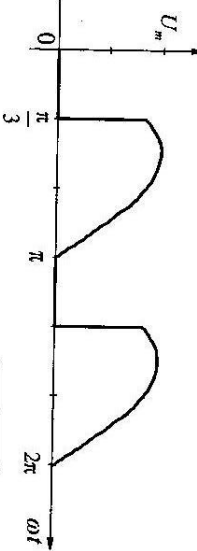
$$U_s = 50 \text{ V}, U = \frac{100}{\sqrt{3}} = 57,7 \text{ V}$$

1.18 Stanovte střední a efektivní hodnotu napětí o amplitudě 100V, usměrněného jednocestným usměňovačem.



$$U_s = \frac{100}{\pi} = 31,83 \text{ V}, \\ U = \frac{100}{2} = 50 \text{ V}$$

1.19 Stanovte střední a efektivní hodnotu napětí $u(t)$ dle obr.



$$U_s = \frac{3U_m}{2\pi} = 0,478U_m, U = 0,633U_m$$

2. TOPOLOGICKÁ A FYZIKÁLNÍ STRUKTURA ELEKTRICKÉHO OBVODU

Elektrický obvod je model elektrického zařízení, který respektuje způsob propojení jednotlivých elementů (*topologická struktura obvodu*) a elektromagnetické jevy, které v daném systému probíhají. Ty modelujeme pomocí idealizovaných prvků, které určují *fyzikální strukturu obvodu*.

2.1 TOPOLOGICKÁ STRUKTURA OBVODU

Způsob zapojení obvodu vypadá jako *graf obvodu*, který se skládá z větví a uzlů. Orientujeme-li větu grafu, získáme *orientovaný graf*. Graf může být buď roviný nebo prostorový.

Základními topologickými prvky jsou: *uzel*, *věta*, *smyčka*, *strom*, soustava *nezávislých větví*. Zvolíme-li jeden uzel grafu jako *referenční*, jsou zbyvající uzly *nezávislé* – platí pouze v obvodech sestávajících z jedné separární části. Spojíme-li všechny uzly větvení tak, aby nevznikla uzavřená smyčka, dostaneme *strom*. Větve, které nepatří dostromu, tvoří systém *nezávislých větví*. Ke každému grafu lze sestrojit více stromů. Označme-li:

l – počet větví grafu
 k – počet uzlů grafu, ($k - 1$ je nezávislých)

pak počet nezávislých větví je: $n = l - k + 1$.

Incidenční matice umožňují algebraické zobrazení orientovaného grafu.

1. incidenční matice vyjadřuje incidenční mezi *větvemi a nezávislými uzly*, rádky maticce odpovídají nezávislým uzlům a její sloupce odpovídají větvím. Prvky maticce odpovídají nezávislým uzlům a její sloupce odpovídají větvím. Prvky 1. incidenční matice jsou $+1, -1, 0$, přičemž:

- $+1$ – orientace větu směruje z uzlu
- -1 – orientace větu směruje do uzlu
- 0 – větu s uzlem neinciduje

2. incidenční matice vyjadřuje incidenční mezi *větvemi a nezávislými smyčkami*, přičemž rádky odpovídají nezávislým smyčkám a sloupce větvím grafu. Prvky 2. incidenční matice jsou opět $+1, -1, 0$, přičemž:

- $+1$ – orientace větu souhlasí s orientací smyčky
- -1 – orientace větu je opačná než orientace smyčky
- 0 – větu s neinciduje s danou smyčkou

2.2 FYZIKÁLNÍ STRUKTURA OBVODU – IDEÁLNÍ PRVKY OBVODU

Ideální prvky obvodu dělíme na *pasivní a aktivní*:

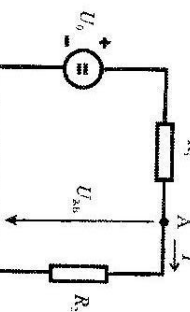
aktivní – ideální zdroj napětí a ideální zdroj proudu jejich parametry označujeme $u_0(t)$ a $i_0(t)$

pasivní – rezistory, induktory a kapacity jejich parametry označujeme R, L, C .

Aktivní prvky – nezávislé reálné zdroje modelujeme pomocí ideálního zdroje napětí resp. proudu a vnitřního odporu, **ideální zdroj napětí** má svorkové napětí nezávisle na odberaném proudu, závislé (řízené) zdroje závisí na napětí či proudu v některé větvi obvodu.

Napěťový zdroj

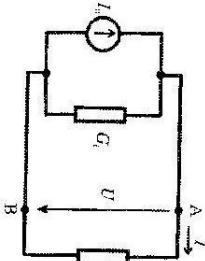
modelujeme ideálním zdrojem napětí U_0 a vnitřním odporem R_i – obr. 2.1. Na svorkách AB je napětí $U_{AB} = U_0 - R_i I$, jeho velikost závisí na odberaném proudu. Ideální napěťový zdroj má $R_i = 0$, takže platí: $U_0 = U_{AB}$.



Obr. 2.1

Proudový zdroj

modelujeme ideálním zdrojem proudu I_0 a vnitřní vodivostí G_i – obr. 2.2. Zdroj dodává do obvodu proud $I = I_0 - G_i U$. Ideální proudový zdroj má $G_i = 0$, takže platí: $I_0 = I$.



Obr. 2.2

Pasivní prvky mohou být **lineární** (jejich parametry jsou konstanty), **nelineární** (jejich parametry jsou funkčními napětí a proudu) nebo **časově proměnné**. Dále budeme uvažovat pouze prvky **lineární, časově neproměnné**.

Vlastnosti pasivních prvků

Resistor (odpor) má parametr *odpor* $R [\Omega]$, jeho převrácená hodnota je *vodivost* $G = 1/R [S]$. Na rezistoru dochází k **přeměně elektrické energie v tepelnou**. Okamžitý tepelný výkon rezistoru je

$$P(t) = u(t) i(t)$$

Induktor (ideální círka) parametrem je **induktivnost** $L [H]$, definujeme ji jako poměr magnetického indukčního toku Φ a proudu i , který tok Φ vytvárá

$$L = \frac{\Phi}{i} \quad (2.2)$$

V induktoru se akumuluje energie magnetického pole

$$W_m = \frac{1}{2} L i^2 \quad (2.3)$$

Kapacitor (ideální kondenzátor) parametrem je **kapacita** $C [F]$, je dáná poměrem elektrického náboje Q na kladné elektrodě kondenzátora a napětí u mezi elektrodami

$$C = \frac{Q}{u} \quad (2.4)$$

Kapacitor akumuluje energii elektrického pole

$$W_e = \frac{1}{2} C u^2 \quad (2.5)$$

Vztahy mezi okamžitými hodnotami napětí a proudu pro pasivní lineární prvky

prvek	napětí	proud
$i \rightarrow R$	$u(t) = R i(t)$	$i(t) = \frac{u(t)}{R}$
$i \rightarrow L$	$u(t) = L \frac{di(t)}{dt}$	$i(t) = \frac{1}{L} \int_0^t u(\xi) d\xi + i(0)$
$i \rightarrow C$	$u(t) = \frac{1}{C} \int_0^t i(\xi) d\xi + u(0)$	$i(t) = C \frac{du(t)}{dt}$

Tab. 2.1

Induktivně vázané cívky Cívky mohou být induktivně vázané. Napětí pro dvoujci cívek k, l se vzájemnou indukčností L_{kl} je dáno vztahy:

$$u_k = L_k \frac{di_k}{dt} \pm L_{kl} \frac{di_l}{dt} \quad (2.6)$$

$$u_l = L_l \frac{di_l}{dt} \pm L_{kl} \frac{di_k}{dt}$$

Znaménka u vzájemných indukčností závisí na vzájemné orientaci magnetických indukčních toků v obou cívkách. V elektrických obvodech tato znaménka určíme pomocí referenčních znaků „•“ a „○“, které značí začátek vinutí, a směru proudu v obou cívkách podle následující tabulky:

$i_k \rightarrow$	\bullet	L_k	\rightarrow
$i_s \rightarrow$	\bullet	L_s	\rightarrow
$i_s \rightarrow$	\circ	L_s	\downarrow
$i_k \rightarrow$	\circ	L_k	\downarrow

Tab. 2.2

2.3 SPOJOVÁNÍ REZISTORŮ, INDUKTORŮ A KAPACITORŮ

Pro sériové řazení dvou prvků platí

$$R = R_1 + R_2, \quad C = \frac{C_1 C_2}{C_1 + C_2} \quad (2.7a)$$

Pro indukčnosti bez vzájemné indukčnosti

$$L = L_1 + L_2 \quad (2.7b)$$

Pro paralelní řazení dvou prvků platí

$$R = \frac{R_1 R_2}{R_1 + R_2}, \quad C = C_1 + C_2 \quad (2.8a)$$

Pro indukčnosti bez vzájemné indukčnosti

$$L = \frac{L_1 L_2}{L_1 + L_2} \quad (2.8b)$$

Poznámka

V mnoha příkladech této a následujících kapitol se počítá s voltmetry a ampérmetry. Ve všech těchto příkladech se předpokládá, že:

– přístroje měř efektivní hodnotu

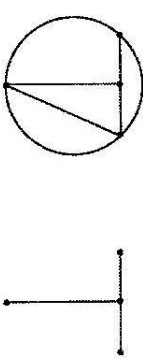
– jde o ideální přístroje, které nemají ztráty (tj. voltmetry mají nekonečně velký vnitřní odpór a ampérmetry mají nulový odpór)

Zdroje napětí a proudů uváděné v příkladech jsou vždy ideální (tj. zdroje napětí mají vnitřní odpor $R_i = 0$ a zdroje proudu vnitřní vodivost $G_i = 0$).

2.4 PRÍKLDY K PROCVIČENÍ

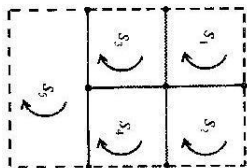
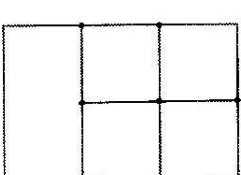
Tópologická struktura

- 2.1** Pro daný graf obvodu nakreslete jeden strom, určete počet nezávislých větví a nezávislých uzlů.



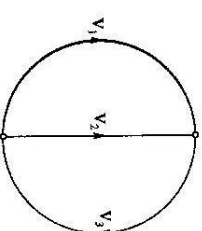
$$\ell = 7, k - 1 = 3, n = 4$$

- 2.2** Pro graf obvodu uvedený na obrázku nakreslete jeden strom, určete počet nezávislých větví a vyznačte systém nezávislých smyček.



$$n = 5$$

- 2.3** Sestrojte 1. incidenční matici \mathbf{A} orientovaného obvodu podle obrázku.



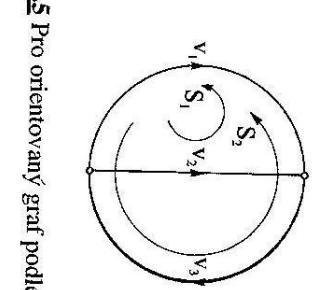
Ref. uzel

$$\mathbf{A} = \begin{bmatrix} -1 & -1 & 1 \end{bmatrix}$$

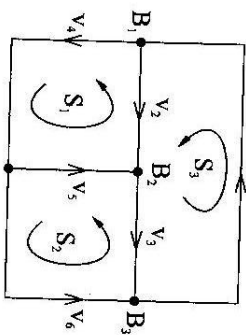
- 2.4** Sestrojte 2. incidenční matici orientovaného grafu.

Spojování rezistorů, induktorů a kapacitorů

2.8 Určete výsledný odpor mezi uzly 3-4, jsou-li svorky 1,2,3 zkratovány

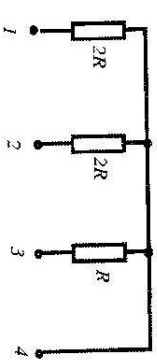


2.5 Pro orientovaný graf podle obrazku zapíšte 1. incidenční matici.



Ref. uzel

$$\boxed{\mathbf{B} = \begin{bmatrix} -1 & 1 & 0 \\ -1 & 0 & -1 \end{bmatrix}}$$



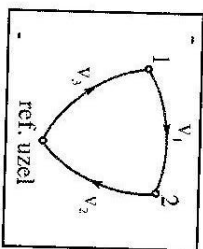
2.9 Vypočítejte velikost odporu měřeného na svorkách AB, AC, AD a BC.

$$\boxed{\mathbf{A} = \begin{bmatrix} -1 & 1 & 0 & 1 & 0 & 0 \\ 0 & -1 & 1 & 0 & -1 & 0 \\ 1 & 0 & -1 & 0 & 0 & -1 \end{bmatrix}}$$

2.6 Pro orientovaný graf z předchozího příkladu zapíšte 2. incidenční matici.

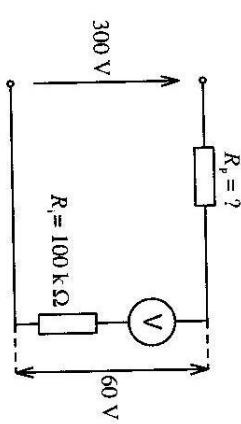
$$\boxed{\mathbf{B} = \begin{bmatrix} 0 & -1 & 0 & 1 & 1 & 0 \\ 0 & 0 & -1 & 0 & -1 & 1 \\ 1 & 1 & 1 & 0 & 0 & 0 \end{bmatrix}}$$

2.7 Nakreslete orientovaný graf obvodu, jehož 1. incidenční matice \mathbf{A} je



$$\boxed{\mathbf{A} = \begin{bmatrix} 1 & 0 & -1 \\ -1 & 1 & 0 \end{bmatrix}}$$

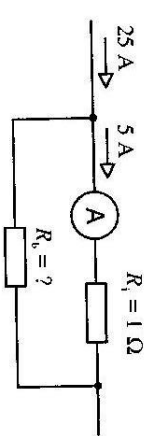
2.10 Stanovte velikost předřádného odporu R_p .



$$R_p = ?$$

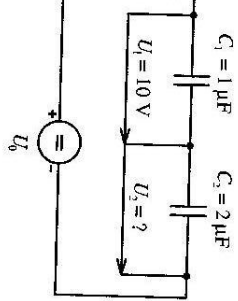
$$\boxed{R_p = 400\text{ k}\Omega}$$

2.11 Stanovte velikost odporu bočníku.

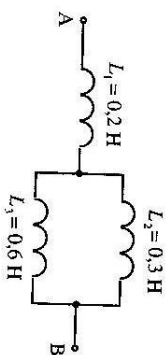


$$\boxed{R_b = 0,25\Omega}$$

2.12 Jaké napětí je na svorkách kondenzátoru C_2 ?

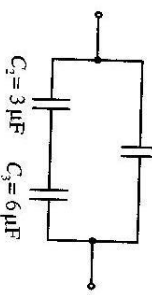


2.13 Stanovte celkovou indukčnost dvojpólu podle obrázku.

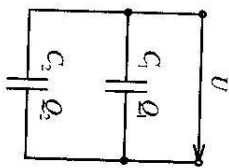


2.14 Stanovte celkovou kapacitu dvojpólu podle obrázku.

$$C_1 = 4 \mu\text{F}$$

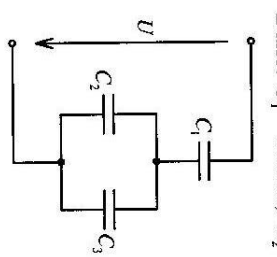


2.15 Dva kondenzátory s kapacitou $C_1 = 2C_2$ jsou zapojeny paralelně a připojeny na síť s napětím U . Jaké jsou naboje na kondenzátoch?

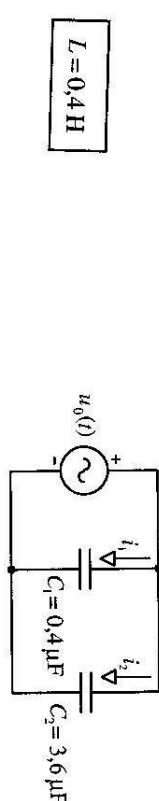


$$Q_1 = 2Q_2$$

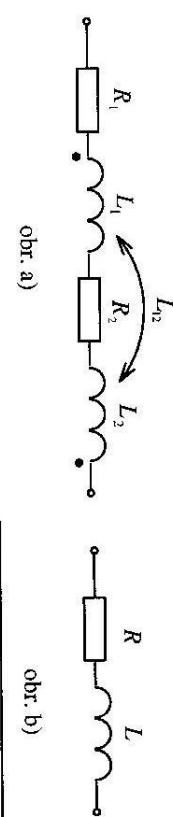
2.16 Pro zapojení podle obrázku určete celkové napětí U .
Dáno: $C_1 = 100 \text{ nF}$, $C_2 = 60 \text{ nF}$, $C_3 = 20 \text{ mF}$, $Q_3 = 4 \mu\text{C}$



2.17 V obvodu podle obrázku je $i_2 = 18\cos(\omega t + \frac{\pi}{4}) \text{ A}$. Určete i_1 .



2.18 Pro větev podle obr. a) stanovte ekvivalentní odpor a ekvivalentní indukčnost podle obr. b).

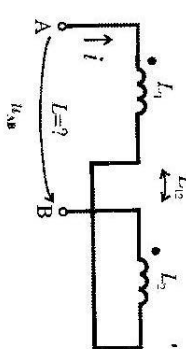


obr. a)

obr. b)

$$R = R_1 + R_2, \quad L = L_1 + L_2 - 2L_{12}$$

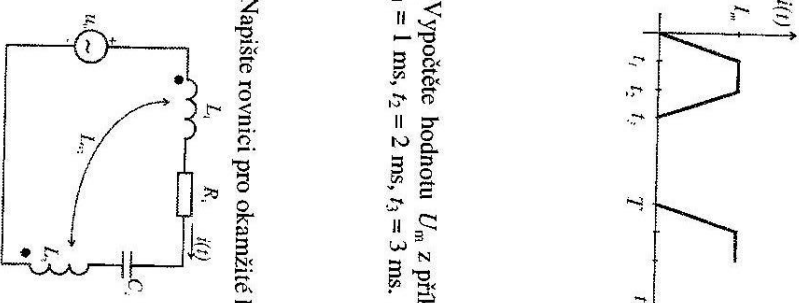
2.19 Vyjádřete napětí u_{AB} a vypočítejte hodnotu ekvivalentní indukčnosti L_{AB} .



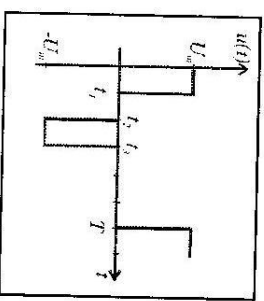
$$u_{AB} = (L_1 + L_2 - 2L_{12}) \frac{di}{dt}$$

$$L_{AB} = L_1 + L_2 - 2L_{12}$$

2.20 Ideální cívku protéká proud s časovým průběhem dle obrázku. Zakreslete časový průběh napětí

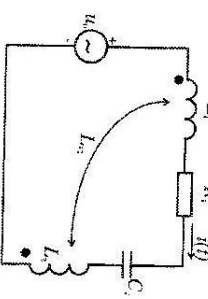


2.21 Vypočtěte hodnotu U_m z příkladu 2.20, je-li dáno: $I_m = 10\text{A}$, $L = 10\text{ mH}$, $t_1 = 1\text{ ms}$, $t_2 = 2\text{ ms}$, $t_3 = 3\text{ ms}$.



2.22 Napište rovnici pro okamžité hodnoty proudu $i(t)$

$$U_m = 100\text{ V}$$



$$(L_1 - L_{12}) \frac{di}{dt} + R_i i + \frac{1}{C_2} \int i dt + u_c(0) + (L_2 - L_{12}) \frac{di}{dt} = u_0$$

2.23 Kapacitem protéká proud $i = 10\cos\omega t\text{ A}$, $f = 50\text{ Hz}$. Vypočtěte napětí a akumulovanou energii na kapacitoru v čase $t = T/4$, je-li $C = 0,1\text{ mF}$.

$$\begin{aligned} u(T/4) &= 318\text{ V} \\ W_E &= 5,07\text{ J} \end{aligned}$$

3. STEJNOSMĚRNÉ OBVODY S REZISTORY

3.1. ZÁKLADNÍ VZTAHY

Analýzu jednodušších obvodů provádime pomocí Kirchhoffových zákonů, základních principů (ekvivalence, superpozice) a metodou postupného zjednodušování.

První Kirchhoffův zákon (proudový)

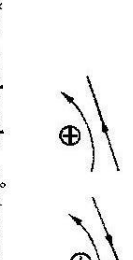
$$\sum_k \pm I_k = 0$$



Druhý Kirchhoffův zákon (napěťový)

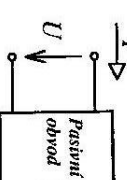
$$(3.1)$$

$$\sum_k \pm U_k = 0$$



Princip ekvivalence

Napěťové a proudové poměry v obvodu zůstanou zachovány, nahradime-li složitější část obvodu jednoduchým dvojpolem za předpokladu, že se nezmění napětí U a proud I na vnějších svorkách.



Princip superpozice

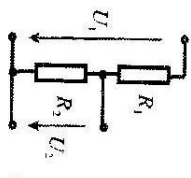
Je-li lineární obvod napájen více zdroji, lze určit větové veličiny tak, že postupně analyzujeme náhradní obvody napájené pouze jedním zdrojem a ostatní zdroje nahradíme jejich vnitřním odporem (napěťový zdroj zkratěm, má $R_i = 0$, proudový zdroj rozpojenou větví, má $R_i \rightarrow \infty$). Hledanou větovou veličinu získáme superpozicí dílčích řešení s přihlédnutím k jejich orientaci.

Metoda postupného zjednodušování

Je jednoduchá metoda na principu ekvivalence, lze ji použít pro analýzu obvodu napájeného jedním zdrojem, pokud obvod obsahuje více zdrojů, použijeme ještě princip superpozice.

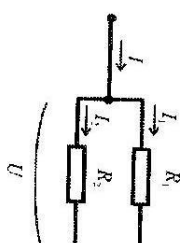
Postup: Analyzovaný obvod postupně zjednodušíme (transfugujeme) až dospejeme k obvodu, sestávajícímu pouze z jedné smyčky, vypočteme proud a zpětným postupem určujeme hledané větové veličiny. Často využíváme vztahy pro dělení napětí (obr. 3.2a) a dělení proudu (obr. 3.2b).

Dělíc napětí (nezatížený) – napětí se rozdělí přímo úměrně velikosti rezistorů



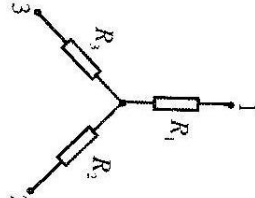
Obr. 3.2 a)

Dělíc proudu – proud se rozdělí nepřímo úměrně velikosti rezistorů

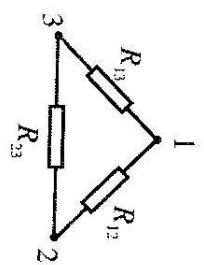


Obr. 3.2 b)

Ve složitějších obvodech kromě pravidel pro sériově-paralelní zapojení používáme transformační hvězda-triúhelník



Obr. 3.3



Obr. 3.4

$$R_1 = \frac{R_{12}R_{13}}{R_{12} + R_{13} + R_{23}}, \quad R_2 = \frac{R_{12}R_{23}}{R_{12} + R_{13} + R_{23}}, \quad R_3 = \frac{R_{23}R_{13}}{R_{12} + R_{13} + R_{23}}$$

Z těchto rovnic dostaneme vzorce pro:

a) transformaci hvězda – trojúhelník:

$$R_{12} = R_1 + R_2 + \frac{R_1 + R_2}{R_3}, \quad R_{13} = R_1 + R_3 + \frac{R_1 + R_3}{R_2}, \quad R_{23} = R_2 + R_3 + \frac{R_2 + R_3}{R_1}$$

$$R_1 = \frac{R_{12}(R_{13} + R_{23})}{R_{12} + R_{23} + R_{13}}, \quad R_2 = \frac{R_{13}(R_{12} + R_{23})}{R_{12} + R_{23} + R_{13}}, \quad R_3 = \frac{R_{23}(R_{12} + R_{13})}{R_{12} + R_{13} + R_{23}}$$

b) transformace trojúhelník – hvězda:

$$R_1 = \frac{R_{12}R_{13}}{R_{12} + R_{13} + R_{23}}, \quad R_2 = \frac{R_{12}R_{23}}{R_{12} + R_{13} + R_{23}}, \quad R_3 = \frac{R_{23}R_{13}}{R_{12} + R_{13} + R_{23}}$$

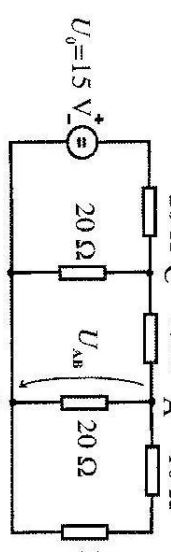
Pro symetrické uspořádání platí:

$$R_{12} = R_{13} = R_{23} = R_\Delta; \quad R_1 = R_2 = R_3 = R_V \Rightarrow R_V = \frac{R_\Delta}{3} \quad (3.5)$$

Výkon na odporu R určíme ze vztahu

$$P = UI = RI^2 = \frac{U^2}{R} \quad (3.6)$$

Příklad III-1: V obvodu na obr. 3.4a) vypočteť velikost napětí U_{AB} .



Obr. 3.4 a)

Řešení:

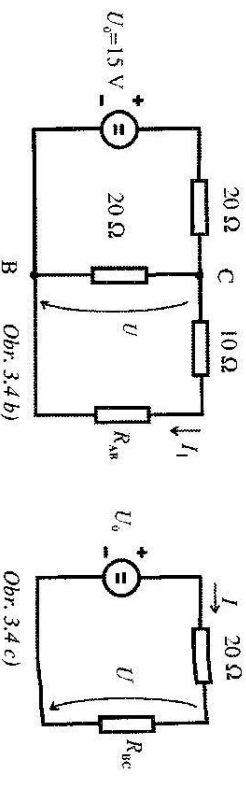
1. Obvod postupně zjednodušíme - viz obr. 3.4 b),c) a vypočteme odpory $R_{AB} = 10\Omega$, $R_{BC} = 10\Omega$.

2. V obvodu na obr. 3.4c) stanovíme proud $I = U/J(R_{BC}+20) = 0,5A$ a napětí $U = R_{BC}I = 5V$.

3. Nyní řešíme obvod na obr. 3.4 b): $I_1 = U/(10+R_{AB}) = 0,25A$, z napětí U vypočteme proud I_1 : $U_{AB} = I_1 R_{AB} = 5V$.

Obr. 3.4 b)

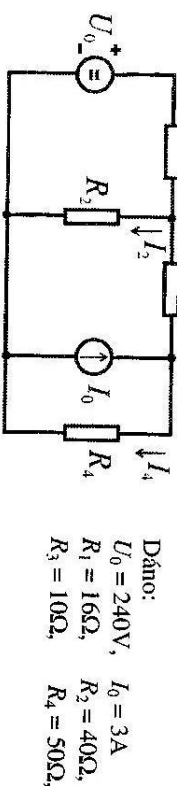
Obr. 3.4 c)



Obr. 3.4 b)

Existuje více postupů, jak určit z proudu I napětí U_{AB} , zde je uveden pouze jeden z nich, lze např. využít vztahy pro proudový a napěťový dělíc.

Příklad III-2: V daném obvodu vypočteť proud protékající rezistorem R_4 .



Dáno:
 $U_0 = 240V$, $I_0 = 3A$
 $R_1 = 16\Omega$, $R_2 = 40\Omega$,
 $R_3 = 10\Omega$, $R_4 = 50\Omega$,

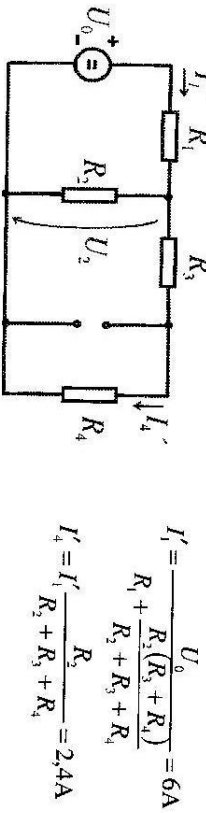
Obr. 3.5 a)

Řešení:

Použijeme princip superpozice a metodu postupného zjednodušování. Vyřešíme dva dílo obvody dle obr. 3.5 b) a c):

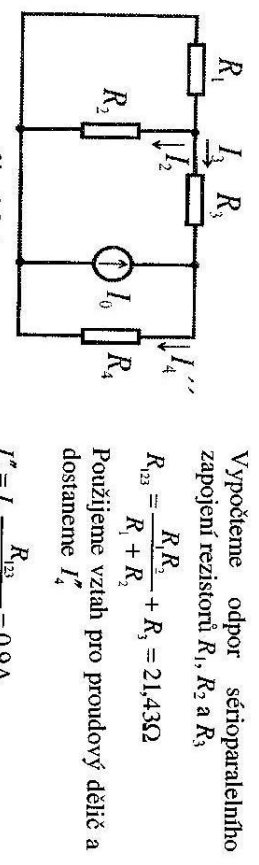
1) **Obvod s napěťovým zdrojem, větve s proudovým zdrojem je rozpojená.**

Vypočteme proud I_1' , poté z proudového děliče I_4' .



Obr. 3.5 b)

2) **Obvod s proudovým zdrojem, větve s napěťovým zdrojem je zkratována.**



Obr. 3.5 c)

Vypočteme odpory sérioparalelního zapojení rezistorů R_1 , R_2 a R_3

$$R_{123} = \frac{R_1 R_2}{R_1 + R_2} + R_3 = 21,43\Omega$$

Použijeme vztah pro proudový dělič a dostaneme I_4''

$$I_4'' = I_0 \frac{R_{123}}{R_{123} + R_4} = 0,9A$$

Hledaný proud je $I_4 = I_1' + I_4'' \Rightarrow I_4 = 2,4 + 0,9 = 3,3A$

(proudový sčítání, neboť v obou obvodech byla shodná orientace proudu)

Příklad III-3: Vyšetřete výkonové poměry v obvodu na obr. 3.6.a). Zdroj napětí je modelovaný ideálním zdrojem napětí U_0 a vnitřním odporem R_i , odpor R značí zátěž.

Řešení: Určíme proud v obvodu $I = \frac{U_0}{R_i + R}$ a vypočteme výkony:

příkon spotřebiče:

$$P_z = RI^2 = \frac{RU_0^2}{(R_i + R)^2}$$

ztráty na odporu R_i :

$$\Delta P = R_i I^2 = \frac{R_i U_0^2}{(R_i + R)^2}$$

Obr. 3.6a)

výkon zdroje: $P = U_0 I = \frac{U_0^2}{R_i + R}$.

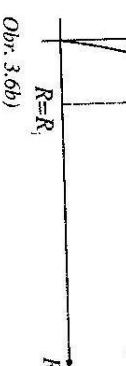
Maximální výkon zdroje je pro $R = 0$, je to tzv. zkratový výkon zdroje $P_k = \frac{U_0^2}{R_i}$

$$\zeta = \frac{P_z}{P} = \frac{P_z}{P_z + \Delta P} = \frac{R}{R_i + R}$$

Všechny vypočtené hodnoty závisí na velikosti odporu R ; na obr. 3.6.b) je zakreslena závislost $P_z(R)$, jehož pro

příkon spotřebiče platí:

$$R = 0 \Rightarrow P_z = 0, \quad R \rightarrow \infty \Rightarrow P_z = 0$$



Obr. 3.6b)

musí existovat hodnota odporu R , pro kterou je příkon maximální, určíme ji z podmínky

$$\frac{dP_z}{dR} = 0 = U_0 \frac{(R_i + R)^2 - 2R(R_i + R)}{(R_i + R)^4} \Rightarrow R_i = R \Rightarrow P_{z,max} = \frac{U_0^2}{4R}$$

V energetických systémech (*obvody pro přenos energie*) je důležitá hodnota účinnosti, požadujeme, aby ztráty při přenosu byly minimální, čili $R_i \ll R$.

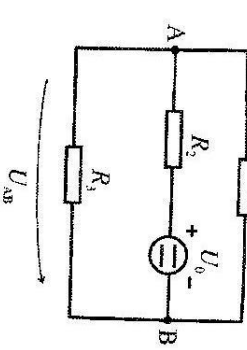
V obvodech pro přenos informací důležitá je velikost výkonu dodaného do zátěže. Tento výkon je maximální při splnění podmínky $R_i = R$, jedná se o tzv. výkonové přizpůsobení, při kterém je sice účinnost 50%, ale příkon spotřebiče je $P_{z,max} = \frac{U_0^2}{4R} = 0,25P_k$.

3.2 PRÍKLADY K PROCVIČENÍ

3.1.

V daném obvodu vypočítejte proud I_{k1} , odpor R_{AB} a napětí U_{AB} .

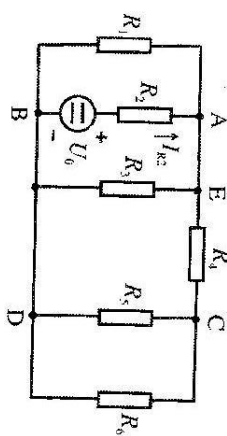
Dáno: $R_1 = 30\Omega$, $R_2 = 60\Omega$, $R_3 = 50\Omega$, $U_o = 220V$



3.2.

V daném obvodu vypočítejte proud I_{k2} , odpor R_{EC} a napětí U_{AB} , U_{CD}

Dáno: $U_o = 60V$, $R_1 = R_2 = R_3 = R_4 = R_5 = R_6 = 20\Omega$

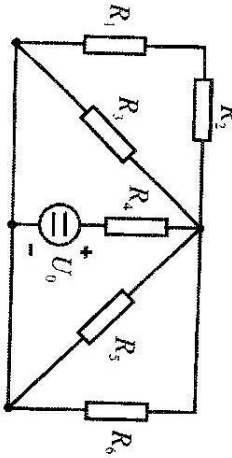


$$\begin{aligned} I_{k2} &= 2,18A \\ U_{AB} &= 16,4V \\ U_{CD} &= 5,44V \\ R_{EC} &= 9,09\Omega \end{aligned}$$

3.3.

V daném obvodu vypočítejte proudy I_{R3} a I_{R4} .

Dáno: $U_o = 80V$, $R_1 = R_2 = R_3 = R_4 = R_5 = R_6 = 60\Omega$

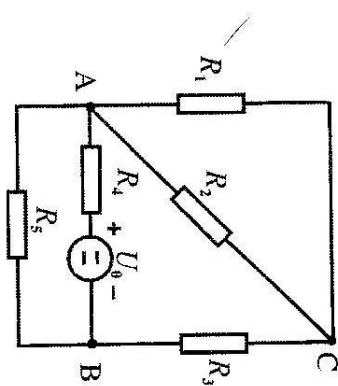


$$\begin{aligned} I_{R3} &= 0,296A \\ I_{R4} &= 1,037A \end{aligned}$$

3.4.

V daném obvodu vypočítejte proudy I_{k1} , I_{k4} a odpor R_{BC} .

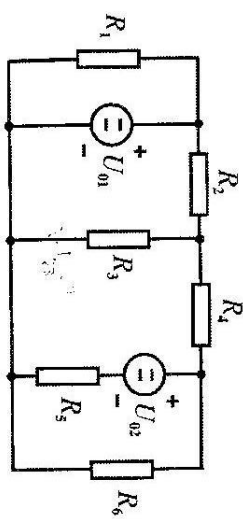
Dáno: $U_o = 220V$, $R_1 = R_3 = R_4 = 50\Omega$, $R_2 = R_5 = 100\Omega$



3.5.

V daném obvodu vypočítejte proud I_{R3}

Dáno: $U_{o1} = 300V$, $U_{o2} = 500V$, $R_1 = R_4 = 200\Omega$, $R_2 = 150\Omega$, $R_3 = 0$

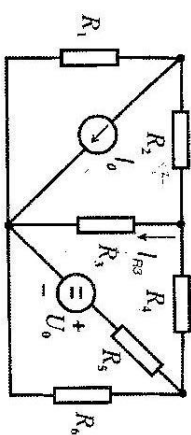


$$I_{R3} = 2,71A$$

3.6.

V daném obvodu vypočítejte proud I_{R3}

Dáno: $I_o = 3A$, $U_o = 100V$, $R_1 = 10\Omega$, $R_2 = 20\Omega$, $R_3 = 0\Omega$, $R_4 = 40\Omega$, $R_5 = 50\Omega$, $R_6 = 60\Omega$

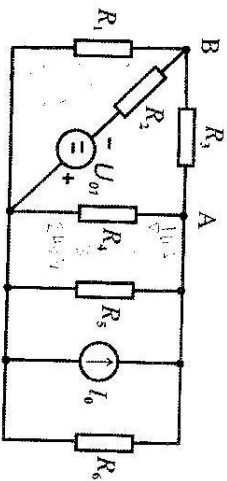


$$I_{R3} = 0,19A$$

3.7.

V daném obvodu vypočtěte odpor R_{AB} a napětí U_{AB}

Dáno: $U_o = 300V$, $I_o = 10A$, $R_1 = 90\Omega$, $R_2 = 60\Omega$, $R_3 \rightarrow \infty$, $R_4 = 60\Omega$, $R_5 = 80\Omega$, $R_6 = 80\Omega$

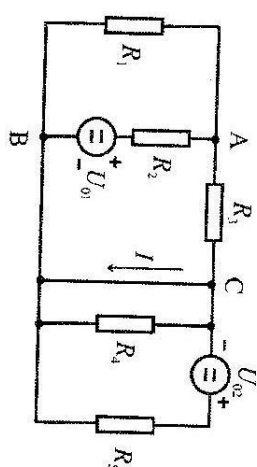


$$U_{AB} = 120V$$

$$R_{AB} = 60\Omega$$

3.8.

V daném obvodu vypočtěte proud I , odpor R_{AC} a napětí U_{AB}
Dáno: $U_{o1} = 180V$, $U_{o2} = 15V$, $R_1 = R_2 = R_3 = R_4 = R_5 = 30\Omega$



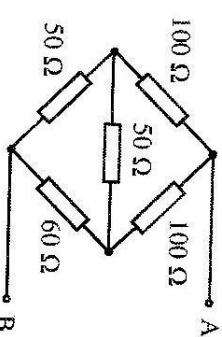
$$I = 1,5 A$$

$$U_{AB} = 60 V$$

$$R_{AC} = 10 \Omega$$

3.9.

Vypočtěte odpor R_{AB}



$$R_{AB} = 77,33 \Omega$$

4. METODY OBECNÉ ANALÝZY OBVODŮ

V této kapitole uvedeme základní metody pro úphou a částečnou analýzu obvodů, které mají obecnou platnost. Pro snazší pochopení ukážeme nejprve jejich aplikaci na stejnosměrné obvody. Užití těchto metod pro analýzu obvodů s časově proměnnými zdroji v ustáleném i přechodovém stavu bude uvedeno v dalších kapitolách. Mezi základní metody analýzy patří:

1. Přímá aplikace Kirchhoffových zákonů
2. Metoda smyčkových proudů
3. Metoda uzlových napětí
4. Metoda náhradního zdroje

Poznámka:

1. V jednodušších případech lze použít i metodu postupného zjednodušování (transfigurace), metodu superpozice (viz kap. 3).
2. Metodu náhradního zdroje (Théveninova a Nortonova věta) používáme pro částečnou analýzu obvodů (hledáme pouze některé větvové veličiny)

Metody pro úphou analýzu se liší v počtu rovnic, které je nutno pro daný obvod formulovat. Soustavu *lineárně nezávislých rovnic* dostaneme tehdy, jestliže dodržíme následující pravidla:

1. *Přímá aplikace Kirchhoffových zákonů* – počet rovnic je dán počtem větví v obvodu ℓ
 - 1. K.z. aplikujeme na $(k-1)$ nezávislých uzlů (je-li k počet uzlů a obvod se skládá pouze z jedné separátní části)
 - 2. K.z. aplikujeme pouze na $n = \ell - (k-1)$ nezávislých smyček
2. *Metoda smyčkových proudů* – rovnice formulujeme pomocí 2. K.z., počet rovnic je dán počtem nezávislých smyček n
3. *Metoda uzlových napětí* – rovnice formulujeme pomocí 1. K.z., počet rovnic je dán počtem nezávislých uzlů $k-1$, pokud má obvod pouze jednu separátní část.

4.1 PŘÍMÁ APLIKACE KIRCHHOFOVÝCH ZÁKONŮ

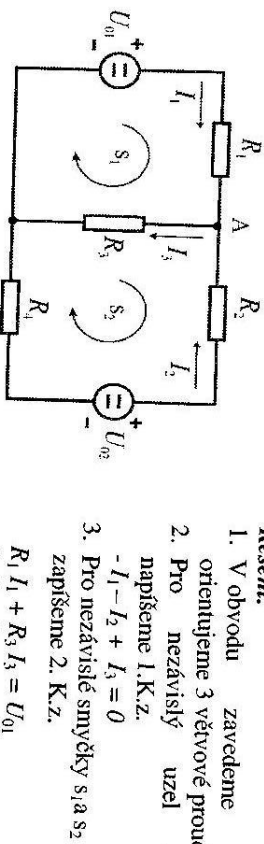
Postup:

1. V obvodu zavedeme a orientujeme větvové proudy
2. Pro nezávislé uzly napíšeme rovnice pomocí 1.K.z.
3. Pro nezávislé smyčky zapíšeme rovnice podle 2. K.z.
4. Řešením soustavy rovnic vypočteme větvové proudy

Příklad IV-1: Metodou přímé aplikace Kirchhoffových zákonů řešte daný obvod.

Dáno: $U_{01} = 60 \text{ V}$, $U_{02} = 40 \text{ V}$, $R_1 = 10 \Omega$, $R_2 = 20 \Omega$, $R_3 = 30 \Omega$

Řešení:



Obr. 4.1

4. Řešením soustavy rovnic vypočteme větvové proudy:

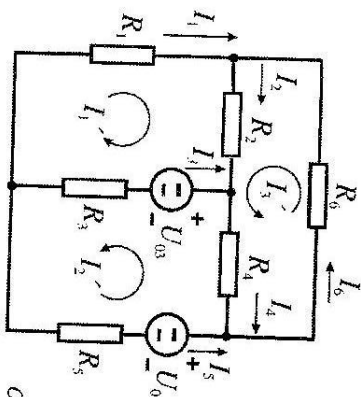
$$I_1 = 1,65 \text{ A} \quad I_2 = -0,2 \text{ A} \quad I_3 = 1,45 \text{ A}$$

4.2 METODA SMYČKOVÝCH PROUDŮ

Postup:

1. V daném obvodu určíme systém nezávislých smyček a v každé zavedeme fiktivní smyčkový proud (orientovaný ve shodě s orientací smyčky)
2. Pro každou nezávislou smyčku formulujeme rovnici pomocí 1. K.z.,
3. Vypočteme smyčkové proudy
4. Hledané větvové veličiny (proudys resp. napětí) vypočteme ze smyčkových proudů

Příklad IV-2: Metodou smyčkových proudů formulujete rovnice pro daný obvod



Obr. 4.2

1. V obvodu jsou 3 nezávislé smyčky, zvolíme 3 smyčkové proudy I_1' , I_2' a I_3' orientujeme 3 větvové proudy a uzel A
2. Pomocí 2. K.z. formulujeme pro smyčkové proudy 3 rovnice:

$$\begin{aligned} R_1 I_1' + R_2 (I_1' + I_3') + U_{03} + R_3 (I_1' + I_2') &= 0 \\ U_{03} + R_3 (I_1' + I_2') + R_5 I_2' - U_{05} + R_4 (I_2' - I_3') &= 0 \\ R_2 (I_3' + I_1') + R_4 (I_3' - I_2') + R_6 I_3' &= 0 \end{aligned} \quad (4.1)$$

3. Nalezneme řešení soustavy rovnic (4.1)
4. Zvolíme orientaci větvových proudů a vyjádříme je pomocí vypočtených smyčkových proudů.

$$\begin{aligned} I_1 &= I_1' & I_3 &= -(I_1' + I_2') & I_5 &= I_2' \\ I_2 &= I_1' + I_3' & I_4 &= I_3' - I_2' & I_6 &= I_3' \end{aligned}$$

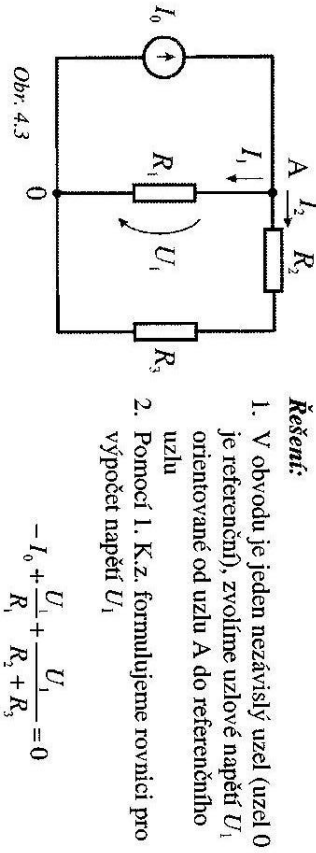
Poznámka: Orientaci větvových proudů bylo možno provést hned na počátku řešení, jejich směr nemá na kroky 1-3 žádatý vliv, projeví se teprve při vyjádření vztahů mezi větvovými a smyčkovými proudy.

4.3 METODA UZLOVÝCH NAPĚTÍ

Postup:

1. V daném obvodu označíme referenční uzel (zpravidla uzel, do kterého jsou zapojeny záporné svorky zdrojů) a v nezávislých uzlech zvolíme uzlová napětí (orientujeme od nezávislého uzlu k referenčnímu)
2. Pro nezávislý uzel formulujeme rovnice pomocí 1. K.z. proudy ve větvích vyjádříme pomocí uzlových napětí (vyjmá větví s nezávislým proudovým zdrojem)
3. Hledané větvové veličiny (proudys resp. napětí) vypočteme z uzlových napětí

Příklad IV-3: Metodou uzlových napětí formulujete rovnice pro daný obvod



Obr. 4.3

Řešení:

1. V obvodu je jeden nezávislý uzel (uzel 0 je referenční), zvolíme uzlové napětí U_1 orientované od uzlu A do referenčního uzlu
2. Pomocí 1. K.z. formulujeme rovnici pro výpočet napětí U_1

$$-I_0 + \frac{U_1}{R_1} + \frac{U_1}{R_2 + R_3} = 0$$

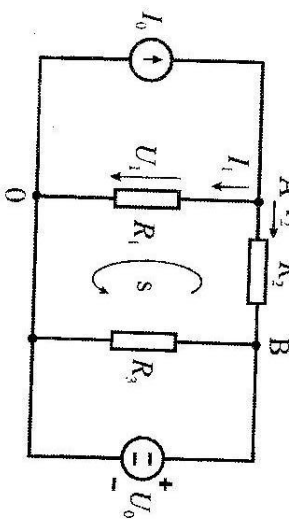
3. Vypočteme uzlové napětí

$$U_1 = \frac{I_0}{\frac{1}{R_1} + \frac{1}{R_2 + R_3}}$$

4. Pomocí napětí U_1 určíme větvové proudy I_1 a I_2

$$I_1 = \frac{U_1}{R_1} \quad I_2 = \frac{U_1}{R_2 + R_3}$$

Příklad IV-4: Metodou uzlových napětí formulujte rovnice pro daný obvod a vypočete proud I_2



Rешение:

1. V obvodu jsou dva nezávislé uzly A, B (uzel 0 je referenční), jelikož uzlové napětí pro uzel B je dáné napětím zdroje U_0 , postaří zvolit pouze uzlové napětí U_1 orientované od uzlu A do referenčního uzlu. Pomocí 1. K.z. formulujeme rovnici pro uzel A, přičemž platí: $-U_{AB} + U_1 = U_0$

$$-I_0 + \frac{U_1}{R_1} + \frac{U_1 - U_0}{R_2} = 0$$

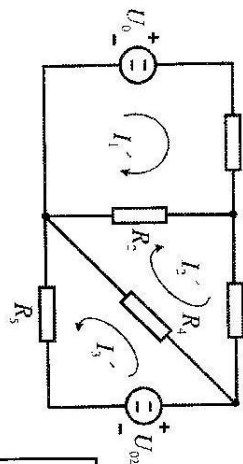
2. Vypočteme uzlové napětí:

$$U_1 = \frac{\frac{U_0 + I_0}{R_2}}{\frac{1}{R_1} + \frac{1}{R_2}}$$
3. Z napětí U_1 vypočteme proud

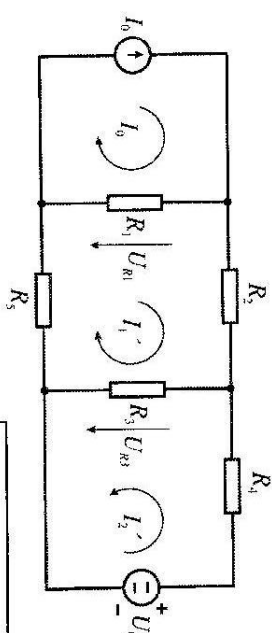
$$I_2 = \frac{U_1 - U_0}{R_2}$$

4.4 PŘÍKLADY K PROCVIČENÍ

4.1 Pro daný obvod formulujte rovnice metodou smyčkových proudů.



4.2 Pro daný obvod formulujte rovnice metodou smyčkových proudů.



$$\boxed{R_1(I_1' - I_0) + R_2 I_1' + R_3(I_1' + I_2') + R_4 I_2' = 0}$$

$$\boxed{R_3(I_2' + I_1') + R_4 I_2' = U_0}$$

4.3 V obvodu z příkladu 4.2 vypočítejte napětí proudového zdroje a napětí U_{R3} , znáte-li I_0, I_1' a I_2' .

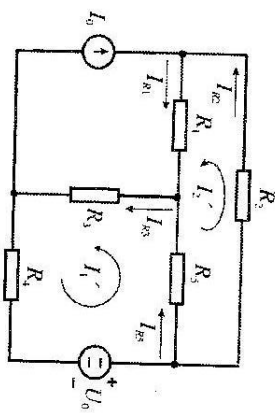
$$\boxed{U_{zdroje} = U_{R1} = R_1(I_0 - I_1')}$$

$$\boxed{U_{R3} = R_3(I_1' + I_2')}$$

4.4 V obvodu z příkladu IV-4 vypočítejte proud, který zdroj napětí dodává do obvodu, je-li: $R_1 = 100\Omega$, $R_2 = 40\Omega$, $R_3 = 50$, $I_0 = 5A$ a $U_0 = 50V$.

$$\boxed{I_{uo} = -2,21 A}$$

4.5 Pro daný obvod formulujte rovnice metodou smyčkových proudu.



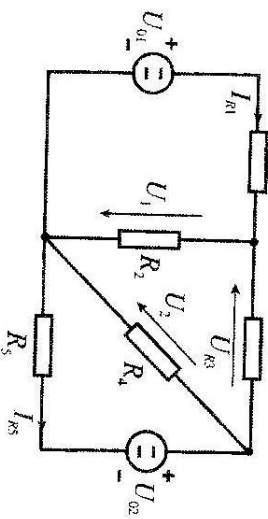
4.6 V obvodu z příkladu 4.5 vypočítejte větvové proudy I_{R1} , I_{R2} , I_{R3} a I_{R5} , jestliže znáte I_1' , I_2' a I_0 .

$$\begin{aligned} I_{R1} &= I_0 + I_2' & I_{R2} &= I_2' \\ I_{R3} &= I_0 + I_1' & I_{R5} &= I_1' - I_2' \end{aligned}$$

4.7 V obvodu z příkladu 4.5 vypočítejte napětí na rezistorech R_1 , R_3 a R_5 , je-li dán

$$\begin{aligned} U_{R1} &= R_1(I_0 + I_2'), & U_{R2} &= I_2' \\ U_{R3} &= R_3(I_0 + I_1'), & U_{R5} &= R_5(I_1' - I_2') \end{aligned}$$

4.8 Pro daný obvod formulujte rovnice metodou uzlových napětí.



$$\begin{aligned} \frac{U_1 - U_{01}}{R_1} + \frac{U_1 - U_2}{R_2} + \frac{U_1 - U_3}{R_3} &= 0 \\ \frac{U_2 - U_1}{R_2} + \frac{U_2 - U_4}{R_4} - \frac{U_2 - U_{02}}{R_5} &= 0 \end{aligned}$$

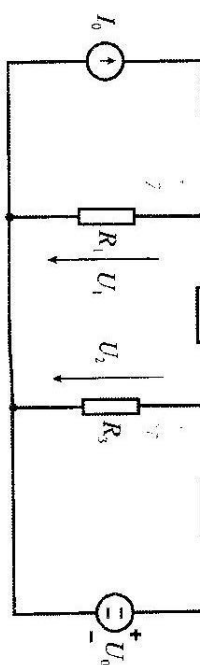
4.9 V obvodu z příkladu 4.8 vypočítejte napětí na rezistoru R_3 , a proudy I_{R1} , I_{R3} .

Dáno: $U_{01} = 150\text{V}$, $U_{02} = 200\text{V}$, $R_1 = 50\Omega$, $R_2 = 75\Omega$, $R_3 = 25\Omega$, $R_4 = 100\Omega$, $R_5 = 150\Omega$.

$$I_{R1} = 0,348\text{A}$$

$$I_{R3} = 0,348\text{A}, U_{R3} = 4,37\text{V}$$

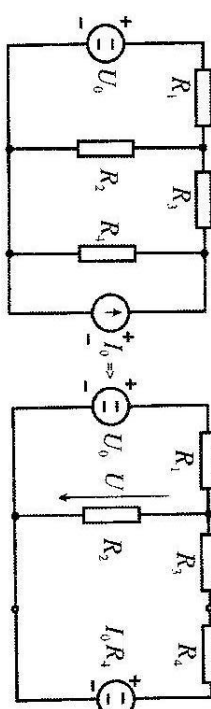
4.10 Pro daný obvod formulujte rovnice metodou uzlových napětí.



$$-I_0 + \frac{U_1 - U_2}{R_1} + \frac{U_1 - U_3}{R_2} = 0, \quad \frac{U_2 - U_1}{R_2} + \frac{U_2 - U_0}{R_3} + \frac{U_2 - U_4}{R_4} = 0$$

4.11 Formulujte rovnice pro daný obvod metodou, která vede na nejmenší počet rovnic.

Nápočeda: zvolte možnost nahradby proudového zdroje napěťovým.

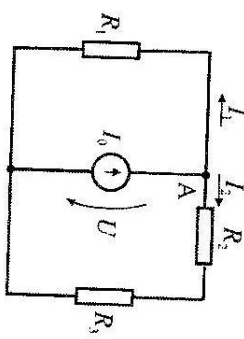


$$\frac{U - U_0}{R_1} + \frac{U - I_0 R_4}{R_3 + R_4} + \frac{U_2}{R_2} = 0$$

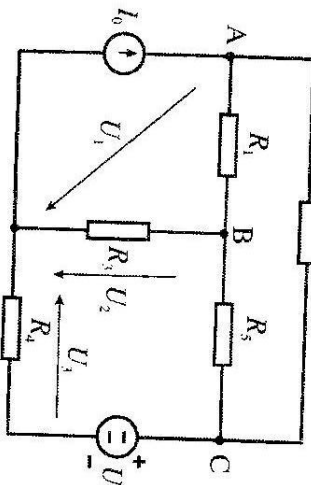
4.12 V obvodu z příkladu 4.11 vypočítejte proud I_{R1} a napětí na rezistoru R_3 . Dáno: $U_0 = 150\text{V}$, $I_0 = 1\text{A}$, $R_1 = 100\Omega$, $R_2 = 40\Omega$, $R_3 = 50\Omega$, $R_4 = 5,0\Omega$

$$I_{R1} = \frac{U_0 - U}{R_1} = 1,06\text{A}, \quad U_{R3} = (I_{R1} - \frac{U}{R_2}) R_3 = 2,8\text{V}$$

4.13 Pro daný obvod formulujte rovnici metodou uzlových napětí a vypočteťte proudy I_1 a I_2 , je-li $R_1 = R_2 = R_3 = 1\Omega$ a $I_0 = 1\text{ A}$.



4.14 Pro daný obvod formulujte rovnice metodou uzlových napětí.

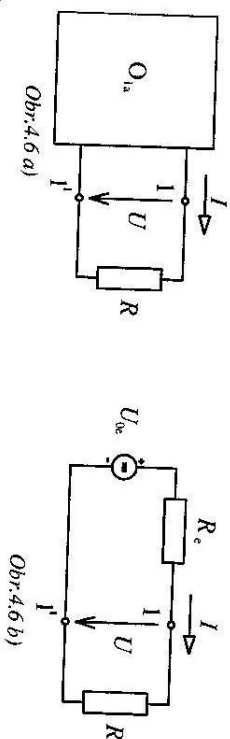


$$\begin{aligned} I_1 &= \frac{2}{3} \text{ A} \\ I_2 &= \frac{1}{3} \text{ A} \end{aligned}$$

4.5 METODA NÁHRADNÍHO ZDROJE

Theveninova věta

V obvodu na obr.4.6 a) se napětí a proud větve o odporu R nezmění, zaměňme-li aktívni dvojpól O_{1a} za odpor R_e sériově spojený se zdrojem proudu I_{oe} podle obr.4.6 b).



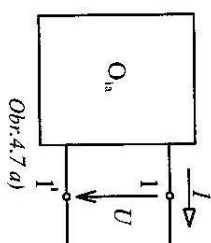
U_{oe} je napětí na svorkách 1–1', při odpojeném odporu R

R_e je odpor na svorkách 1–1' při odpojeném odporu R a při nahrazení aktivních zdrojů jejich vnitřními odpory (spojením dokrátká u zdroje napětí a rozpojením větve u zdroje proudu).

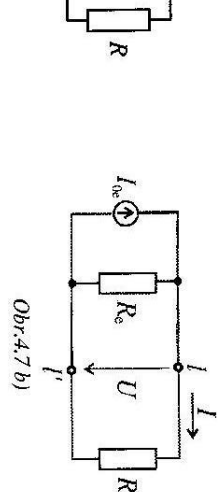
$$Zřejmě platí: \quad I = \frac{U_{oe}}{R_e + R} \quad (4.2)$$

Nortonova věta

V obvodu na obr.4.7 a) se napětí a proud větve o odporu R nezmění, zaměňme-li aktívni dvojpól O_{1a} za odpor R_e paralelně spojený se zdrojem proudu I_{oe} podle obr.4.7 b).'



Obr.4.7 a)



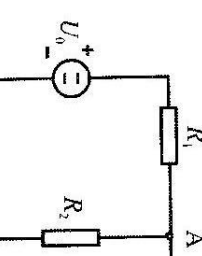
Obr.4.7 b)

I_{oe} je proud, který teče ve větvi spojení svorek 1–1' dokrátká.
 R_e je odpor určený stejně jako u Theveninovy věty.

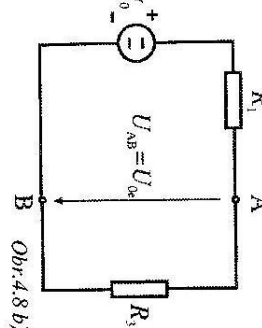
Zřejmě platí:

$$I = I_{oe} \frac{R}{R_e + R} \quad (4.3)$$

Příklad IV-5: V daném obvodu vypočteťte proud I_{R2} pomocí Theveninovy věty.
Dáno: $U_0 = 200\text{ V}$, $R_1 = 10\Omega$, $R_2 = 20\Omega$, $R_3 = 30\Omega$



Obr.4.8 a)



Obr.4.8 b)

Řešení:

- Vypočteme napětí náhradního zdroje U_{oe} , v zadaném obvodu vyjmeme větve s rezistorem R_2 – obr.4.8 b)

$$U_{oe} = \frac{U_0}{R_1 + R_3} R_3 = 150\text{ V}$$

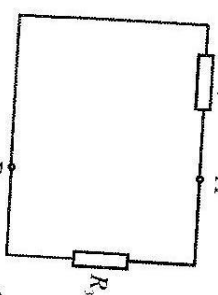
2. V původním obvodu nahradíme napěťový zdroj zkratem ($R_i = 0$) - obr. 4.8 c)
- a vypočteme ekvivalentní odpor R_e jako výsledný odpor ke svorkám AB

R_i

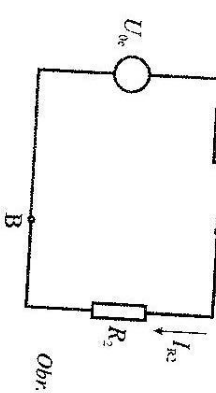
A



$$R_e = \frac{R_1 R_3}{R_1 + R_3} = 7,5 \Omega$$



3. proud I_{R2} vypočteme jako proud v náhradním obvodu dle obr.4.8 c)

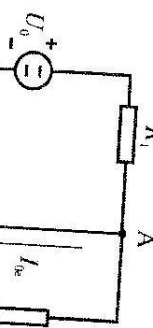


Obr.4.8 c)

$$I_{R2} = \frac{U_o}{R_2 + R_e} = 5,45 \text{ A}$$

Obr.4.8 d)

Příklad IV-6: V obvodu z příkladu IV-5 vypočte proud I_{R2} pomocí Nortonaovy věty



Řešení:

1. Vypočteme proud náhradního zdroje I_{o_e} v zadaném obvodu zkratujeme větve s rezistorem R_2 - obr.4.8e)

$$I_{o_e} = \frac{U_o}{R_1} = 20 \text{ A}$$

Obr.4.8 e)

A

B

2. Ekvivalentní odpor náhradního proudového zdroje počítáme stejně jako v příkladu IV-5: $R_e = 7,5 \Omega$

3. proud I_{R2} vypočteme jako proud v náhradním obvodu dle obr. 4.8 f)

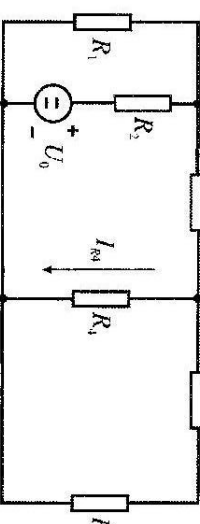
$$I_{R2} = \frac{I_{o_e}}{R_e + R_2} = 5,45 \text{ A}$$

Obr.4.8 f)

4.6 PŘÍKLADY K PROCVIČENÍ

4.15 Pomocí Théveninovy věty vypočte proud I_{R4} .

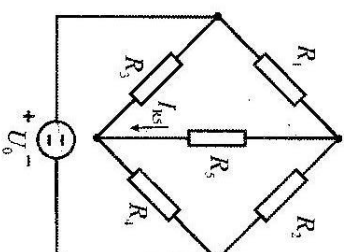
Dáno: $U_0 = 140V$, $R_1 = R_2 = R_3 = 20\Omega$, $R_4 = R_5 = R_6 = 20\Omega$



$U_{o_e} = 40V$
$R_e = 17,14\Omega$
$I_{R4} = 1,08A$

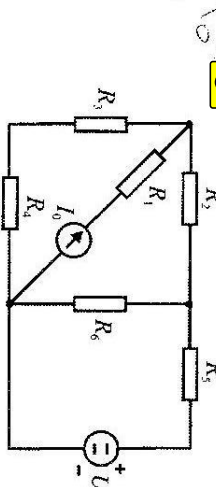
4.16 Pomocí Théveninovy věty vypočte proud I_{R5} .

Dáno: $U_0 = 100V$, $R_1 = 10\Omega$, $R_2 = 20\Omega$, $R_3 = 30\Omega$, $R_4 = 40\Omega$, $R_5 = 50\Omega$



4.17 Pomocí Nortonovy věty vypočte proud I_{R6} .

Dáno: $U_0 = 100V$, $R_1 = R_2 = R_3 = R_4 = R_5 = R_6 = 40\Omega$

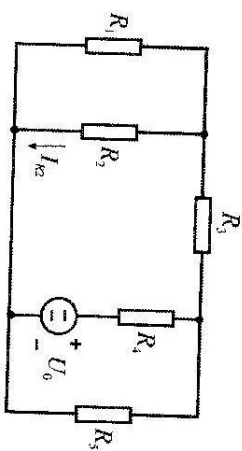


$U_{o_e} = 9,6V$
$R_e = 23,81\Omega$
$I_{R6} = 0,13A$

$I_{o_e} = 3,83A$
$R_e = 30\Omega$
$I_{R6} = 1,64A$

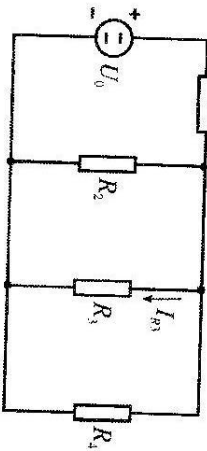
4.18 Pomocí Nortonovy věty vypočtete proud I_{R2} .

Dáno: $U_0 = 200V$, $R_1 = R_2 = R_3 = 60\Omega$, $R_4 = R_5 = R_6 = 60\Omega$



4.19 Pomocí Nortonovy věty vypočtete proud I_{R3} .

Dáno: $U_0 = 60V$, $R_1 = R_2 = R_3 = R_4 = 10\Omega$



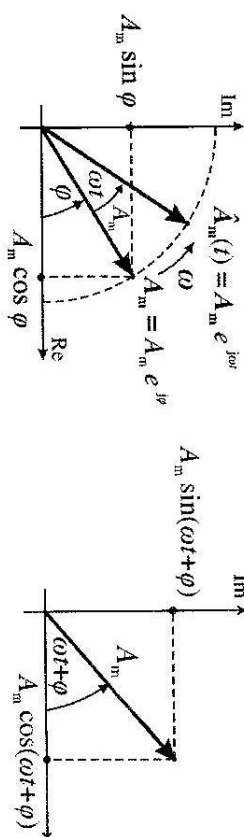
$$\boxed{\begin{array}{l} I_{0e} = 1,1 \text{ A} \\ R_e = 36\Omega \\ I_{R4} = 0,416 \text{ A} \end{array}}$$

5. ELEKTRICKÉ OBVODY V HARMONICKÉM USTÁLENÉM STAVU

5.1 KOMPLEXNÍ REPREZENTACE HARMONICKÝCH VELIČIN

Z matematiky je známo, že komplexní číslo lze v komplexní rovině vyjádřit ve složkovém nebo v exponenciálním tvaru – obr. 5.1

$$A_m = A_m e^{j\varphi} = A_m \cos \varphi + j A_m \sin \varphi \quad (5.1)$$



Obr. 5.1

Otočí-li se koncový bod úsečky délky A_m podél kružnice za čas t o úhel ωt , lze jeho polohu vyjádřit komplexním číslem

$$A_m e^{j\varphi} e^{j\omega t} = A_m e^{j(\omega t + \varphi)} = A_m \cos(\omega t + \varphi) + j A_m \sin(\omega t + \varphi) \quad (5.2)$$

Průmětem komplexního čísla $A_m e^{j(\omega t + \varphi)}$ do reálné a imaginární osy jsou harmonické funkce – obr. 5.2

$$A_m \cos(\omega t + \varphi) = \operatorname{Re}\{A_m e^{j(\omega t + \varphi)}\} \quad A_m \sin(\omega t + \varphi) = \operatorname{Im}\{A_m e^{j(\omega t + \varphi)}\} \quad (5.3)$$

Z rov. (5.2) a (5.3) vyplývá, že **harmonickou funkcí lze v komplexní rovině vyjádřit pomocí komplexního čísla**:

- komplektní číslo, které mění svoji polohu v závislosti na čase, značíme

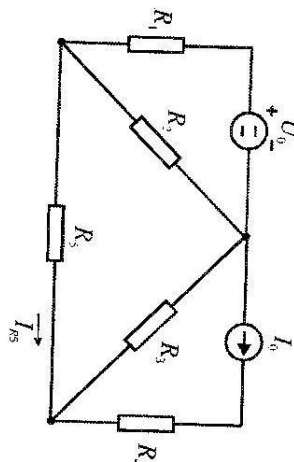
- komplektní číslo vyjadřující polohu \hat{A}_m v čase $t = 0$
 $A_m = \hat{A}_m(0) = A_m e^{j\varphi}$ nazýváme **fázor**.

Vztah mezi komplexorem a fázorem je

$$\hat{A}_m = A_m e^{j\omega t} \quad (5.4)$$

Komplexory i fázory lze vyjádřit pro amplitudy harmonických funkcí A_m nebo pro efektivní hodnoty A , pak platí

$$A = \frac{A_m}{\sqrt{2}} \quad \hat{A} = \frac{\hat{A}_m}{\sqrt{2}} \quad (5.5)$$



4.20 Pomocí Théveninové věty vypočtete proud I_{R5} .

Dáno: $U_0 = 24V$, $I_0 = 2A$, $R_1 = R_2 = 2\Omega$, $R_3 = 3\Omega$, $R_4 = 4\Omega$, $R_5 = 5\Omega$

$$\boxed{\begin{array}{l} R_e = 3,33\Omega, I_{0e} = 6 \text{ A}, \\ I_{R5} = 1,5 \text{ A} \end{array}}$$



Vztah mezi komplexorem a fázorem je

$$\hat{A}_m = A_m e^{j\omega t} \quad (5.4)$$

Komplexory i fázory lze vyjádřit pro amplitudy harmonických funkcí A_m nebo pro efektivní hodnoty A , pak platí

$$A = \frac{A_m}{\sqrt{2}} \quad \hat{A} = \frac{\hat{A}_m}{\sqrt{2}} \quad (5.5)$$

Zobrazení harmonických funkcí v komplexní rovině je základem *symbolické metody* (SKM), kterou používáme při řešení ustálencích stavů v lineárních obvodech s harmonickými zdroji. Tato metoda umožňuje:

1. Zobrazit *harmonický proměnné veličiny* (okamžité hodnoty napětí a proudu) v komplexní rovině jako *fázory*.
2. K fázorům zpět přiřadit harmonickou funkci (okamžitou hodnotu napětí nebo proudu) podle rov. (5.3) a obr. 5.2.
3. Provádět základní algebatické operace (sčítání, odčítání, násobení apod.) v komplexní rovině analogicky operacím s vektory.
4. Derivaci a integrál funkce $u(t)$ vyjádřit jako násobení nebo dělení fázoru U_m koeficientem $j\omega$, místo integrodiiferenciálních rovnic pro okamžité hodnoty napětí a proudu řešíme *algebraické rovnice pro fázory*.

Příklad V-1: Pomocí SKM vypočte výsledný proud $i_3(t) = i_1(t) + i_2(t)$, je-li dán: $i_1(t) = 3\sin(\omega t + 30^\circ)$ A, $i_2(t) = 4\sin(\omega t + 60^\circ)$ A.

Rешení:

K okamžitým hodnotám proudu i_1 a i_2 přiřadíme fázory (maximálních hodnot)

$$I_{m1} = 3e^{j30^\circ}, \quad I_{m2} = 4e^{j60^\circ}$$

Vypočteme fázor proudu I_{m3} (pro sčítání použijeme složkový tvar)

$$I_{m3} = I_{m1} + I_{m2} = 3e^{j30^\circ} + 4e^{j60^\circ} = 2,598 + j1,52 + 2 + j3,464 = 4,598 + j4,964 = 6,766e^{j47,19^\circ}$$

Provědeme zpětnou transformaci (průměrem do imaginární osy, jehož proudy i_1 a i_2 byly dány funkcí sin)

$$i_3(t) = \text{Im}\{I_{m3} e^{j\omega t}\} = 6,766\sin(\omega t + 47,19^\circ)$$

5.1.2 Rovnice pro fázory

Pro fázory napětí a proudu platí Kirchhoffovy zákony:

První Kirchhoffův zákon v komplexním tvaru:

$$\sum_k \pm I_k = 0 \quad (5.6)$$

Druhý Kirchhoffův zákon v komplexním tvaru:

$$\sum_k \pm U_k = 0 \quad (5.7)$$

Využárení derivace a integrálu harmonické funkce

K harmonické funkci $u(t)$ přiřadíme komplexor (efektivní hodnoty) $\hat{U}(t)$

$$u(t) \rightarrow \hat{U}(t) = U e^{j\omega t} \quad (5.8a)$$

Pro derivaci pak platí

$$\frac{du}{dt} \rightarrow \frac{d\hat{U}}{dt} = j\omega U e^{j\omega t} \quad (5.8b)$$

Pro integral bude:

$$\int u(t) dt \rightarrow \int \hat{U}(t) dt = \frac{1}{j\omega} U e^{j\omega t} \quad (5.8c)$$

Derivaci v časové oblasti odpovídá násobení fázoru koeficientem $j\omega$

Příklad V-2: Pasivním dvojpolem protéká harmonický proměnný proud $i(t) = I_m \sin(\omega t)$, vyjádřete fázor napětí dvojpola, je-li dán sériovým spojením prvků: a) RL , b) RC , c) RLC . Vyznacíte fázory napětí v komplexní rovině.

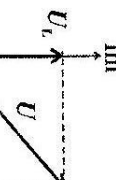
Rешение:

a) **Sériové spojení R a L**
pro okamžité hodnoty platí:

$$u = u_R + u_L = Ri + L \frac{di}{dt}$$

$$\text{pro komplexory } \hat{U}(t) \\ \hat{U} = R \hat{I} + j\omega L \hat{I} = I e^{j\omega t} (R + j\omega L)$$

$$\text{pro fázory dostaneme -- obr. 5.3a)} \\ U = R I + j\omega L I = U_R + U_L$$



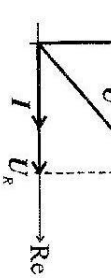
Obr. 5.3 a)

fázor napětí na induktoru je vůči fázoru proudu pootočen o 90°
(pootočení vyjadřuje násobení koeficientem j)

b) **Sériové spojení R a C**
pro okamžité hodnoty platí

$$u = u_R + u_C = Ri + \frac{1}{C} \int i dt$$

$$\text{analogicky pro fázory dostaneme -- obr. 5.3 b)} \\ U = R I + \frac{1}{j\omega C} I = U_R + U_C$$



fázor napětí na kapacitoru je vůči fázoru proudu pootočen o -90°
(pootočení vyjadřuje násobení koeficientem $-j$)

c) **Sériové spojení R , L a C**
pro okamžité hodnoty platí:

$$u = u_R + u_L + u_C$$

pro fázory dostaneme – obr. 5.3 c)

$$U = U_r + U_L + U_C = R I + j\omega L I + \frac{1}{j\omega C} I$$



Obr. 5.3 c)

Gráty v komplexní rovině – obr. 5.3 a), b), c) nazýváme *fázorové diagramy*. V některých případech lze fázorový diagram použít k rychlé analýze obvodu.

5.1.3 Komplexní impedance a komplexní admittance

Vztahy mezi fázory napětí a proudů na elementárních prvcích nebo na pasivním dvojpólu můžeme vyjádřit *zobecněným Ohmovým zákonem* v *komplexním tvaru*

$$U = Z I \quad \text{resp.} \quad U_m = Z I_m \quad (5.9)$$

Podíl fázoru napětí a proudu nazýváme komplexní impedance Z, lze ji vyjádřit ve tvare

$$Z = R + jX \quad [Ω] \quad (5.10)$$

Reálnou část komplexní impedance nazýváme *resistance* a imaginární část *reaktance*. Převrácená hodnota Z je *komplexní admittance*

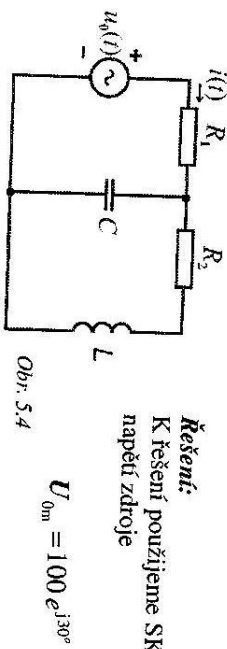
$$Y = \frac{1}{Z} = \frac{I}{U} = G + jB \quad [\text{S}] \quad (5.11)$$

Reálnou část komplexní admittance nazýváme *konductance*, imaginární část nazýváme *susceptance*.

Pro výpočet celkové impedance sériov-paralelního spojení pasivních prvků platí táz pravidla jako pro počítání s rezistory včetně vztahu pro transfiguraci hvězda - trojuhelník. Komplexní impedance a admittance elementárních pasivních prvků, vztahy mezi jejich fázory napětí a proudů i příslušné fázorové diagramy jsou uvedeny v tab. 5.1.

Příklad V-3: Vypočte okamžitou hodnotu proudu, který do obvodu dodává zdroj harmonického napětí $u(t) = 100 \cos(\omega t + 30^\circ) \text{ V}$.

Dáno: $R_1 = 10 \Omega$, $R_2 = 20 \Omega$, $L = 0,01 \text{ H}$, $C = 0,2 \text{ mF}$, $\omega = 1000 \text{ s}^{-1}$



Obr. 5.4

Řešení:
K řešení použijeme SKM, vyjádříme fázor napětí zdroje

$$U_{0m} = 100 e^{j30^\circ}$$

Tab. 5.1
Vztahy mezi fázory napětí a proudu lineárních prvků obvodu

Prvek	Vztahy mezi napětím a proudem	Komplexní impedance a admittance	Fázorový diagram
$I \xrightarrow{\longrightarrow} R$	$U_r = R I$ $I = GU$	$Z_r = R$ $Y_r = G$	
$I \xrightarrow{\longrightarrow} \frac{U_L}{j\omega L}$	$U_L = j\omega L I$ $I = \frac{U_L}{j\omega L}$	$Z_L = j\omega L = jX_L$ $Y_L = \frac{1}{j\omega L}$	
$I \xrightarrow{\longrightarrow} \frac{U_c}{j\omega C}$	$U_c = \frac{1}{j\omega C} I$ $I = j\omega C U_c$	$Z_c = \frac{1}{j\omega C} = jX_c$ $Y_c = j\omega C$	

$X_L = \omega L$ je induktivní reaktance a $X_c = \frac{-1}{\omega C}$ je kapacitní reaktance.

pokračování příkladu V-3 : vypočteme celkovou impedanci obvodu

$$Z = R_1 + \frac{\frac{1}{j\omega C}(R_2 + j\omega L)}{\frac{1}{j\omega C} + R_2 + j\omega L} = 10 + \frac{5\angle -90^\circ \cdot 22,36\angle 26,57^\circ}{20,62\angle 14,04^\circ}$$

$$Z = 10 + 5,42\angle -77,47^\circ = 12,36\angle -25,32^\circ \Omega$$

Fázor proudu je

$$I_m = \frac{U_{0m}}{Z} = \frac{100\angle 30^\circ}{12,37\angle -25,32^\circ} = 8,08\angle 55,32^\circ \text{ A}$$

Zpětnou transformací (průmětem komplexoru \hat{I}_m do reálné osy, neboť napětí u_0 je dánou funkcí cos) dostaneme požadovanou okamžitou hodnotu proudu:

$$i(t) = \operatorname{Re}\{I_m e^{j\omega t}\} = 8,08 \cos(\omega t + 55,32^\circ) \text{ A}$$

Poznámka: Dělení dvou komplexní čísel lze provést ve složkovém nebo exponenciálním tvaru, postup zpravidla volíme podle toho, zda pro výsledhou veličinu chceme určit modul nebo složky:

a) **exponenciální tvar** užíváme pro vyjádření modulu a fáze výsledné veličiny (např. pro určení okamžité hodnoty proudu)

$$I = \frac{3 + j4}{8 + j6} = \frac{5\angle 53,13^\circ}{10\angle 36,87^\circ} = 0,5\angle 16,26^\circ$$

$$i(t) = \operatorname{Re}\{\sqrt{2} I e^{j\omega t}\} = 0,71 \cos(\omega t + 16,26^\circ) \text{ A}$$

b) **složkový tvar** užíváme pro výpočet reálné a imaginární složky výsledku (např. pro určení *resistence a reaktance nebo činného a jalového výkonu*) zlomek nasobíme číslem komplexně sruženým

$$Z = \frac{8 + j6}{3 + j4} = \frac{8 + j6}{3 - j4} = \frac{48 - j14}{25} = 1,92 - j0,56 \Omega$$

Příklad V-4: Určete časový průběh proudu protékajícího komplexní impedancí $Z = 60 - j20 \Omega$, je-li na ní napětí $u = 400 \cos(\omega t + 60^\circ) \text{ V}$.

Řešení:
Zadané veličiny vyjádříme v exponenciálním tvaru a vypočteme fázor proudu
 $U_m = 400\angle 60^\circ, Z = 60 - j20 = 63,25\angle -18,43^\circ$
 $I_m = \frac{U_m}{Z} = 6,32\angle 78,43^\circ$

transformací z komplexní roviny do časové oblasti dostaneme

$$i(t) = \operatorname{Re}\{I_m e^{j\omega t}\} = 6,32 \cos(\omega t + 78,43^\circ) \text{ A}$$

Příklad V-5: Nakreslete *fázorový diagram* pro obvod z příkladu V-3.

Obecný postup:

Při kreslení fázorových diagramů postupujeme od nejvyzdanější resp. nejsložitější věve obvodu, ve které *zvolíme fázor proudu resp. napětí*. Postupně vyjadřujeme fázory napětí na jednotlivých prvcích a proudy v jednotlivých větvích, přičemž respektujeme Kirchhoffovy zákony a Ohmův zákon v komplexním tvaru.

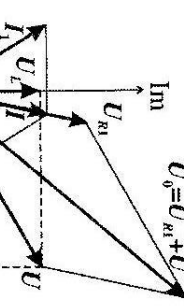
Řešení:

- Zvolíme proud I_2 ve věti s rezistorem R_2 a zakreslíme U_{R2} (leží v reálné ose ve shodě s fázorem proudu) a U_L (je pootočen vůči fázoru proudu o 90°)

$$U = U_{R2} + U_L$$

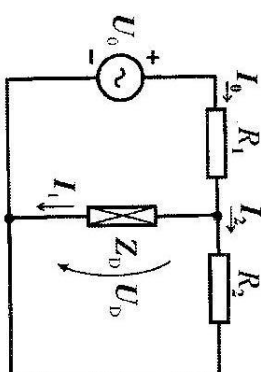
2. Proud kapacitorem I_1 je vůči fázoru napětí U pootočen o 90° : $I_1 = j\omega C U$

3. Nyní určíme proud rezistorem R_1 a napětí na R_1
 $I = I_1 + I_2, U_{R1} = I R_1$



Obrazek 5.6

Příklad V-6: Daný obvod je napájen ze zdroje harmonického napětí $u_o(t) = 50 \sin(4000t - 20^\circ) \text{ V}$ proudem $i_o(t) = 0,5 \sin 4000t \text{ A}$, $R_1 = 50\Omega$, $R_2 = 100\Omega$. Vypočítejte komplexní impedanci dvojpolu Z_D .



Obrazek 5.7

Řešení:

1. Vypočteme fázor napětí U_{Dm}

$$U_{0m} = R_1 I_{0m} + U_{Dm}$$

$$U_{Dm} = 50\angle -20^\circ - 50 \cdot 0,5\angle 0^\circ = 27,8\angle -37,9^\circ \text{ V}$$

2. Určíme fázor proudu I_{2m}

$$I_{2m} = \frac{U_{Dm}}{R_2}$$

Obrazek 5.7

3. Vypočteme proud I_{1m}

$$I_{1m} = I_{0m} - I_{2m} = 0,5 - \frac{27,8\angle -37,9^\circ}{100} = 0,328\angle 31,4^\circ \text{ A}$$

4. Vypočteme komplexní impedanci Z_D

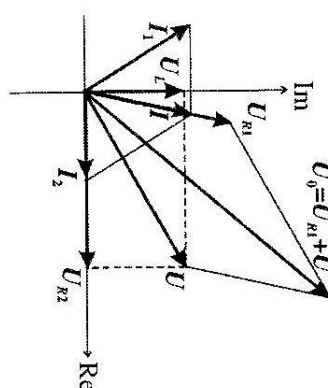
$$Z_D = \frac{U_{Dm}}{I_{1m}} = 84,8\angle -69,3^\circ = 30,1 - j79,2 \Omega$$

Dvojpól může být tvoren sériovým spojením rezistoru $R_D = 30,1\Omega$ a kapacitou

$$C_D = \frac{1}{\omega |X_D|} = \frac{1}{4000 \cdot 79,2} = 3,15 \cdot 10^{-6} \text{ F}$$

Poznámka: Tuto konstrukci fázorového diagramu lze použít v obvodech s jedním zdrojem.

4. Vypočítejte napětí zdroje U_0
 $U_0 = U_{R1} + U$



Obrazek 5.8

5.2 ANALÝZA OBVODŮ S HARMONICKÝMI ZDROJI

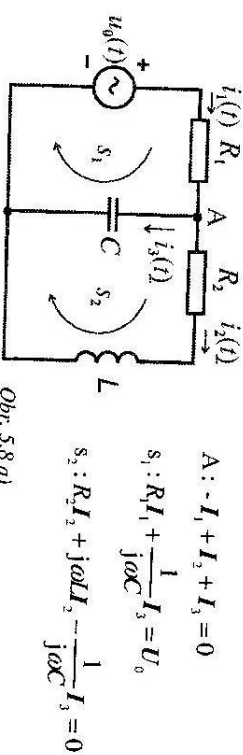
Pro formulaci rovnic používáme metody pro úphou a částečnou analýzu uvedené ve 3. kapitole, rovnice příseme pro fázory.

Příklad V-7: Pro obvod na obr. 5.8a) formuluje obvodové rovnice :

- pomocí Kirchhoffových zákonů
- metodou snyčkových proudů
- metodou uzlových napětí

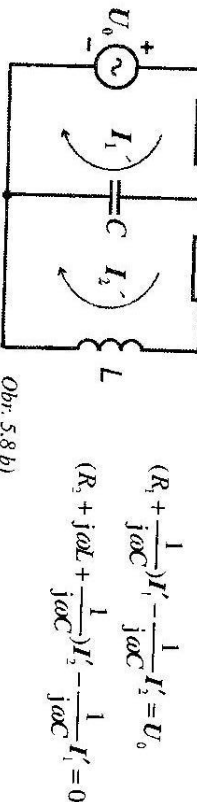
Rешení:

a) v obvodu je jeden nezávislý uzel a 2 nezávislé snyčky, napišeme 3 rovnice pro fázory věnových proudů



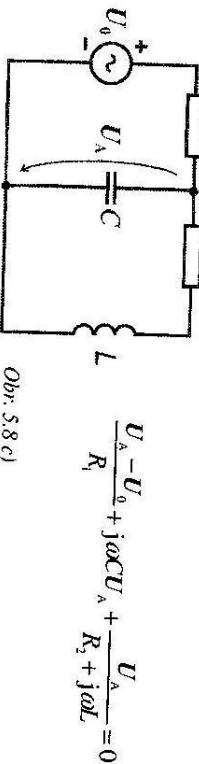
Obr. 5.8a)

b) zavedeme dva fázovní snyčkové proudy a napišeme pro ně 2 rovnice pomocí 2. Kirchhoffova zákona



Obr. 5.8b)

c) zavedeme uzlové napětí U_A , pomocí 1. K.z. dostaneme



Obr. 5.8c)

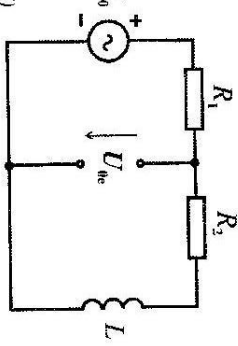
Příklad V-8: V obvodu podle obr. 5.8 a) určete pomocí metody náhradního zdroje proud kapacitorem. Použijte Théveninův i Nortonův náhradní obvod. Obvod je napojen ze zdroje harmonického napětí $u(t) = U_m \cos \omega t$ V.

Rешení:

1. *Théveninův náhradní obvod*

- vypočteme fázor napěti U_{te} obr. 5.8 d)

$$U_{\text{te}} = \frac{U_{\text{on}}}{R_1 + R_2 + j\omega L} (R_2 + j\omega L) \quad \text{Obr. 5.8 d)}$$



Obr. 5.8 e)

- určíme ekvivalentní impedanci Z_e

$$Z_e = \frac{R_1(R_2 + j\omega L)}{R_1 + j\omega L + R_2} \quad \text{Obr. 5.8 e)}$$

$$I_{\text{Cm}} = \frac{U_{\text{te}}}{Z_e + Z_c}$$

- k fázoru I_{Cm} vytvoříme komplexor a přiměrem do reálné osy určíme okamžitou hodnotu proudu kapacitorem

$$i_c(t) = \text{Re}\{I_{\text{Cm}} e^{j\omega t}\}$$

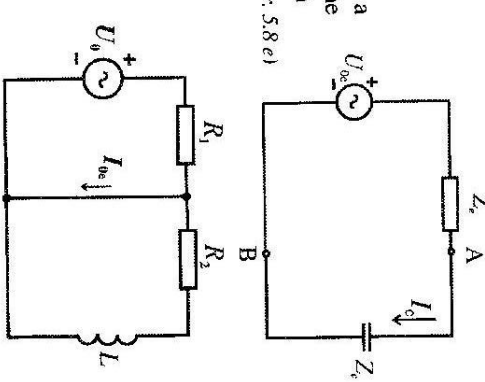
Obr. 5.8 e)

2. *Nortonův náhradní obvod*

- vypočteme fázor proudu I_{te} obr. 5.8 f)

$$I_{\text{te}} = \frac{U_{\text{on}}}{R_1}$$

- určíme ekvivalentní impedanci Z_e (dle 1b) a vypočteme proudu I_{Cm} ze vztahu pro proudový dělíc obr. 5.8 g



Obr. 5.8 f)

- vypočteme fázor proudu I_{te} obr. 5.8 f)

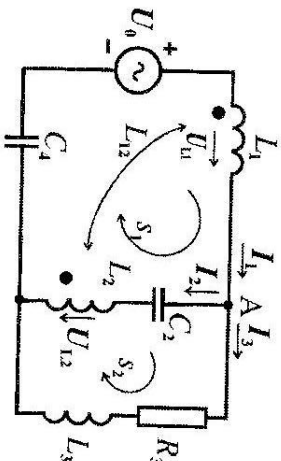
$$I_{\text{Cm}} = I_{\text{te}} \frac{Z_e}{Z_e + Z_c}$$

- k fázoru I_{Cm} vytvoříme komplexor a přeměrem do reálné osy určíme okamžitou hodnotu proudu kapacitorem

$$i_c(t) = \text{Re}\{I_{\text{Cm}} e^{j\omega t}\}$$

Obr. 5.8 g)

Příklad V-9: Pro obvod se vzájemnými indukčnostmi dle obr. 5.9 formulujte rovnice: a) pro větové proudy, b) pro smyčkové proudy.



Rешение:

a) *rovnice pro větové proudy:*

$$\begin{aligned} U_{L1} &= j\omega L_1 I_1 - j\omega L_{12} I_2 \\ U_{L2} &= j\omega L_2 I_2 - j\omega L_{12} I_1 \end{aligned}$$

nejprve vyjádříme fázory napětí U_{L1} a U_{L2} se vzájemnými induktivními vazbami

Obr. 5.9

Rovnice pro uzel A a smyčky s_1, s_2 :

$$A: -I_1 + I_2 + I_3 = 0$$

$$\begin{aligned} s_1: U_{L1} + \frac{1}{j\omega C_2} I_2 + U_{L2} + \frac{1}{j\omega C_4} I_1 &= U_0 \\ s_2: (R_3 + j\omega L_3) I_3 - U_{L2} - \frac{1}{j\omega C_2} I_2 &= 0 \end{aligned}$$

b) *formulace pro smyčkové proudy:*

ve smyčkách s_1 a s_2 volíme smyčkové proudy I'_1 a I'_2 , pomocí nich vyjádříme napětí U_{L1} a U_{L2}

$$\begin{aligned} U_{L1} &= j\omega L_1 I'_1 - j\omega L_{12} (I'_1 - I'_2) \\ U_{L2} &= j\omega L_2 (I'_1 - I'_2) - j\omega L_{12} I'_1 \end{aligned}$$

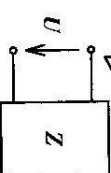
Rovnice pro smyčky s_1 , s_2 jsou:

$$s_1: U_{L1} + \frac{1}{j\omega C_2} (I'_1 - I'_2) + U_{L2} + \frac{1}{j\omega C_4} I'_1 = U_0$$

$$s_2: (R_3 + j\omega L_3) I'_2 - U_{L2} + \frac{1}{j\omega C_2} (I'_2 - I'_1) = 0$$

5.3 REZONANCE

Obvod napájený harmonickým napětím je v rezonanci, jestliže proud a napětí zdroje jsou ve fázi, tj. jestliže impedance pasivního dvojpolu připojeného ke zdroji má ohmický charakter. Obvod v rezonanci odebírá ze zdroje pouze činný výkon.



Obr. 5.10

Příklad V-10: Pro sériový rezonanční obvod určete:

- impedance a podmínku rezonance
- proud v obvodu a napětí na R, L, C
- nakreslete fázorový diagram pro $\omega < \omega_r, \omega = \omega_r, \omega > \omega_r$.
- nakreslete rezonanční křivky $U_R(\omega), U_L(\omega), U_C(\omega)$

Obr. 5.10

Rешение:

$$\text{a) Impedance obvodu je } Z = R + j\omega L + \frac{1}{j\omega C} = R + j(\omega L - \frac{1}{\omega C})$$

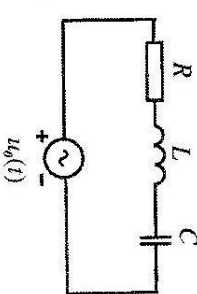
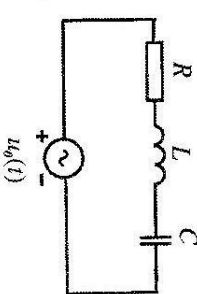
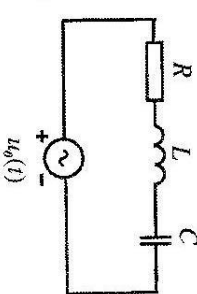
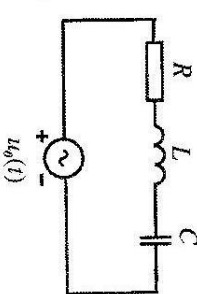
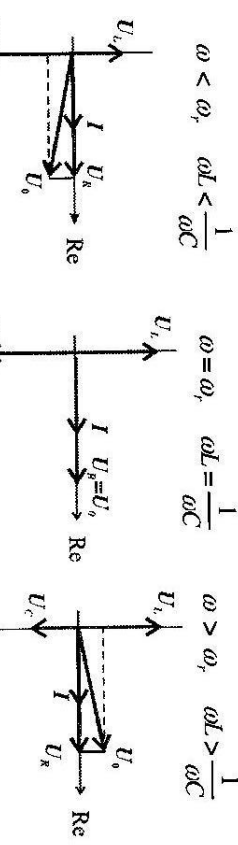
při rezonanci je $\text{Im}(Z) = 0 \Rightarrow \omega_r = \frac{1}{\sqrt{LC}}$

rezonanční frekvence je $\omega_r = \frac{1}{\sqrt{LC}}$

b) vypočeme proud a napětí U_R, U_L, U_C

$$I = \frac{U_0}{Z} \quad U_R = RI \quad U_L = j\omega L I \quad U_C = \frac{1}{j\omega C} I$$

c) *fázorové diagramy* (fázor proudu je vždy v reálné ose)

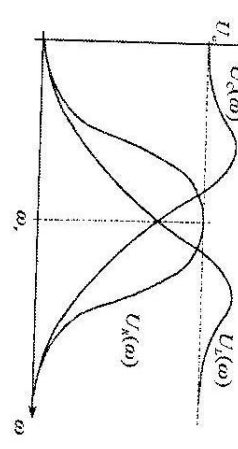


d) *rezonanční křivky* vyjadřují závislost velikosti fázoru na frekvenci
 $|U| = U(\omega)$, kreslime je s přihlédnutím k následujícím skutečnostem

- pro rezonanční frekvenci je U_L maximální a $U_L = U_C$
- pro frekvence $\omega < \omega_r$ je $X_L < X_C \Rightarrow U_L(\omega) < U_C(\omega)$,
 $U_L(0) = 0, U_C(0) = U_o$,
- pro frekvence $\omega > \omega_r$ je $X_C < X_L \Rightarrow U_L(\omega) > U_C(\omega)$,
 $U_C(\infty) = 0, U_L(\infty) = U_o$

$$U_m = \sqrt{2} 230 e^{j30^\circ} V$$

$$U = 230 e^{j30^\circ} V$$



Obr. 5.12

Příklad V.11: Pro paralelní rezonanční obvod určete:

- admitanci a podmínku rezonance
- proud v obvodu a napětí na G, L, C
- nakreslete fázorový diagram pro $\omega < \omega_r, \omega = \omega_r, \omega > \omega_r$

Rешení:

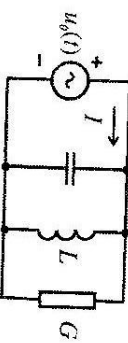
$$a) \text{ Admitance obvodu je } Y = G + j\omega C + \frac{1}{j\omega L} = G + j(\omega C - \frac{1}{\omega L})$$

podmínka rezonance je

$$\text{Im}(Y) = 0 \Rightarrow \omega C = \frac{1}{\omega L}$$

rezonanční frekvence je

$$\omega_r = \frac{1}{\sqrt{LC}}$$



Obr. 5.13

5.4 Vypočtěte $u(t) = 10 \sin \omega t - 8 \cos \omega t$ V.

$$I = I_1 + I_2 = 5e^{j\varphi} A$$

$$i(t) = \sqrt{2} 5 \cos(\omega t + \varphi) A ; \varphi = \arctg \frac{4}{3}$$

$$U_m = 12,81 e^{-j\varphi} V$$

$$u(t) = 12,81 \sin(\omega t - \varphi) V \quad \varphi = \arctg 0,8$$

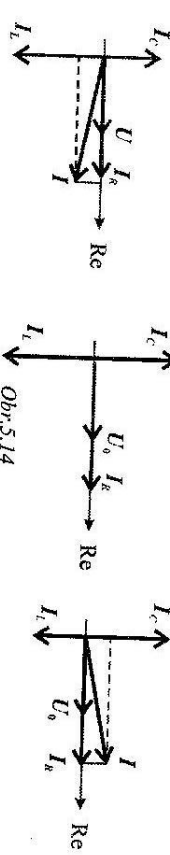
5.5 Stanovte průběh proudu (s frekvencí ω), jemuž je přiřazen fázor $I = -10$ A.

$$i(t) = \sqrt{2} 10 \sin(\omega t + \pi) A, i(t) = \sqrt{2} 10 \cos(\omega t + \pi) A$$

úloha má dvě řešení

5.6 Stanovte kosinový průběh proudu (s frekvencí ω), jemuž je přiřazen fázor $I = -10j$ A.

$$i(t) = \sqrt{2} 10 \cos\left(\omega t - \frac{\pi}{2}\right) = \sqrt{2} 10 \sin \omega t A$$



5.4 PŘÍKLADY K PROCVIČENÍ

Komplexní reprezentace harmonických veličin

5.1 K okamžité hodnotě napětí $u(t) = \sqrt{2} 230 \sin(\omega t + 30^\circ)$ V přiřaďte fázor.

$$U_m = \sqrt{2} 230 e^{j30^\circ} V$$

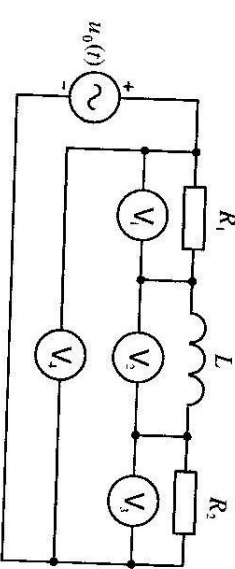
5.2 K okamžité hodnotě napětí $u(t) = \sqrt{2} 230 \sin(\omega t + 30^\circ)$ přiřaďte komplexor.

$$U_m e^{j\omega t} = \sqrt{2} 230 e^{j30^\circ} e^{j\omega t}$$

5.7 Stanovte sinový průběh proudu, jemuž přísluší komplexní efektivní hodnota $I = -6 + j8 \text{ A}$.

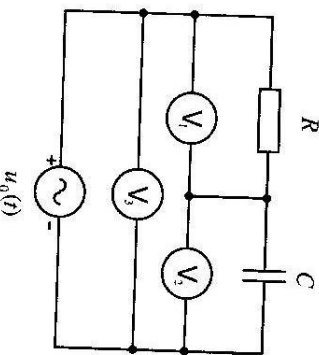
$$i(t) = \sqrt{2} 10 \sin \left[\omega t + \arctg \left(\frac{4}{-3} \right) \right] = \\ = 14,4 \sin (\omega t + 126^\circ 42') \text{ A}$$

5.8 Jaké napětí změříme voltmetrem V_2 , jestliže ostatní voltmetry udávají $U_1 = 20 \text{ V}$, $U_3 = 10 \text{ V}$, $U_4 = 50 \text{ V}$.



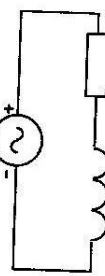
5.9 Voltmetry V_1 a V_2 změříme napětí $U_1 = 100 \text{ V}$ a $U_2 = 200 \text{ V}$. Stanovte údaj voltmetu V_3 .

$$U_3 = 40 \text{ V}$$



5.10 Jaký je fázový posuv proudu vůči napětí zdroje $u_0(t)$.

$$R = 1 \Omega \quad X_L = 2 \Omega$$



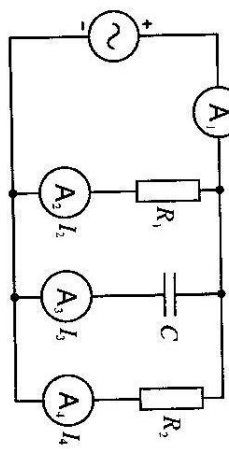
$$u_0(t) = 10 \sin \omega t$$

$$\text{napětí předběhlá o úhel} \\ \varphi = \arctg 2 = 63^\circ 30'$$

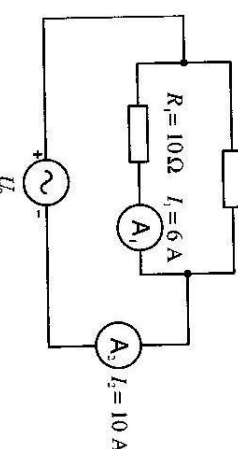
5.11 Jaký proud změříme ampérmetrem A_1 , jestliže ostatní ampérmetry udávají $I_2 = 10 \text{ A}$, $I_3 = 40 \text{ A}$, $I_4 = 20 \text{ A}$.

$$I_1 = ?$$

$$I_1 = 50 \text{ A}$$



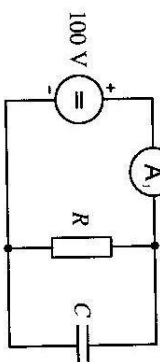
5.12 V obvodu podle obrázku udává ampérmetr A_1 proud $I_1 = 6 \text{ A}$ a ampérmetr A_2 proud $I_2 = 10 \text{ A}$. Odpór $R_1 = 10 \Omega$. Stanovte odpor R_2 .



$$R = 15 \Omega$$

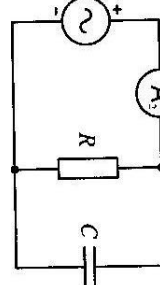
5.13 Rezistor R a kapacitor C jsou spojeny paralelně a připojeny nejprve na stejnosměrný zdroj o napěti 100 V (obr. a), pak na střídavý zdroj o efektivní hodnotě napětí 100 V a úlovové frekvenci $\omega = \sqrt{3} \cdot 10^2 \text{ s}^{-1}$ (obr. b). V obou případech měříme ampérmetry A_1 a A_2 proud. Z naměřených hodnot proudu stanovte hodnoty R a C .

$$I_1 = 5 \text{ A}$$



$$I_2 = 10 \text{ A}$$

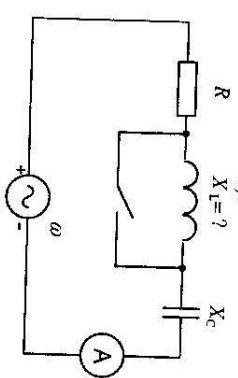
obr. a)



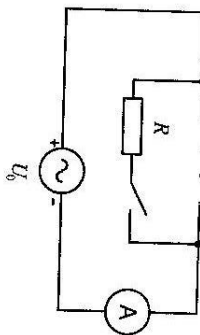
obr. b)

$$R = 20 \Omega, C = 500 \mu\text{F}$$

5.14 V obvodu podle obrázku jsou dány hodnoty rezistoru R , kapacitní reaktance X_C a úlové frekvence zdroje ω . Stanovte hodnotu induktivní reaktance X_L , při níž je údaj ampérmetru stejný při zapnutém i při vypnutém vypínači ($X_L = ?$)



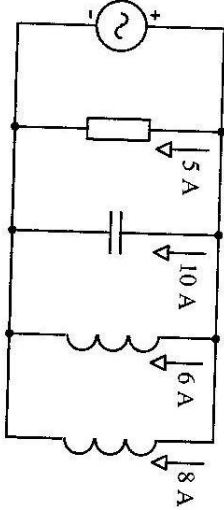
5.15 V obvodu podle obrázku je $R = X_L$. Jak se změní údaj ampérmetru po sepnutí vypínače?



proud se zvětší $\sqrt{2}$ - krát

$$X_L = 2|X_C|$$

5.16 Stanovte efektivní hodnotu proudu I .

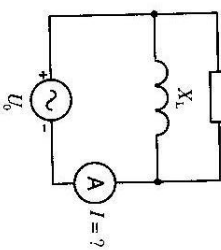


$$I = ?$$

Komplexní impedance a admittance

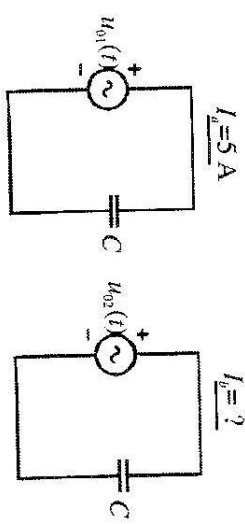
5.19 Určete fázový posun mezi napětím a proudem na impedanci Z , je-li:
a) $Z = 6 + j4 \Omega$, b) $Z = 6 - j4 \Omega$, c) $Z = 6 \Omega$

- a) napětí předběhlá proud o $33,7^\circ$
- b) napětí se zpožděuje za proudem o $33,7^\circ$
- c) napětí a proud jsou ve fazi



$$I = 10\sqrt{2} \text{ A}$$

5.18 V obvodu podle obrázku známe $U_0 = 100 \text{ V}$ (efektivní hodnota). Stanovte údaj ampérmetru, je-li $R = X_L = 10 \Omega$.



$$I_b = 2,5 \text{ A}$$

$$I_a = ?$$

5.20 Vypočtěte komplexní impedanci dvojpólu, fázor napětí je $U = 30 \angle 60^\circ \text{ V}$ a proud $I_m = 5 \angle 90^\circ \text{ A}$. Určete, z jakých sériově řazených prvků lze dvojpól sestavit, je-li $\omega = 1000 \text{ s}^{-1}$.

$$\begin{aligned} Z &= 8,49 \angle -30^\circ \Omega, \\ R &= 7,35 \Omega, \quad C = 236 \mu\text{F} \end{aligned}$$

5.17 Stanovte efektivní hodnotu proudu I_b , jestliže $I_a = 5 \text{ A}$ a

$$u_{o_1}(t) = 100 \sin(100t + 30^\circ) \text{ V}, \quad u_{o_2}(t) = 100 \sin(50t + 60^\circ) \text{ V}.$$

$$i(t) = 15,61 \cos(\omega t + 21,34^\circ) \text{ A}$$

5.22 proud induktorem o indukčnosti $L = 12 \text{ mH}$ je $i(t) = 20 \cos(10^6 t) \text{ mA}$.

Určete: a) komplexní impedanci, b) napětí $u(t)$

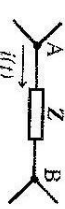
$$\boxed{\begin{aligned} Z &= j1,2 \cdot 10^3 \Omega \\ u(t) &= 240 \cos(j10^6 t + 90^\circ) \text{ V} \end{aligned}}$$

5.23 Napětí na kapacitoru o kapacitě $C = 20 \text{ pF}$ je $u(t) = 30 \cos(10^5 t) \text{ V}$.

Určete: a) komplexní admittanci, b) proud $i_C(t)$

$$\boxed{\begin{aligned} Y_c &= j2 \cdot 10^{-6} \text{ S} \\ i_c(t) &= 6 \cdot 10^{-5} \cos(j10^5 t + 90^\circ) \text{ A} \end{aligned}}$$

5.24 Komplexní impedance dvojpólu je $Z = 6 + j3 \Omega$. Určete napětí u_{AB} , je-li



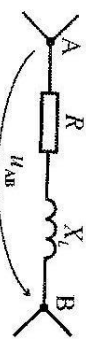
$$\boxed{u_{AB}(t) = 20,1 \sin(\omega t + 56,57^\circ) \text{ V}}$$

5.25 Vypočte kompletní impedance dvojpólu, jsou-li prvky $R=30 \Omega$, $X_L=40 \Omega$ spojeny: a) do série, b) paralelně



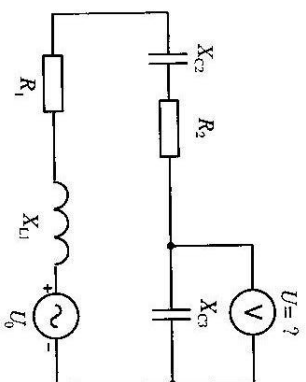
$$\boxed{\begin{aligned} \text{a)} \quad Z_a &= R + jX_L \\ \text{b)} \quad Z_b &= R \parallel jX_L \end{aligned}}$$

5.26 Napětí na rezistoru $R = 10 \Omega$ je $u_R(t) = 10 \sin(\omega t + 30^\circ) \text{ V}$, vypočte napětí u_{AB} , je-li $X_L = 20 \Omega$



$$\boxed{u_{AB}(t) = 22,36 \sin(\omega t + 93,43^\circ) \text{ V}}$$

5.27 Stanovte údaj voltmetu, jestliže prvky obvodu mají tyto hodnoty: $R_1 = 3 \Omega$, $R_2 = 5 \Omega$, $X_{L1} = 12,5 \Omega$, $X_{C2} = -3,5 \Omega$, $X_{C3} = -3 \Omega$ a efektivní hodnota napětí zdroje je $U_0 = 100 \text{ V}$.



$$\boxed{U = 30 \text{ V}}$$

5.28 Dvojpól je dán sériovým spojením dvou pasivních prvků, protéká jím proud $i(t) = 5 \sin(\omega t + 20^\circ) \text{ A}$ a je na něm napětí $u(t) = 100 \sin(\omega t + 50^\circ) \text{ V}$.

Stanovte, z jakých prvků je sestaven a určete jejich hodnoty, je-li:

- a) $\omega = 1000 \text{ s}^{-1}$, b) $\omega = 10000 \text{ s}^{-1}$.

$$\boxed{\begin{aligned} \text{a) } R &= 17,32 \Omega, L = 10 \text{ mH} \\ \text{b) } R &= 17,32 \Omega, L = 1 \text{ mH} \end{aligned}}$$

5.29 Vypočte impedance Z_{AB} při frekvenci $f_1 = 50 \text{ Hz}$ a při $f_2 = 150 \text{ Hz}$.

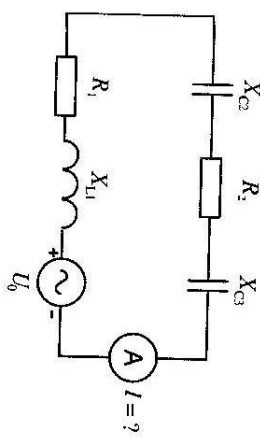
Dáno: $C_1 = 35,37 \mu\text{F}$, $R_2 = 40 \Omega$, $L_2 = 63,66 \text{ mH}$, $C_3 = 53,05 \mu\text{F}$.



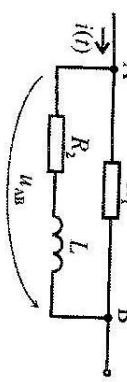
$$\boxed{\begin{aligned} Z_1 &= 114,24 \angle -66,8^\circ \Omega \\ Z_2 &= 55,23 \angle -84,81^\circ \Omega \end{aligned}}$$

5.30 Stanovte údaj ampermétru, je-li efektivní hodnota napětí zdroje $U_0 = 100 \text{ V}$ a prvky obvodu mají tyto hodnoty:

$R_1 = 4 \Omega$, $R_2 = 2 \Omega$, $X_{L1} = 14,2 \Omega$, $X_{C2} = -4,1 \Omega$, $X_{C3} = -2,1 \Omega$.



5.31 Určete impedanci dvojpólu a vypočte okamžitou hodnotu napětí $u_{AB}(t)$, je-li $i(t) = 2 \sin(\omega t + 60^\circ) A$, $R_1=20 \Omega$, $R_2=50 \Omega$, $X_L=30 \Omega$

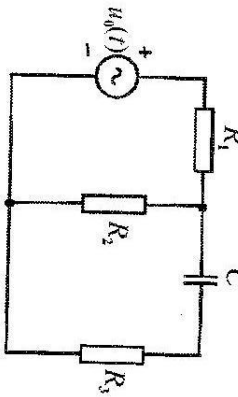


Analýza obvodu s harmonickými zdroji

$$Z = 15,31 \angle 7,76^\circ \Omega$$

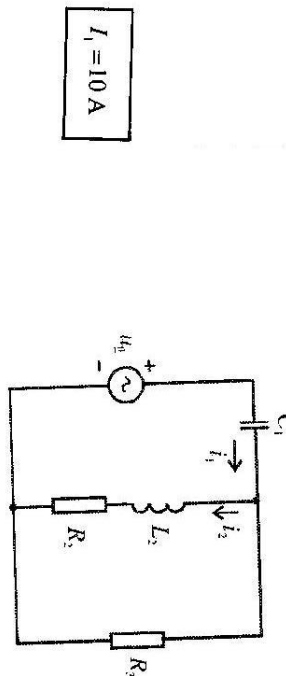
$$u_{AB}(t) = 30,62 \sin(\omega t + 67,76^\circ) V$$

5.32 Stanovte proud, který dodává zdroj do obvodu, je-li dáno:
 $u_0(t) = 230 \sin(\omega t + 30^\circ) V$, $R_1=20 \Omega$, $R_2=5 \Omega$, $R_3=10 \Omega$, $X_C=-10 \Omega$

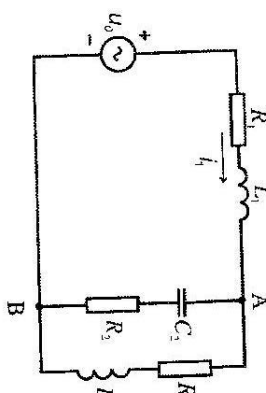


$$i(t) = 9,64 \sin(\omega t + 31,85^\circ) A$$

5.33 V obvodu podle obrázku vypočte proudy $i_1(t)$ a $i_2(t)$
Dáno: $u_0 = 400 \cos(\omega t + 50^\circ) V$, $R_2 = 500 \Omega$, $R_3 = 400 \Omega$,
 $C_1 = 50 \text{ nF}$, $L_2 = 3 \text{ mH}$.



5.34 V obvodu podle obrázku vypočte proudy $i_1(t)$ a $i_2(t)$.
Dáno: $u_0 = 400 \cos(\omega t + 30^\circ) V$, $R_1 = 600 \Omega$, $X_{C1} = -200 \Omega$, $X_{L2} = 500 \Omega$, $X_{L3} = 300 \Omega$.



$$i_1 = 0,377 \sqrt{2} \cos(\omega t + 18,78^\circ) A$$

$$u_{AB} = 160,5 \sqrt{2} \cos(\omega t + 31,68^\circ) V$$

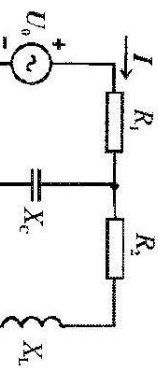
5.36 Vypočte efektivní hodnotu napětí zdroje, který napájí dany obvod.

Dáno: $i(t) = 3 \sin(\omega t + 30^\circ) A$, $R_1 = 50 \Omega$, $R_2 = 40 \Omega$, $X_L = 30 \Omega$, $X_C = -40 \Omega$



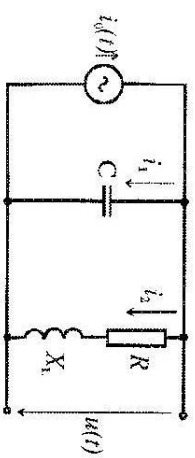
$$i_3 = 0,559 \cos(\omega t - 32,24^\circ) A$$

$$i_2 = 0,527 \cos(\omega t - 77,24^\circ) A$$



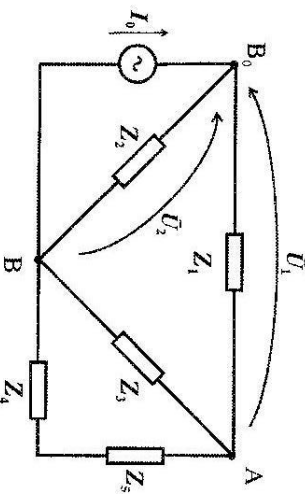
$$U_0 = 196,92 \text{ V}$$

5.37 Dany obvod je napájen ze zdroje proudu $i_0(t) = 10 \sin 2000t \text{ A}$. Vypočítejte napětí $u(t)$ a proudy i_1 a i_2 . Dáno: $C = 1 \mu\text{F}$, $R = 500 \Omega$, $L = 0,5 \text{ H}$.



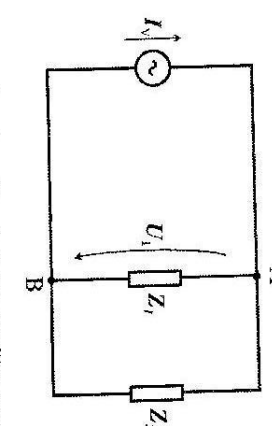
$$\begin{aligned} u(t) &= 7905,5 \sin(2000t - 71,57^\circ) \text{ V} \\ i_1(t) &= 15,81 \sin(2000t + 18,43^\circ) \text{ A} \\ i_2(t) &= 7,07 \sin(2000t - 135^\circ) \text{ A} \end{aligned}$$

5.38 Pro obvod podle obrázku formulujte rovnice pro metodu uzlových napětí.

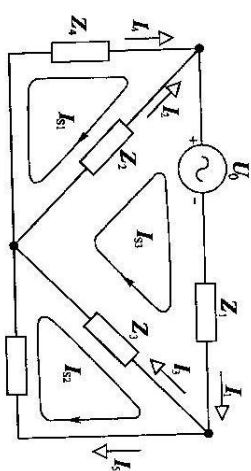


$$\begin{aligned} \frac{\bar{U}_1 + \bar{U}_2 - \bar{U}_3}{Z_1} + \frac{\bar{U}_1 - \bar{U}_2}{Z_2 + Z_5} &= 0 \\ \frac{\bar{U}_2 + \bar{U}_3 - \bar{U}_1}{Z_2} + \frac{\bar{U}_2 - \bar{U}_1}{Z_3 + Z_4} &= -I_0 \end{aligned}$$

5.40 Napíšte rovnice obvodu na základě metody uzlových napětí.



5.41 Pro obvod podle obrázku napíšte rovnice pro řešení metodou smyčkových proudů.



$$\begin{aligned} Z_2(I_{S1} - I_{S3}) + Z_4I_{S1} &= 0 \\ Z_3(I_{S2} - I_{S3}) + Z_5I_{S2} &= 0 \\ Z_1I_{S3} + Z_3(I_{S3} - I_{S2}) + Z_2(I_{S3} - I_{S1}) &= -U_0 \end{aligned}$$

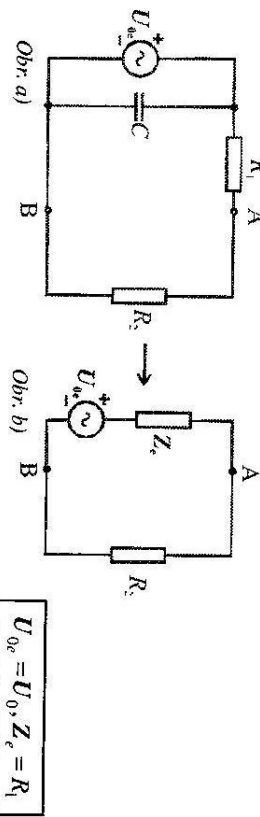
5.42 Pro obvod z předešlého příkladu zapište rovnice vyjadřující vztahy mezi smyčkovými a větvovými proudy.

$$\begin{aligned} I_1 &= I_{S3}; I_2 = I_{S3} + I_{S1} \\ I_3 &= I_{S3} - I_{S2}; I_4 = I_{S1} \\ I_5 &= I_{S2} \end{aligned}$$

5.39 V obvodu z předešeho příkladu určete proud tekoucí impedancí Z_3 směrem od uzlu A, je-li dánou uzlové napěti \bar{U}_1 a \bar{U}_2 .

$$I_3 = \frac{\bar{U}_1 - \bar{U}_2}{Z_3}$$

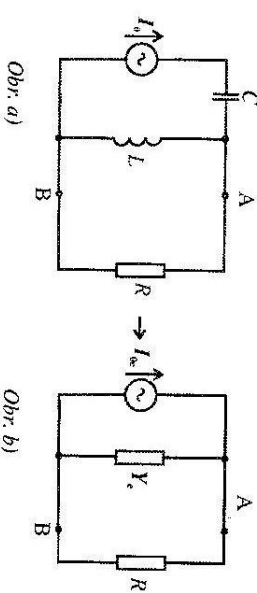
5.43 Pro obvod podle obr. a) stanovte s užitím Théveninovy věty hodnoty prvků ekvivalentního obvodu (tj. U_{0e} , Z_e), obr. b).



5.44 Napětí nezatíženého Théveninova zdroje je $u_{0e} = 20 \cos(2000t)$ V, při zatížení induktorem o indukčnosti $L = 50$ mH je napětí ekvivalentního zdroje $u_e = 12 \cos(2000t + 45^\circ)$ V. Určete parametry náhradního obvodu

$$Z_e = 119,17 \angle 8,61^\circ \Omega$$

5.45 Pro obvod podle obr. a) stanovte s užitím Nortonovy věty hodnoty prvků ekvivalentního obvodu (tj. Y_e , I_{0e}), obr. b)

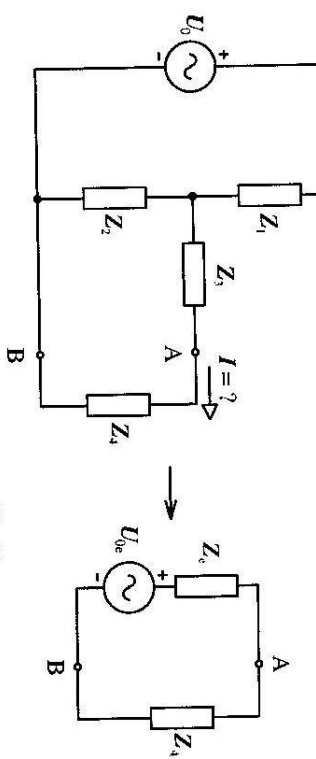


$$I_{0e} = I_0, Y_e = \frac{1}{j\omega L}$$

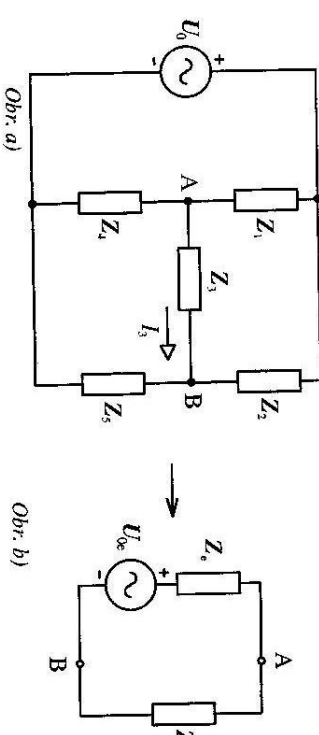
5.46 Průtok nezatíženého Nortonova zdroje je $i_{0e} = 1,2 \sin \omega t$ A, při zatížení rezistorem $R = 150 \Omega$ je průtok $i(t) = 0,6 \cos(\omega t + 45^\circ)$ A, vypočte hodnotu ekvivalentní admittance Y_e

$$Y_e = 9,82 \cdot 10^{-3} \angle -73,65^\circ \text{ S}$$

5.47 Pro obvod podle obr. a) stanovte s užitím Théveninovy věty hodnoty prvků ekvivalentního obvodu (tj. U_{0e} , Z_e), obr. b).



5.48 Pro obvod podle obr.a) stanovte s užitím Théveninovy věty hodnoty prvků ekvivalentního obvodu (tj. U_{0e} , Z_e), obr. b).



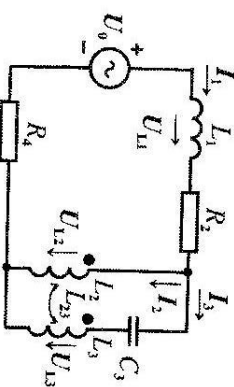
$$U_{0e} = \frac{U_0}{Z_2 + Z_5} Z_2 - \frac{U_0}{Z_1 + Z_4} Z_1$$

$$Z_e = \frac{Z_1 Z_4}{Z_1 + Z_4} + \frac{Z_2 Z_5}{Z_2 + Z_5}$$

5.49 Napětí nezatíženého Théveninova zdroje je $u_{0e} = 10 \sin 1000t$ V, vypočte u_e při zatížení kapacitorem $C = 100 \mu\text{F}$, je-li $Z_e = 3 \angle 30^\circ \Omega$.

$$u_e = 11,25 \sin(1000t - 16,95^\circ) \text{ V}$$

5.50 Pro daný obvod vyjádřete napětí na indukčnostech L_1 , L_2 a L_3 pomocí větvových proudů

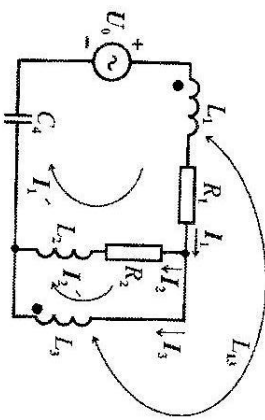


$$U_{L1} = j\omega L_1 I_1$$

$$U_{L2} = j\omega L_2 I_2 + j\omega L_{23} I_3$$

$$U_{L3} = j\omega L_3 I_3 + j\omega L_{23} I_2$$

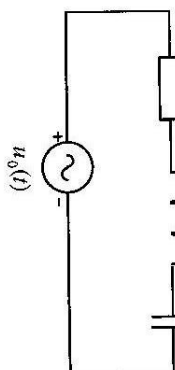
5.51 Pro daný obvod formulujte rovnice pro smyčkové proudy.



Rezonance

5.52 V obvodu dle obrázku stanovte napětí na kapacitě a rezonanční frekvenci ω , je-li napětí na indukčnosti $u_L = 160 \sin(\omega t + 30^\circ)$ V.

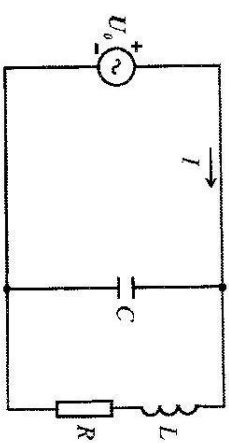
$$R = 1 \Omega \quad L = 0,1 \text{ H} \quad C = 1 \mu\text{F}$$



$$u_C = 160 \sin(\omega t - 150^\circ) \text{ V}$$

$$\omega = 3163 \text{ s}^{-1}$$

5.53 V obvodu podle obrázku stanovte hodnotu kapacitoru tak, aby zdroj dodával do obvodu pouze činný výkon. Znění-li se kmitočet zdroje, bude nutno změnit též tu kapacitu?



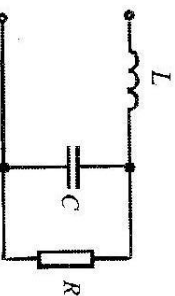
$$C = \frac{L}{R^2 + \omega^2 L^2};$$

ano, neboť $C = C(\omega)$

5.54 Vypočte frekvenci, pro kterou je obvod z předchozího příkladu v rezonančním stavu. Dánou: $L = 1 \text{ mH}$, $C = 10 \mu\text{F}$, $R = 1 \Omega$

$$\omega_r = 9,95 \cdot 10^3 \text{ s}^{-1}$$

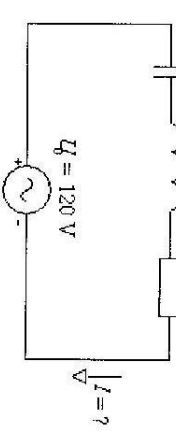
5.55 V obvodu je dánou $R = 10 \Omega$, $C = 10 \mu\text{F}$, a $\omega = 10^4 \text{ s}^{-1}$, vypočte hodnotu indukčnosti L tak, aby vstupní napětí a proud byly ve fázi.



$$L = \frac{R^2 C}{1 + (\omega R C)^2} = 0,5 \text{ mH}$$

5.56 Stanovte efektivní hodnotu proudu v obvodu.

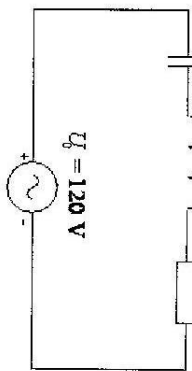
$$X_C = -200 \Omega, X_L = 200 \Omega, R = 20 \Omega$$



$$I = 6 \text{ A}; \text{obvod je v rezonanci}$$

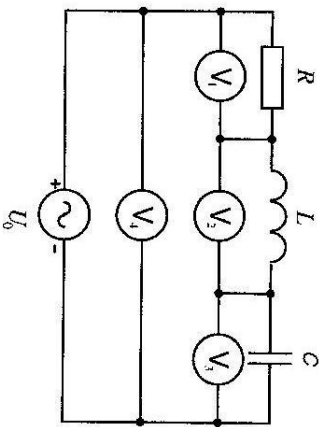
5.57 Jaká je efektivní hodnota napětí na rezistoru?

$$X_C = -600 \Omega, X_L = 600 \Omega, R = 60 \Omega$$



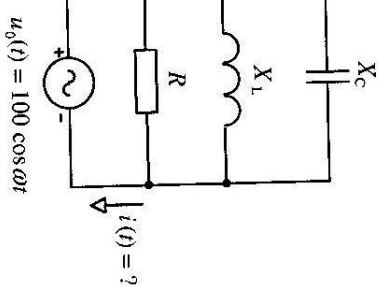
$$U_R = 120 \text{ V}; \text{obvod je v rezonanci}$$

5.58 V obvodu podle obrázku ukazují všechny čtyři voltmetry $U = 120 \text{ V}$. Vyjádřete komplexní efektivní hodnotu napětí na kapacitoru, jestliže fáze napětí U_R je -30° .



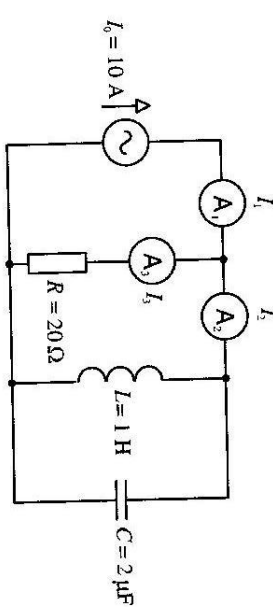
$$U_C = 120 e^{-j120^\circ}, \text{obvod je v rezonanci}$$

5.59 V obvodu podle obrázku je efektivní hodnota napětí zdroje 100 V ; jalový výkon zdroje je nulový. Stanovte údaje ampermétru a voltmetu.



$$i = 100 \cos \omega t; \text{obvod je v rezonanci}$$

5.60 Obvod podle obrázku je napájen zdrojem proudu o efektivní hodnotě 10 A . Jalový výkon dodávaný zdrojem do obvodu je nulový. Stanovte údaje všech ampérmetrů.

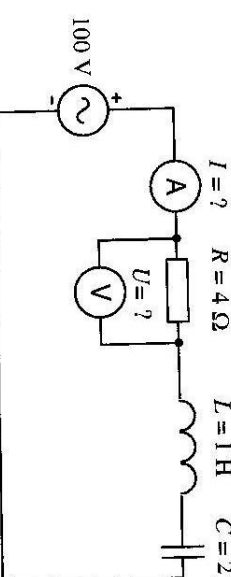


$$\begin{aligned} I_1 &= 10 \text{ A}, \\ I_2 &= 0 \text{ A}, \\ I_3 &= 10 \text{ A} \end{aligned}$$

5.61 V obvodu podle obrázku je $R = X_L = |X_C| = 1 \Omega$. Stanovte časový průběh proudu $i = i(t)$.

$$u_o(t) = 100 \cos \omega t$$

$$\begin{aligned} i(t) &= ? \end{aligned}$$



$$i = 100 \cos \omega t; \text{obvod je v rezonanci}$$

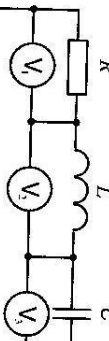
5.62 Při jaké úhlové frekvenci ω protéká větví obvodu podle obrázku proud $I = 1 \text{ A}$ (ef. hodnota)?

$$R = 100 \Omega \quad L = 2 \text{ H} \quad C = 50 \mu\text{F}$$

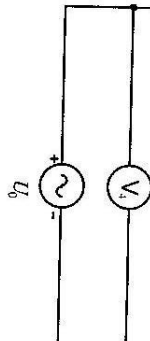


$$U_0(t) = 141 \sin \omega t$$

5.63 Výjádřete nutnou a postačující podmíinku, aby údaj všech čtyř voltmeterů byl stejný.

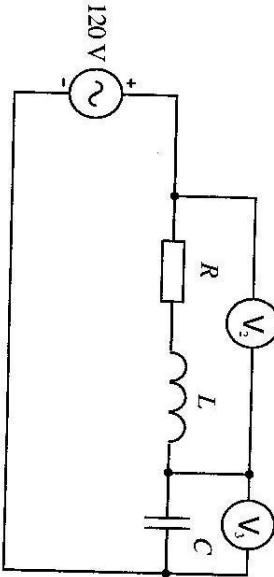


$$R = \omega L = \frac{1}{\omega C}; \text{ obvod je v rezonanci}$$



5.64 V obvodu podle obrázku je efektivní hodnota napětí zdroje 120 V . Stanovte efektivní hodnotu napětí voltmetu V_2 , jestliže obvod je v rezonanci.

$$U_3 = 160 \text{ V}$$

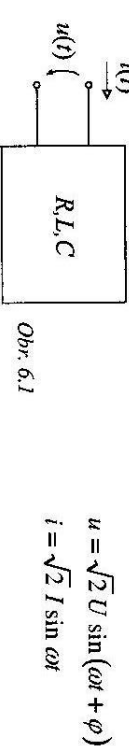


$$U_2 = ?$$

6. VÝKONY V HARMONICKÉM USTÁLENÉM STAVU

6.1. ZÁKLADNÍ VZTAHY

Pro pasivní lineární dvojpól na obr. 6.1 s napětím $u(t)$ a proudem $i(t)$ na vstupních svorkách definujeme *okamžitý, činný, jalový a zdánlivý výkon* – obr. 6.2.



$$u = \sqrt{2} U \sin(\omega t + \varphi) \\ i = \sqrt{2} I \sin \omega t$$

Obr. 6.1

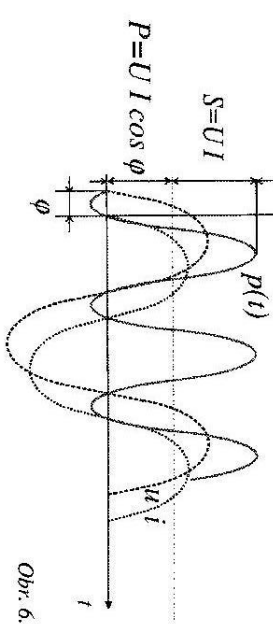
Okamžitý výkon:

$$p(t) = u(t)i(t) = UI \cos \varphi - UI \cos(2\omega t + \varphi) = \\ UI \cos \varphi (1 - \cos 2\omega t) + UI \sin \varphi \sin 2\omega t = p_C(t) + p_J(t) \quad (6.1)$$

Činný výkon (střední hodnota okamžitého výkonu):

$$P = \frac{1}{T} \int_0^T p(t) dt = UI \cos \varphi \quad (6.2)$$

$$u, i, p$$



Obr. 6.2

Jalový výkon (amplituda okamžitého jalového výkonu p_J):

$$Q = UI \sin \varphi \quad (6.3)$$

Zdánlivý výkon (amplituda okamžitého výkonu $p(t)$):

$$S = UI \quad (6.4)$$

Komplexní výkon:

$$S = UI^*; \quad P = \operatorname{Re}\{S\}, \quad Q = \operatorname{Im}\{S\}, \quad S = |S| \quad (6.5)$$

Pomocí komplexní impedance Z lze určit komplexní výkon ze vztahu

$$S = UI^* = ZI^*J^*, \quad \text{odtud} \quad P = \operatorname{Re}\{Z\}J^2 \quad Q = \operatorname{Im}\{Z\}J^2 \quad (6.6)$$

Trojúhelník výkonů:



$$S^2 = P^2 + Q^2$$

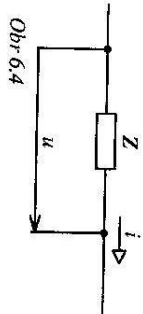
$$\begin{aligned} I &= \frac{U_0}{Z} = \frac{100}{\sqrt{2}} \angle 30^\circ \\ &= 3,92 \angle 63,69^\circ \text{ A} \end{aligned}$$

a dosadíme do vztahu pro komplexní výkon

$$\begin{aligned} S &= UI^* = \frac{100}{\sqrt{2}} \angle 30^\circ \cdot 3,92 \angle -63,69^\circ = 277,19 \angle -33,69^\circ = 230,64 - j153,76 \\ P &= \operatorname{Re}\{S\} = 230,64 \text{ W} \quad Q = \operatorname{Im}\{S\} = -153,76 \text{ VAr} \end{aligned}$$

Obr. 6.3

Příklad VI-1: Určete činný a jalový výkon odebíraný dvojpolem, je-li okamžitá hodnota napětí na dvojpolu $u(t) = 100 \sin(1000t + 30^\circ)$ V a protéká jím proud $i(t) = 5 \sin(1000t + 60^\circ)$ A.



Rешení:

a) **výpočet ze vzorce pro P, Q**
(dosazujeme efektivní hodnoty)

$$P = UI \cos \varphi = \frac{100}{\sqrt{2}} \frac{5}{\sqrt{2}} \cos(-30^\circ) = 216,51 \text{ W}$$

$$Q = UI \sin \varphi = \frac{100}{\sqrt{2}} \frac{5}{\sqrt{2}} \sin(-30^\circ) = -125 \text{ VAr}$$

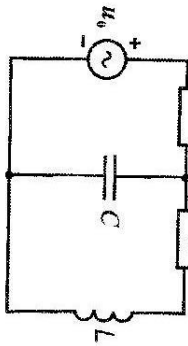
Jalový výkon je záporný (má kapacitní charakter), neboť proud předběhá napětí.

b) **výpočet pomocí komplexního výkonu**

$$S = UI^* = \frac{100}{\sqrt{2}} \angle 30^\circ \frac{5}{\sqrt{2}} \angle -60^\circ = 250 \angle -30^\circ = 216,51 - j125$$

$$P = \operatorname{Re}\{S\} = 216,51 \text{ W} \quad Q = \operatorname{Im}\{S\} = -125 \text{ VAr}$$

Příklad VI-2: Určete činný a jalový výkon dodaný zdrojem do obvodu, napětí zdroje je $u_0(t) = 100 \sin(\omega t + 30^\circ)$ V, $\omega = 1000 \text{ s}^{-1}$, $R_1 = 5 \Omega$, $R_2 = 10 \Omega$, $L = 10 \text{ mH}$, $C = 100 \mu\text{F}$



Rешení:

a) **výpočet pomocí komplexního výkonu:**
vypočteme celkovou impedanci

$$Z = R_1 + \frac{1}{j\omega C} (R_2 + j\omega L)$$

$$= 18,3 \angle -33,69^\circ \Omega$$

vyjádříme faktor efektivní hodnoty proudu

$$\frac{100}{\sqrt{2}} \angle 30^\circ$$

$$\begin{aligned} I &= \frac{U_0}{Z} = \frac{100}{\sqrt{2} \angle 30^\circ} = 3,92 \angle 63,69^\circ \text{ A} \\ &\text{a dosadíme do vztahu pro komplexní výkon} \\ S &= UI^* = \frac{100}{\sqrt{2}} \angle 30^\circ \cdot 3,92 \angle -63,69^\circ = 277,19 \angle -33,69^\circ = 230,64 - j153,76 \end{aligned}$$

$$P = \operatorname{Re}\{S\} = 230,64 \text{ W}$$

$$Q = \operatorname{Im}\{S\} = -153,76 \text{ VAr}$$

b) **výpočet ze vzorce pro P a Q :**

fázový posuv mezi napětím a proudem je dán úhlem impedance φ , takže

$$P = UI \cos \varphi = \frac{100}{\sqrt{2}} 3,92 \cos(-33,69^\circ) = 230,64 \text{ W}$$

$$Q = UI \sin \varphi = \frac{100}{\sqrt{2}} 3,92 \sin(-33,69^\circ) = -153,76 \text{ VAr}$$

6.2 PŘÍKLADY K PROCVIČENÍ

6.1 Jaký je vztah mezi jalovým (Q) a zdánlivým výkonom (S)?

$$Q = S \sin \varphi$$

6.2 Činný a jalový výkon jsou $P = 300 \text{ W}$, $Q = 400 \text{ VAr}$. Stanovte zdánlivý výkon.

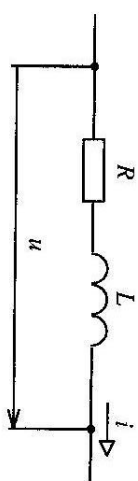
$$S = 500 \text{ VA}$$

6.3 Větví obvodu protéká proud $i = 8 \sin\left(\omega t + \frac{\pi}{6}\right)$ A při napětí

$$u = 120 \sin\left(\omega t - \frac{\pi}{6}\right) \text{ V}. \text{ Stanovte činný a jalový výkon.}$$

$$P = 240 \text{ W}, Q = -415,7 \text{ VAr}$$

6.4 Stanovte činný a jalový výkon větve podle obrázku, jestliže $R=10\Omega$, $L=0,01H$,
 $i=2\sqrt{2}\sin(618t+50^\circ)A$



6.5 Určete komplexní impedanci dvojpólu.

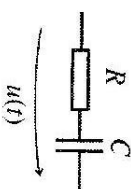
Dáno: $U=200V$, $P=500W$,

$Q=500VAr$ (kap.)

$$Z = 56,56 \angle -45^\circ \Omega$$

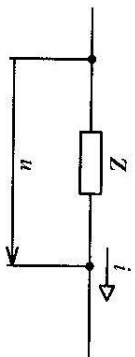
$$P = 40W, Q = 98,88VAr$$

6.6 Určete činný a jalový výkon dodaný do dvojpólu, je-li $u(t)=100\sin\omega t$ V,
 $\omega=1000 s^{-1}$, $R=10\Omega$, $C=100\mu F$.



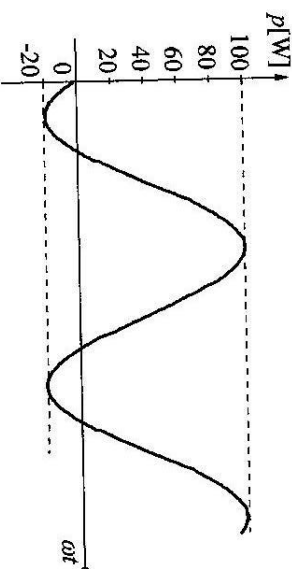
$$P = 250W, Q = -250VAr$$

6.7 Stanovte činný a jalový výkon větve obvodu podle obrázku, jestliže
 $u=10\sqrt{2}\sin(314t+30^\circ)V$, $i=2\sqrt{2}\sin(314t-60^\circ)A$.



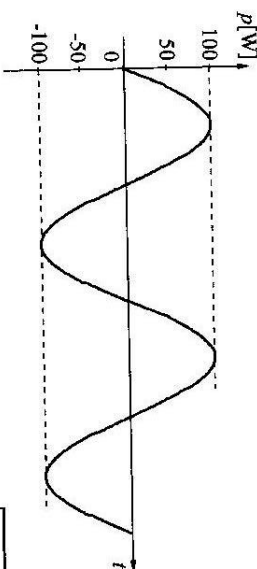
$$P = 0W, Q = 20VAr$$

6.12 Na obrázku je zakreslen časový průběh okamžitého výkonu p na zátěži,
 $p=p(t)$. Stanovte činný, jalový a zdánlivý výkon.



$$P = 40W$$

6.11 Na obrázku je znázorněn průběh okamžitého výkonu v závislosti na čase,
 $p=p(t)$. Stanovte činný, jalový a zdánlivý výkon.



$$P = 0W, Q = S = 100VA$$

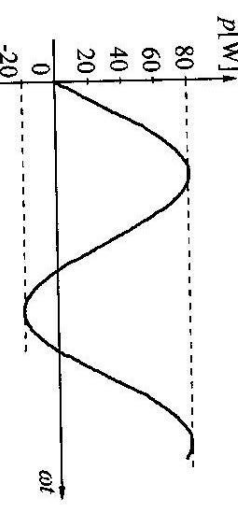
6.8 V obvodu známe časový průběh napětí zdroje $u_0(t)=100\sin\omega t$ V a fázor
efektivní hodnoty proudu zdroje $I=4\angle 45^\circ A$. Určete činný a jalový výkon,
který dodává zdroj do obvodu.

$$P = 200 W, Q = -200 VAr$$

6.9 Amplituda harmonického proudu tekoucího odporem $R=100\Omega$ je 10 mA.
Jaký je činný výkon dodaný do rezistoru?

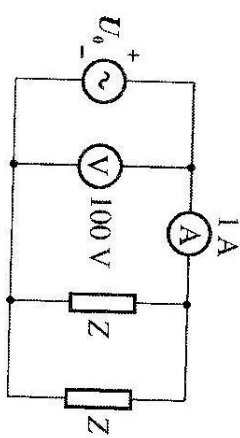
$$P = 5 mW$$

6.10 Na obrázku je zakreslen časový průběh okamžitého výkonu p na zátěži.
Stanovte činný výkon P na zátěži.



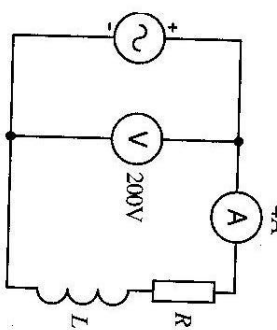
$$\cos\varphi = \frac{P}{S} = \frac{30}{50} = 0,6$$

6.13 V obvodu podle obrázku je $Z = R + jX \Omega$, přičemž $R = X$; bylo zjištěno napětí $U = 100 \text{ V}$ a proud $I = 1 \text{ A}$ (efektivní hodnoty). Stanovte činný výkon zdroje.



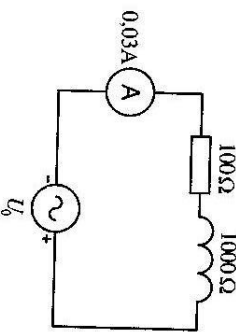
$$P = 100 \cos 45^\circ = 70,7 \text{ W}$$

6.14 Z daných údajů ampérmetru a voltmetru v obvodu podle obrázku stanovte hodnotu odporu R a činný výkon zdroje P , jestliže $\omega L = 30 \Omega$.



$$R = 40 \Omega, P = 640 \text{ W}$$

6.15 V obvodu s induktivní reaktancí $X_L = 1000 \Omega$ a ohmickým odporem $R = 100 \Omega$ protéká proud $I = 0,03 \text{ A}$. Stanovte činný výkon dodaný do obvodu.

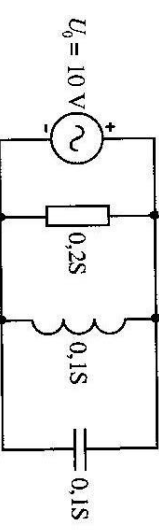


$$P = 90 \text{ mW}$$

6.16 Spotřebičem o impedanci $Z = 4 + j3 \Omega$ protéká proud $i(t) = 10\sin(\omega t + 30^\circ) \text{ A}$, určete činný a jalový výkon, který spotřebicí odebírá.

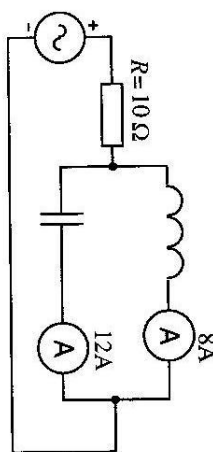
$$P = 200 \text{ W}, Q = 150 \text{ VAr}$$

6.17 Efektivní hodnota napětí zdroje v obvodu podle obrázku je $U_0 = 10 \text{ V}$. Admitance jednotlivých větví jsou uvedeny na schématu. Stanovte zdánlivý činný a jalový výkon zdroje.



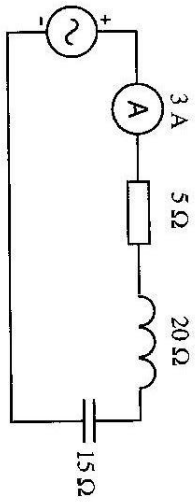
$$S = P = 20 \text{ W}, Q = 0 \text{ VAr}$$

6.18 Stanovte činný výkon dodávaný zdrojem do obvodu.



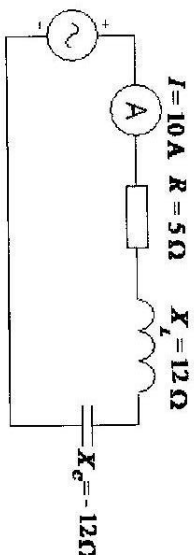
$$P = 160 \text{ W}$$

6.19 Stanovte jalový výkon zdroje v obvodu podle obrázku.



$$Q = 45 \text{ VAr}$$

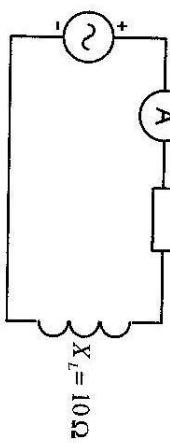
6.20 Stanovte jalový výkon zdroje v obvodu podle obrázku.



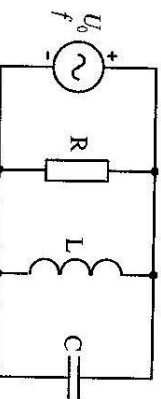
$$Q = 0 \text{ VAr}$$

6.21 Stanovte jalový výkon zdroje v obvodu podle obrázku.

$$I = 5 \text{ A} \quad R = 20 \Omega$$



6.22 Obvod je napájen zdrojem o efektivní hodnotě napětí $U_0 = 100 \text{ V}$ a frekvenci $f = 50 \text{ Hz}$. Činný výkon na odporu je $P_R = 100 \text{ W}$, jalový výkon na indukčnosti $Q_L = 200 \text{ VAr}$ a na kapacitě $Q_C = 400 \text{ VAr}$. Jak se změní tyto výkony, zvětší-li se napěť zdroje na $U'_0 = 200 \text{ V}$ a frekvence na $f' = 100 \text{ Hz}$?

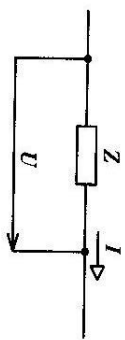


6.23 Komplexní výkon je $S = 200e^{j30^\circ}$. Stanovte činný výkon.

$$\boxed{P' = 400 \text{ W}, Q'_L = 400 \text{ VAr}, Q'_C = 3200 \text{ VAr}}$$

$$\boxed{P = 173 \text{ W}}$$

6.24 Impedancí protéká proud, jehož fázor efektivní hodnoty je $I = 2e^{j10^\circ} \text{ A}$ a na svorkách impedance je napětí, jehož fázor efektivní hodnoty je $U = 200e^{j40^\circ} \text{ V}$. Stanovte komplexní, činný, jalový a zdánlivý výkon.



$$\boxed{S = 400e^{-j60^\circ} \text{ VA}, P = 200 \text{ W}, Q = 400 \frac{\sqrt{3}}{2} = 346,4 \text{ VAr}, S = 400 \text{ VA}}$$

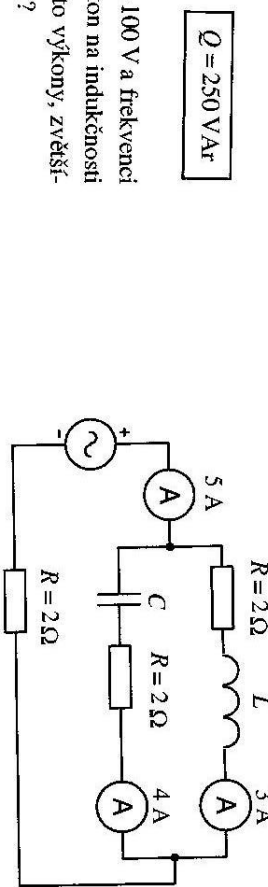
6.25 Větví obvodu protéká proud (komplexní efektivní hodnota) $I = (1 - j) \text{ A}$ při napětí na větví $U = (10 - j2) \text{ V}$. Stanovte komplexní výkon větve.

$$\boxed{S = (12 + 8j) \text{ VA}}$$

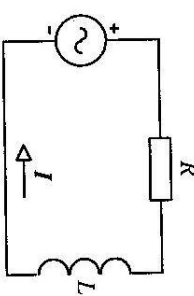
6.26 Komplexní výkon je $S = 100e^{j30^\circ} \text{ VA}$. Stanovte jalový výkon.

$$\boxed{Q = 50 \text{ VAr}}$$

6.27 Stanovte činný výkon dodávaný zdrojem do obvodu

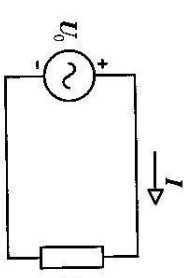


6.28 Určete hodnotu odporu R , jestliže činný výkon dodávaný zdrojem je 500 W a komplexní efektivní hodnota proudu je $I = (3 - j4) \text{ A}$.



$$\boxed{R = 20 \Omega}$$

6.29 Určete jalový výkon zdroje, jestliže $U_0 = 100e^{j0^\circ} \text{ V}$, $I = 10e^{j\frac{\pi}{6}} \text{ A}$. (U_0, I jsou komplexní efektivní hodnoty).



$$\boxed{Q = -500 \text{ VAr}}$$

6.30 Prvky obvodu mají tyto hodnoty: $R_1 = 35 \Omega$, $R_2 = 65 \Omega$, $L = 1 \text{ H}$, $C = 10 \mu\text{F}$. Stanovte činný výkon, dodávaný zdrojem do obvodu, jestliže komplexní efektivní hodnota proudu je $I = (3 + j4) \text{ A}$.

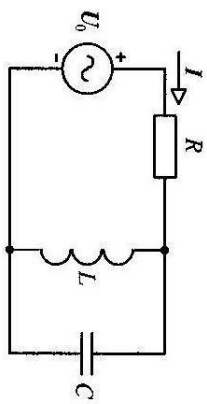
7. TROJFÁZOVÉ OBVODY

7.1. ZÁKLADNÍ VZTAHY

S trojfázovými obvody se setkáváme zejména v siloproudých aplikacích. Pro jejich řešení lze užit libovolnou ze známých metod pro analýzu obvodů. Řešení harmonického ustáleného stavu lze podstatně zjednodušit, přihlédneme-li k nasledujícím skutečnostem:

$$P = 2,5 \text{ kW}$$

6.31 Prvky obvodu mají tyto hodnoty: $R = 100 \Omega$, $L = 1 \text{ H}$, $C = 1 \mu\text{F}$. Stanovte činný výkon dodávaný zdrojem do obvodu, jestliže komplexní efektivní hodnota proudu je $I = (6 - j8) \text{ A}$.



$$P = 10 \text{ kW}$$

$$\mathbf{a} = e^{\frac{j2\pi}{3}} = -\frac{1}{2} + j\frac{\sqrt{3}}{2}, \quad \mathbf{a}^2 = e^{\frac{j4\pi}{3}} = -\frac{1}{2} - j\frac{\sqrt{3}}{2} \Rightarrow 1 + \mathbf{a} + \mathbf{a}^2 = 0 \quad (7.2)$$

V souměrné soustavě platí

$$u_U(t) + u_V(t) + u_W(t) = 0, \quad U_U + U_V + U_W = 0 \quad (7.3)$$

Soustava s nulovým součtem napětí je **využívána**. Analogické vztahy lze napsat i pro okamžité hodnoty proudů resp. pro jejich fázory.

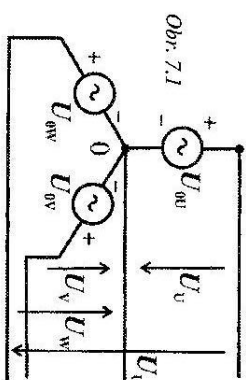
Nesouměrná trojfázová soustava napětí – napětí má různé amplitudy a libovolný fázový posun

$$\begin{aligned} u_U &= \sqrt{2} U_U \sin(\omega t + \varphi_U) \\ u_V &= \sqrt{2} U_V \sin(\omega t + \varphi_V) \quad u_U(t) + u_V(t) + u_W(t) \neq 0 \\ u_W &= \sqrt{2} U_W \sin(\omega t + \varphi_W) \end{aligned} \quad (7.4)$$

Nesouměrná soustava fázových napětí není využívána, pro sduzená napětí vyvážená je.

Spojování zdrojů

a) Symetrický napěťový zdroj v zapojení do hvězdy s vypadeným nulovým vodičem



Fázový diagram:

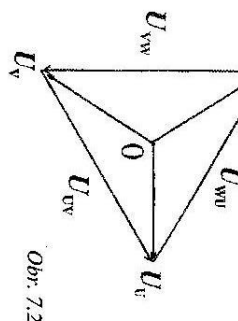
$$U_{uv} = U_u - U_v = U_u(1 - \mathbf{a}) = \sqrt{3}U_u \angle -30^\circ$$

$$U_{vw} = U_v - U_w = U_u(\mathbf{a}^2 - \mathbf{a}) = \sqrt{3}U_u \angle -90^\circ$$

$$U_{wu} = U_w - U_u = U_u(\mathbf{a} - \mathbf{a}^2) = \sqrt{3}U_u \angle 150^\circ$$

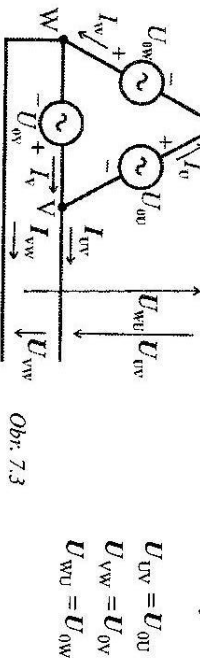
Pro efektivní hodnoty platí:

$$U_s = \sqrt{3}U_f$$



b) Symetrický napěťový zdroj zapojený do trojúhelníka

Napětí mezi vodiči jsou sduzená:



Proud ve vodičích sítě nazýváme **sduzené**, lze je vyjádřit z proudů ve fázích zdroje:

$$I_{uv} = I_v - I_u$$

$$I_{vw} = I_w - I_v$$

$$I_{wu} = I_u - I_w$$

pro efektivní hodnoty proudů platí:

$$I_s = \sqrt{3}I_f$$

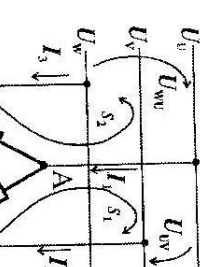
I_f je hodnota proudu ve fázích zdroje

Príklad VII-I: Symetrický spotřebič o impedanci jedné fáze $Z = j50 \Omega$ je napojen do trojúhelníka a připojen na síť 230/400 V. Stanovit proudy I_1, I_2, I_3 .

Rешені:

Pro smyčku s1 platí:

$$-I_1 Z + U_{uv} = 0$$



$$I_1 = \frac{U_u - U_v}{Z} = \frac{230 \angle 0^\circ - 230 \angle -120^\circ}{50j} = \frac{400 \angle 30^\circ}{50j} = 8 \angle -60^\circ$$

Pro smyčku s2 platí:

$$I_w Z - U_{wu} = 0 \quad I_w = 8 \angle 60^\circ$$

Pro uzel A platí:

$$-I_1 + I_2 - I_w = 0$$

$$I_1 = 8 \angle -60^\circ - 8 \angle 60^\circ = -j8\sqrt{3} = 8\sqrt{3} \angle -90^\circ A$$

$$I_2 = 8\sqrt{3} \angle 150^\circ A \quad I_3 = 8\sqrt{3} \angle 30^\circ A$$

V souměrné soustavě zpravidla počítáme pouze s velikostmi fázorů

$$I_f = \frac{U_s}{Z} = \frac{400}{50} = 8 A \quad I_s = \sqrt{3}I_f = 8\sqrt{3} A$$

Pro určení fázového posunu je nutno stanovit pevnou polohu jednoho fázoru (U_u položíme do reálné osy), zbyvající hodnoty odečteme z fázového diagramu.

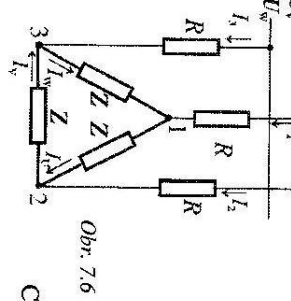


Příklad VII-2: Symetrická záťž o impedanci v jedné fázi $Z = j30 \Omega$ je zapojena do trojúhelníka, odpór přívodních vodičů je $R = 10 \Omega$, vypočte proudy v přívodních vodičích, je-li sduzené napětí sítě $400 V$.

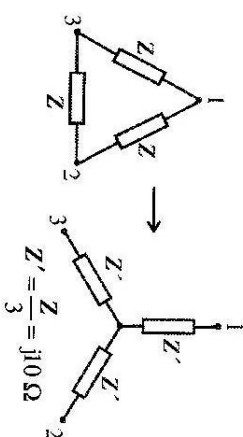
Řešení:

Provedeme transfiguraci spotřebiče a vypočteme celkovou impedanci jedné fáze spotřebiče v zapojení do hvězdy

$$\frac{U_{0U} - U_N}{Z_U} + \frac{U_{0V} - U_N}{Z_V} + \frac{U_{0W} - U_N}{Z_W} = \frac{U_N}{Z_N}$$



Obr. 7.6



Celková impedance je $Z_1 = 10 + j10 = 10\sqrt{2}\angle 45^\circ$

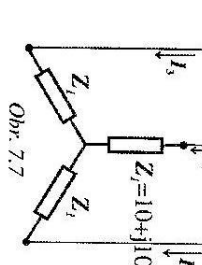
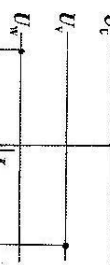
Vypočteme proud I_1 ve fázi U a z něj pak proudy I_2, I_3

$$U_1 = U_1 \angle 0^\circ = 230 \angle 0^\circ V$$

$$I_1 = \frac{U_1}{Z_1} = \frac{230 \angle 0^\circ}{10\sqrt{2}\angle 45^\circ} = \frac{23}{\sqrt{2}} \angle -45^\circ A$$

$$I_2 = I_1 \angle -120^\circ = \frac{23}{\sqrt{2}} \angle -165^\circ A$$

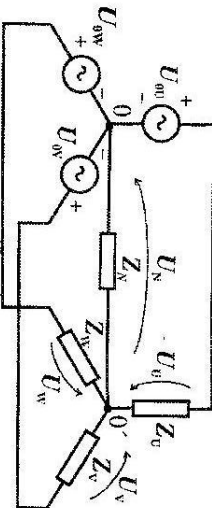
$$I_3 = I_1 \angle 120^\circ = \frac{23}{\sqrt{2}} \angle 75^\circ A$$



Obr. 7.6

Obr. 7.7

Příklad VII-3: V nesouměrné trojúhlové soustavě jsou dána fázová napětí zdroje U_{0U}, U_{0V}, U_{0W} a impedance spotřebiče Z_u, Z_v, Z_w . Určete napětí mezi nulovým bodem zdroje a spotřebičem, je-li impedance nulového vodiče Z_N .



Obr. 7.8

Řešení:

Použijeme metodu uzlových napětí, zvolíme jako uzlové napětí U_N . Napětí na fázích spotřebiče pak vyjádříme :

$$U_U = U_{0U} - U_N \quad U_V = U_{0V} - U_N \quad U_W = U_{0W} - U_N$$

Aplikací 1. Kirchhoffova zákona na uzel O' dostaneme :

$$\frac{U_{0U} - U_N}{Z_U} + \frac{U_{0V} - U_N}{Z_V} + \frac{U_{0W} - U_N}{Z_W} = \frac{U_N}{Z_N}$$

Vypočteme U_N , impedance nahradíme admittancí $Y = \frac{1}{Z}$

$$U_N = \frac{U_{0U} Y_U + U_{0V} Y_V + U_{0W} Y_W}{Y_U + Y_V + Y_W + Y_N} \quad (7.5)$$

Fázové proudy vypočteme z fázových napětí:

$$I_U = \frac{U_U}{Z_U} = \frac{U_{0U} - U_N}{Z_U} \quad I_V = \frac{U_{0V} - U_N}{Z_V} \quad I_W = \frac{U_{0W} - U_N}{Z_W}$$

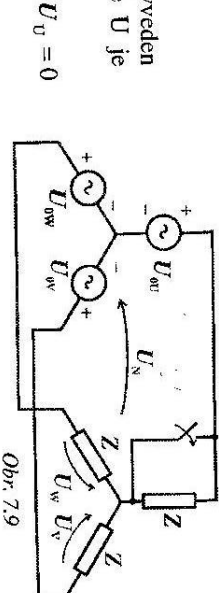
Pro proud v nulovém vodiči platí: $I_N = \frac{U_N}{Z_N} = I_U + I_V + I_W$

Z rov.(7.5) pro napětí U_N plyne:

1. V soustavě symetrický zdroj – symetrická záťž je $U_N = 0$, napětí na fázích spotřebiče je rovno napěti zdroje $U_U = U_{0U}$, **obvod řešíme jako jednofázový**.
2. V nesymetrické soustavě závisí velikost U_N na způsobu propojení nulového bodu zdroje a spotřebiče.

- a) $Z_N = 0$ (dokonale vodič $Y_N \rightarrow \infty$), $U_N = 0$, na fázích spotřebiče je napětí zdroje, proud $I_N = I_U + I_V + I_W$
- b) $Z_N \neq 0$ (viz řešení **příkladu VII-3**)
- c) $Z_N \rightarrow \infty$ (nulový vodič není využit nebo došlo k jeho přerušení), U_N je maximální, vliv nesymetrie se projeví nejvýrazněji

Příklad VII-4: V souměrné trojúhlové soustavě v zapojení hvězda-hvězda vznikne na fázi U zkrot (jednopólové zemní spojení), stanovte napětí na fázích spotřebiče a nakreslete fázorový diagram.



Obr. 7.9

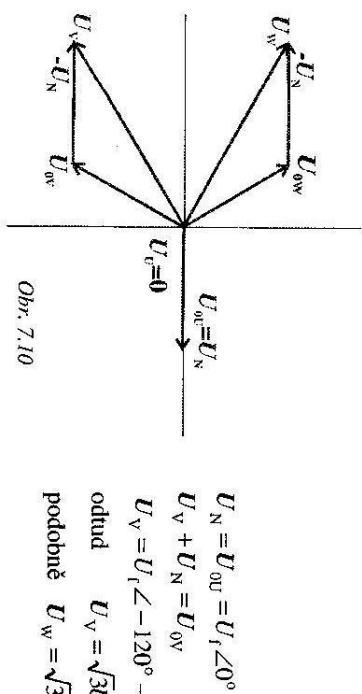
Řešení:
Jelikož není využit nulový vodič a fáze U je zkratována, platí

$$Y_U \rightarrow \infty, \quad Y_N = 0, \quad U_U = 0$$

Z rov.(7.5) vypočteme U_N a poté určíme napětí na fázích V a W

$$U_V = U_{0V} - U_N = U_{0U} \angle -120^\circ + \frac{U_{0U}}{2} = U_{0U} \frac{\sqrt{3}}{2} \angle -90^\circ$$

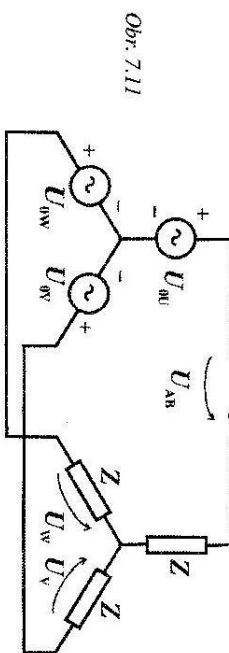
$$U_W = U_{0W} - U_N = U_{0U} \angle +120^\circ + \frac{U_{0U}}{2} = U_{0U} \frac{\sqrt{3}}{2} \angle 90^\circ$$



Obr. 7.10

Z fázorového diagramu (obr.7.10) je patrné, že na nepoštižených fázích je napětí sduřené.

Příklad VII.5 : V souměrné trojfázové soustavě dojde k přenášení fáze U, stanovte napětí na fázích spotřebiče a napětí na přenášení U_{AB} . Nakreslete fázorový diagram.

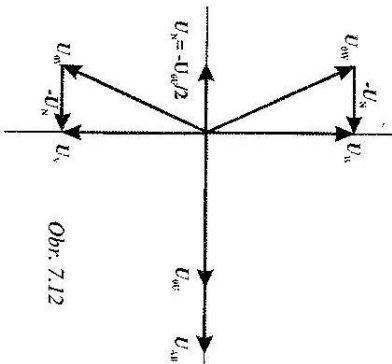


Obr. 7.11

Řešení:
Vypočteme napětí U_N ze vztahu (7.5) s přihlédnutím k $Y_U = 0$, $Y_N = 0$ a dostaneme

$$U_N = \frac{U_{0V}Y_V + U_{0W}Y_W}{Y_V + Y_W} = \\ = \frac{U_{0V} + U_{0W}}{2} = \frac{U_0U}{2}$$

Z napětí U_N vypočteme fázová napětí U_V, U_W a napětí na přenášení fázi U_{AB}



Obr. 7.12

$$\begin{aligned} U_N &= U_{0U} = U_f \angle 0^\circ \\ U_V + U_N &= U_{0V} \\ U_V &= U_f \angle -120^\circ - U_f \angle 0^\circ \\ \text{odtud} \quad U_V &= \sqrt{3}U_f \angle -150^\circ, \\ \text{podobně} \quad U_W &= \sqrt{3}U_f \angle 150^\circ \end{aligned}$$

7.2. VÝKONY V TROJFÁZOVĚ SOUSTAVĚ
Nesouměrná trojfázová soustava: činný, jalový i zdánlivý výkon je dán součtem výkonů ve všech fázích

$$P = U_U I_U \cos \varphi_U + U_V I_V \cos \varphi_V + U_W I_W \cos \varphi_W$$

$$Q = U_U I_U \sin \varphi_U + U_V I_V \sin \varphi_V + U_W I_W \sin \varphi_W \quad (7.6)$$

Souměrná trojfázová soustava: výkon lze počítat buď z hodnot fázových napětí a proudu (U_f, I_f) nebo z hodnot sduřených (změněných ve vodičích sítě), úhlu φ vyjadřuje fázový posun mezi U_f a I_f a závisí na impedanci zátěže

$$\begin{aligned} P &= 3U_f I_f \cos \varphi = \sqrt{3}U_f I_f \cos \varphi \quad Q = 3U_f I_f \sin \varphi = \sqrt{3}U_f I_f \sin \varphi \\ S &= 3U_f I_f = \sqrt{3}U_f I \end{aligned} \quad (7.7)$$

- spotřebič zapojený do hvězdy: $U = \sqrt{3}U_f, I = I_f$
- spotřebič zapojený do trojúhelníka: $I = \sqrt{3}I_f, U = U_f$

Příklad VII.6 : Symetrický spotřebič má impedanci jedné fáze $Z = 50\angle 60^\circ \Omega$ a je připojen k symetrické trojfázové soustavě napětí s efektivní hodnotou fázového napětí $U_f = 500V$. Vypočete velikost fázového proudu, proudu sduřeného a odebíraný činný výkon pro zapojení spotřebiče:
a) do hvězdy, b) do trojúhelníka

Řešení:

a) zapojení do hvězdy

$$I = I_f = \frac{U_f}{Z} = 10A, \quad P = 3U_f I_f \cos \varphi = 3.500.10.\cos 60^\circ = 7500W$$

b) zapojení do trojúhelníka

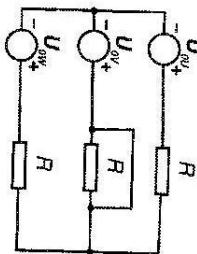
$$I_f = \frac{\sqrt{3}U_f}{Z} = 17,32A \quad I = \sqrt{3}I_f = 30A$$

Činný výkon je $P = \sqrt{3}U_f I \cos \varphi = \sqrt{3}.\sqrt{3}.500.30.\cos 60^\circ = 22500W$

Při zapojení do trojúhelníka je fázový proud $\sqrt{3}$ -krát větší, sduřený proud a činný výkon je větší 3-kрат. (využívá se při rozběhu asynchronních motorů, přepnutím vinutí z hvězdy na trojúhelník se postupně zvyšuje oddebíraný proud i výkon).

7.3. PŘÍKLDY K PROCVIČENÍ

Z.1 Trojfázový symetrický zdroj napětí ($U_{\text{ou}} = 230 \text{ V}$) napájí souměrnou záťez tvořenou rezistory $R = 100 \Omega$. Určete napětí mezi nulovými body U_N a napětí na fázích spotřebiče, dojde-li ke zkratu ve fázi V.



$$\boxed{\begin{aligned} U_N &= U_{Nv} = 230 \angle -120^\circ \text{ V} \\ U_U &= 230\sqrt{3} \angle 30^\circ \text{ V} \\ U_W &= 230\sqrt{3} \angle 90^\circ \text{ V} \end{aligned}}$$

Z.2 Symetrický spotřebič zapojený do hvězdy odebírá ze symetrického zdroje napětí celkový zdánlivý výkon 40 kVA při účinku $\cos \varphi = 0,9$ (efektivní hodnota sduřeného napětí je 480 V). Stanovte impedanci spotřebiče v každé fázi a vypočtěte fazory proudu v každé fázi.

$$\boxed{\begin{aligned} Z &= 5,76 \angle 25,84^\circ \Omega, \quad I_U = 48,113 \angle -25,84^\circ \text{ A} \\ I_V &= 48,113 \angle -145,84^\circ \text{ A}, \quad I_W = 48,113 \angle 94,16^\circ \text{ A} \end{aligned}}$$

Z.3 Symetrický spotřebič v zapojení do hvězdy odebírá ze sítě $230/400 \text{ V}$ celkový činný výkon $P = 4,5 \text{ kW}$ a jalový výkon $Q = 3 \text{ kVAr}$. Vypočtěte impedanci spotřebiče v jedné fázi.

$$\boxed{Z = 29,34 \angle 33,69^\circ \Omega}$$

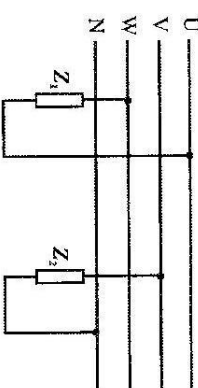
Z.4 Symetrický spotřebič v zapojení do trojúhelníka odebírá ze sítě celkový činný výkon $P = 4,5 \text{ kW}$, zdánlivý výkon je $S = 6 \text{ kVA}$, efektivní hodnota sduřeného napětí je 500 V . Vypočtěte impedanci spotřebiče v jedné fázi.

$$\boxed{Z = 125 \angle 41,41^\circ \Omega}$$

Z.5 Symetrický spotřebič má v každé fázi zapojen rezistor $R = 20 \Omega$ a je připojen k symetrické trojfázové soustavě napětí s efektivní hodnotou sduřeného napětí $U_S = 400 \text{ V}$. Vypočtěte velikost s , I_f a odebíraný činný výkon, je-li spotřebič zapojen: a) do hvězdy, b) do trojúhelníka.

- a) $I_f = I_s = 11,55 \text{ A}$, $P = 8 \text{ kW}$
- b) $I_f = 20 \text{ A}$, $I_s = 34,64 \text{ A}$, $P = 24 \text{ kW}$

Z.6 Vypočtěte činný a jalový výkon odebírány z trojfázové sítě $230/400 \text{ V}$, jsou dány impedance $Z_1 = 50 - j70 \Omega$, $Z_2 = 50 + j45 \Omega$.

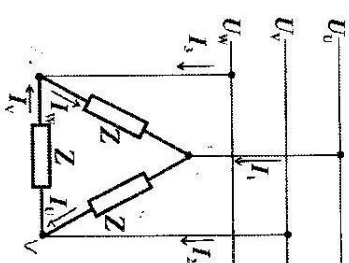


$$\boxed{P = 1666 \text{ W}}$$

$$\boxed{Q = -987 \text{ VAR}}$$

Z.7 V symetrické trojfázové soustavě je impedance jedné fáze $Z = 40+30j \Omega$ (zapojení do trojúhelníka), sduřené napětí je $U = 2400 \text{ V}$ (efektivní hodnota). Určete:

- a) proudy ve fázích spotřebiče
- b) sduřené proudy (proudy v síťových vodičích)
- c) činný a jalový výkon dodaný do záťaze

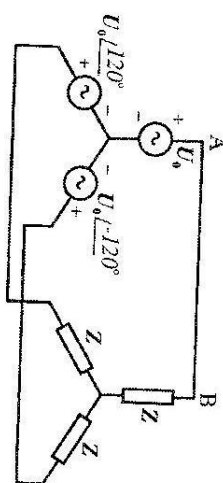


$$\boxed{\begin{aligned} I_U &= 48 \angle -126,87^\circ \text{ A}, \\ I_V &= 48 \angle 113,13^\circ \text{ A}, \\ I_W &= 48 \angle -36,88^\circ \text{ A}, \end{aligned}}$$

$$\boxed{\begin{aligned} I_1 &= 83,14 \angle -156,87^\circ \text{ A}, \\ I_2 &= 83,14 \angle 94,16^\circ \text{ A}, \\ I_3 &= 83,14 \angle 83,13^\circ \text{ A} \end{aligned}}$$

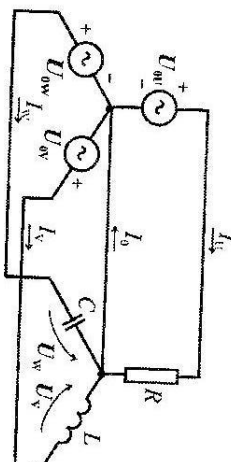
$$\boxed{\begin{aligned} c) P &= 276,48 \text{ kW}, \quad Q = 207,36 \text{ kVAr} \end{aligned}}$$

7.8 Symetrický trojfázový zdroj napětí (230/400V) zapojený do hvězdy napájí souměrný spotřebič o impedanci $Z = 20\angle 60^\circ \Omega$ zapojený do hvězdy (nuly zdroje a spotřebiče nejsou propojeny, $Y_N = 0$). Vypočtěte proudy ve fázích spotřebice a jeho příkon.



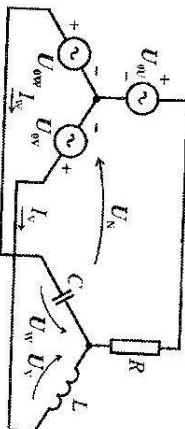
$$\boxed{\begin{aligned} P &= 3967,5 \text{ W}, \\ I_U &= 11,5 \angle -60^\circ \text{ A}, \\ I_V &= 11,5 \angle -180^\circ \text{ A}, \\ I_W &= 11,5 \angle 60^\circ \text{ A} \end{aligned}}$$

7.9 Je dáná souměrná trojfázová soustava o fázovém napěti $U_f = 230 \text{ V}$ (fázor efektivní hodnoty). Stanovte proud I_0 a celkový činný výkon dodaný zátěži. Pro danou zátěž platí: $R = \omega L = \frac{1}{\omega C} = 200 \Omega$



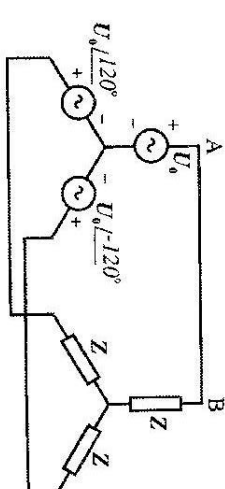
$$\boxed{I_0 = -0,842 \text{ A}, \quad P = 264,5 \text{ W}}$$

7.10 Je dáná souměrná trojfázová soustava napěti o $U_f = 230 \text{ V}$ (efektivní hodnota). Stanovte napětí U_N a celkový činný výkon dodaný zátěži. Pro danou zátěž platí: $R = \omega L = \frac{1}{\omega C} = 200 \Omega$



$$\boxed{U_N = -168,36 \text{ V}, \quad P = 792,02 \text{ W}}$$

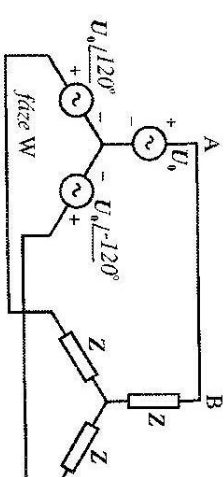
7.11 Symetrický trojfázový zdroj napětí se sduzeným napětím 500V zapojený do hvězdy napájí souměrný spotřebič o impedanci $Z = 50\angle -30^\circ \Omega$ zapojený do hvězdy (nuly zdroje a spotřebiče nejsou propojeny, $Y_N = 0$). Na vedení vznikne porucha (vodíc mezi body A a B je přerušen).



$$\boxed{\begin{aligned} Q &= 2498,48 \text{ VAr}, \\ I_U &= 5,77 \angle 30^\circ \text{ A}, \\ I_V &= 5,77 \angle -90^\circ \text{ A}, \\ I_W &= 5,77 \angle 150^\circ \text{ A} \end{aligned}}$$

7.12 Symetrický trojfázový zdroj (230/400V) zapojený do hvězdy napájí souměrný spotřebič o impedanci $Z = 10\angle 30^\circ \Omega$ zapojený do hvězdy (nuly zdroje a spotřebiče nejsou propojeny $Y_N = 0$). Na straně zdroje dojde ke zkraju ve fázì W.

- Určete hodnotu proudu ve fázì W před poruchou a porovnejte ji s proudem v této fázì po poruše.
- Vypočtěte příkon spotřebice před a po poruše.



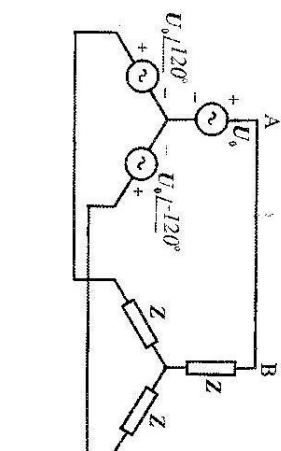
$$\boxed{\begin{aligned} \text{a) } I_W &= 23 \angle 90^\circ \text{ A, po poruše } I_W = 7,67 \angle 90^\circ \text{ A} \\ \text{b) } P &= 13744 \text{ W, po poruše } P = 7636 \text{ W} \end{aligned}}$$

7.13 Symetrický trojfázový zdroj (230/400V) zapojený do hvězdy napájí souměrný spotřebič o impedanci $Z = 20\angle 45^\circ \Omega$ zapojený do hvězdy (nuly zdroje a spotřebiče nejsou propojeny, $Y_N = 0$). Na vedení vznikne porucha (vodíc mezi body A a B je přerušen).

- Určete proudy ve fázích spotřebice před a po poruchou a po poruše.
- Vypočtěte příkon spotřebice před a po poruše.

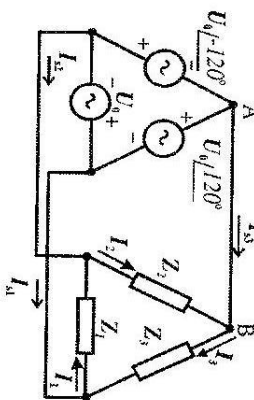
8. PŘECHODNÉ JEVY

8.1 ZÁKLADNÍ VZTAHY



7.14 Symetrický trojzárový zdroj zapojený do trojúhelníka (efektivní hodnota $U_0 = 400$ V) napájí nesymetrický spotřebič zapojený do trojúhelníku s impedancemi $Z_1 = 10\angle -30^\circ \Omega$, $Z_2 = 10\angle -30^\circ \Omega$, $Z_3 = 20\angle 60^\circ \Omega$.

- Určete proudy ve fázích spotřebiče a v přívodních vodičích.
- Vypočítejte příkon spotřebiče.



a) $I_U = 11,5\angle -45^\circ \text{ A}$,

$I_V = 11,5\angle -165^\circ \text{ A}$,

$I_W = 11,5\angle 75^\circ \text{ A}$

při použití $I_V = 9,96\angle -135^\circ \text{ A}$,

$I_W = 9,96\angle 45^\circ \text{ A}$,

při použití $P = 2806 \text{ W}$

a) $I_U = 11,5\angle -45^\circ \text{ A}$,
$I_V = 11,5\angle -165^\circ \text{ A}$,
$I_W = 11,5\angle 75^\circ \text{ A}$
při použití $I_V = 9,96\angle -135^\circ \text{ A}$,
$I_W = 9,96\angle 45^\circ \text{ A}$,
při použití $P = 2806 \text{ W}$

8.1 ZÁKLADNÍ VZTAHY
Přechodný děj nastává v elektrickém obvodu při změně jeho topologické nebo fyzikální struktury; tedy při připojení, zkratování nebo rozpojení větve nebo části obvodu, případně při připojení či odpojení zdroje nebo zátěže. Přechodný děj vznikne pouze v obvodu, který obsahuje tzv. akumulační prvky, tj. kapacitory a induktory, které mohou akumulovat energii elektického nebo magnetického pole

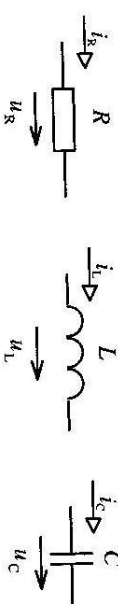
$$W_L = \frac{1}{2} L i_L^2 \quad W_C = \frac{1}{2} C u_C^2 \quad (8.1)$$

$$\lim_{t \rightarrow t_0^-} i_L(t) = \lim_{t \rightarrow t_0^+} i_L(t) = \lim_{t \rightarrow t_0} i_L(t); \quad \lim_{t \rightarrow t_0^-} u_C(t) = \lim_{t \rightarrow t_0^+} u_C(t) = \lim_{t \rightarrow t_0} u_C(t) \quad (8.2)$$

$$\text{strukčně zapsáno } i_L(t_0^-) = i_L(t_0^+) = i_L(t_0); \quad u_C(t_0^-) = u_C(t_0^+) = u_C(t_0).$$

Zpravidla předpokládáme, že počátek přechodného děje je v čase $t_0 = 0$.

Pro analýzu přechodného děje v obvodu formulujeme rovnice pro okamžité hodnoty napětí a proudů nebo pro jejich Laplaceovy obrazy. Základní vztahy mezi napětími a proudy na pasivních lineárních prvcích obvodu jsou v tab. 8.1.



Tab. 8.1

pro okamžité hodnoty	Laplaceovy obrazy
$u_R(t) = R \cdot i_R(t)$	$U_R(p) = R \cdot I_R(p)$
$u_L(t) = L \frac{di_L(t)}{dt}$	$U_L(p) = pLI_L(p) - L_i_L(0)$
$i_C(t) = C \frac{du_C(t)}{dt}$	$I_C(p) = pCU_C(p) - u_C(0)$
$i_L(t) = \frac{1}{L} \int_0^t u_L(\xi) d\xi + i_L(0)$	$I_L(p) = \frac{1}{pL} U_L(p) + \frac{i_L(0)}{p}$
$u_C(t) = \frac{1}{C} \int_0^t i_C(\xi) d\xi + u_C(0)$	$U_C(p) = \frac{1}{pC} I_C(p) + \frac{u_C(0)}{p}$

V průběhu přechodného děje se větvové veličiny mění v závislosti na předchozím (původním) a následném (novém) ustáleném stavu. Předchozí ustálený stav zohledňujeme při analýze obvodu formulací *počátečních podmínek* udávajících hodnoty větvových veličin v čase t_{0+} . Hodnoty větvových veličin po skončení přechodného děje, tj. v novém ustáleném stavu značíme následovně

$$\lim_{t \rightarrow \infty} u(t) = u(\infty); \quad \lim_{t \rightarrow \infty} i(t) = i(\infty)$$

Přechodné děje dělíme na:

- přechodné děje v obvodu 1. řádu

- přechodné děje v obvodech 2. a vyššího řádu

Řád obvodu n závisí na počtu akumulačních prvků v obvodu. V obvodech 1. řádu mají odzvy vždy exponenciální charakter, v obvodech 2. a vyššího řádu může nastat přechodný děj aperiodický, na mezi periodicity a kmitání.

Rovnice pro analýzu obvodu v přechodném stavu formulujeme:

- pro okamžité hodnoty napětí a proudu (*analýza obvodu v časové oblasti*), dostaneme jednu diferenciální rovnici n -tého řádu nebo soustavu n diferenciálních rovnic prvého řádu
- pro Laplaceovy obrazy napětí a proudu (*operátorová metoda – analýza obvodu ve frekvenční oblasti*), dostaneme soustavu algebraických rovnic, okamžité hodnoty získáme po provedení zpětné Laplaceovy transformace.

Analyza obvodu v časové oblasti sestává z následujících kroků:

1. formulace diferenciálních rovnic
2. určení počátečních podmínek
3. nalezení obecného řešení homogenní rovnice
4. výpočet partikulárního řešení (v lineárních obvodech se stejnosemnými nebo harmonickými zdroji lze nahradit řešením nového ustáleného stavu)
5. výpočet integračních konstant
6. určení dalších požadovaných veličin

Analyza obvodu operátorovou metodou sestává z následujících kroků:

1. formulace diferenciálních rovnic pro okamžité hodnoty včetně určení počátečních podmínek
2. formulace rovnic pro Laplaceovy obrazy
3. nalezení Laplaceova obrazu hledané veličiny
4. zpětná Laplaceova transformace – nalezení okamžitých hodnot hledaných veličin
5. určení dalších požadovaných veličin

Pro přechodný děj s *nutovými počátečními podmínkami* jsou vztahy mezi Laplaceovými obrazy napětí a proudu analogické rovnicím platícím pro fázory – viz tab. 8.1. Rovnice obvodu lze pak formulovat přímo pro Laplaceovy obrazy. Podle Laplaceova obrazu napětí a proudu nazýváme **obrazovou impedancí**, pracujeme s ní analogicky jako s komplexní impedancí.

$$Z(p) = \frac{U(p)}{I(p)} \quad (8.3)$$

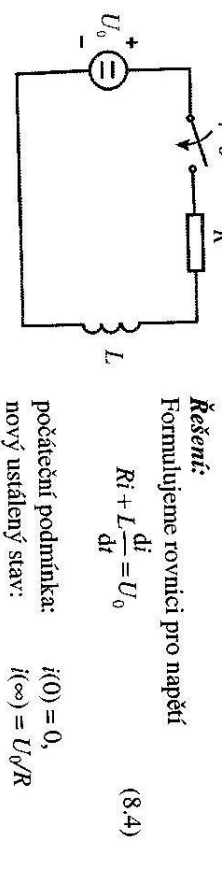
prvek	obrazová impedance
rezistor	R
induktor	pL
kapacitor	$1/pC$

Tab. 8.1

Poznámka:

1. Počáteční podmínky a hodnoty větvových veličin v novém ustáleném stavu lze zjistit z fyzikálního rozboru daného elektrického obvodu, v příkladové části jsou uvedeny mnohé příklady, na kterých si lze tyto znalosti osvojit.
2. Spínací jsou považovány za ideální, spínají-li například v okamžiku $t = t_0$ pak jsou v tuse $t = t_0$ - ještě v původní (neurešlené) poloze a v čase $t = t_0+$ v nové poloze. Rozepnutý spínač má mezi kontakty nutovou vodivost, sepnutý pak nekonečně velkou vodivost.
3. V celé kapitole předpokládáme, že před vznikem přechodného děje nebyl nabit v ustáleném stavu, pokud výslovně není uvedeno jinak. Nemůžli zadano napěti kapacitorem, předpokládáme, že v počátku přechodného děje nebyl nabit.

Príklad VIII-1: Vyšetřete časový průběh proudu a napětí na induktoru v obvodu dle obr. 8.1.



Levá strana rov. (8.4) je homogenní rovnice, jejíž tvar závisí na konfiguraci obvodu. K homogenní rovnici sestavíme charakteristickou rovnici a určíme její kořen

$$R + L\lambda = 0 \Rightarrow \lambda = -\frac{R}{L} \quad (8.5)$$

dále vypočteme časovou konstantu τ

$$\tau = -\frac{1}{\lambda} = \frac{L}{R} \quad (8.6)$$

$$i = K e^{-\frac{t}{\tau}} + i(\infty) = K e^{-\frac{t}{\tau}} + \frac{U_0}{R} \quad (8.7)$$

a určíme obecné řešení rov. (8.4)

Do rov. (8.7) dosadíme počáteční podmínu a vypočteme integrační konstantu K

$$0 = K + \frac{U_0}{R} \Rightarrow K = -\frac{U_0}{R}$$

okamžitá hodnota proudu je

$$i(t) = -\frac{U_0}{R} e^{-\frac{t}{\tau}} + \frac{U_0}{R} = \frac{U_0}{R} \left(1 - e^{-\frac{t}{\tau}} \right)$$

napětí na indukčnosti

$$u_L(t) = L \frac{di}{dt} = L \left(-\frac{U_0}{R} \left(-\frac{R}{L} \right) e^{-\frac{t}{\tau}} \right) = U_0 e^{-\frac{t}{\tau}}$$



Obr. 8.2

hodnotu. Ze vztahu pro napětí $u_L(t) = U_0 e^{-\frac{t}{\tau}}$ plyne, že v čase $t = \tau$ je hodnota

napětí $U_0 e^{-1} = 0,368 U_0$, v čase $t = 5\tau$ je $U_0 e^{-5} = 6,74 \cdot 10^{-3} U_0$, proto je

doba 5τ považována za praktické ukončení přechodného děje.

Fyzikální význam časové konstanty:
Časová konstanta je významnou charakteristikou přeběhu přechodného děje, učívá čas, za který

- klesající okamžitá hodnota napětí resp. proudu poklesne na $1/e$ své původní hodnoty
- vzrůstající okamžitá hodnota dosáhne $(1 - e^{-1}) = 0,632$ násobek hodnoty ustálené
- čím menší je časová konstanta, tím rychleji přechodný děj probíhá

Příklad VIII-2: Vyšetřete časový průběh napěti a proudu na kapacitoru. V čase $t = 0$ dojde k sepnutí vypínače do polohy 1 (nabíjení kondenzátoru), po **odezvění přechodného děje** v čase $t = t_1 = 5\tau$ přepne vypínač do polohy 2 (vybjení kondenzátoru).

Rешení:

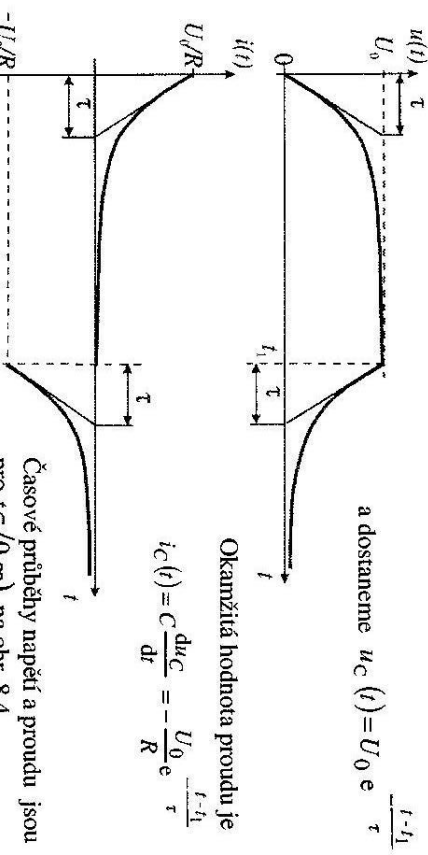
- a) **nabíjení kondenzátoru pro $t \in (0, t_1)$:**
Formulujeme rovnici pro napětí

$$RC \frac{du_C}{dt} + u_C = U_0 \quad (8.8)$$

pocáteční podmínka:
nový ustálený stav:

$$u_C(0) = 0, \quad u_C(\infty) = U_0$$

Obr. 8.3



Obr. 8.4

charakteristická rovnice je

$$RC\lambda + 1 = 0 \quad \Rightarrow \quad \lambda = -\frac{1}{RC}$$

vypočteme časovou konstantu $\tau = -\frac{1}{\lambda} = RC$

obecné řešení rov. (8.8) je $u_C(t) = K e^{-\frac{t}{\tau}} + u(\infty) = K e^{-\frac{t}{\tau}} + U_0$ po dosazení počáteční podmínky určíme integrační konstantu $K = -U_0$ okamžitá hodnota napětí je $u_C(t) = U_0 \left(1 - e^{-\frac{t}{\tau}} \right)$

okamžitá hodnota proudu je $i_C(t) = C \frac{du_C}{dt} = CU_0 \left(\frac{1}{RC} \right) e^{-\frac{t}{\tau}} = \frac{U_0}{RC} e^{-\frac{t}{\tau}}$

b) **vybějení kondenzátoru pro $t \in (t_1, \infty)$:**

$$RC \frac{du_C}{dt} + u_C = 0 \quad (8.9)$$

rovnice pro napětí je

Jelikož homogenní rovnice pro rov. (8.8) a (8.9) jsou stejně, je formálně shodné i jejich obecné řešení, nyní je však začátek přechodného děje v čase t_1 , proto obecné řešení zapíšeme ve tvaru $u_C(t) = K_1 e^{-\frac{t-t_1}{\tau}}$.

Pomoci počáteční podmínky $u_C(t_1) = U_0 \left(1 - e^{-\frac{t_1}{\tau}} \right) \equiv U_0$, určíme $K_1 = U_0$

a dostaneme $u_C(t) = U_0 e^{-\frac{t-t_1}{\tau}}$

Okamžitá hodnota proudu je

$$i_C(t) = C \frac{du_C}{dt} = -\frac{U_0}{RC} e^{-\frac{t-t_1}{\tau}}$$

Časové průběhy napětí a proudu jsou pro $t \in (0, \infty)$ na obr. 8.4.

Příklad VIII-3: Vyšetřete časový průběh proudu v obvodu RLC dle obr. 8.5



Řezení:

Formulujejme rovnici pro napětí

$$u_R + u_L + u_C = U_0$$

Napětí na R a L vyjádříme pomocí proudu

$$Obr. 8.5 \quad i(0) = 0 \quad Ri + L \frac{di}{dt} + u_C = U_0 \quad (8.10)$$

Zderivujeme rov. (8.10), dosadíme $\frac{di}{dt} = \frac{du_C}{dt}$ a dostaneme

$$L \frac{d^2i}{dt^2} + R \frac{di}{dt} + \frac{1}{C} i = 0 \quad \Rightarrow \quad \frac{d^2i}{dt^2} + \frac{R}{L} \frac{di}{dt} + \frac{1}{LC} i = 0$$

Vypočteme kořeny charakteristické rovnice

$$i^2 + \frac{R}{L} i + \frac{1}{LC} = 0 \quad \Rightarrow \quad \lambda_{1,2} = -\frac{R}{2L} \pm \sqrt{\left(\frac{R}{2L}\right)^2 - \frac{1}{LC}} = -\frac{R}{2L} \pm \sqrt{D} = -\beta \pm \alpha$$

obecné řešení pro proud je

$$i(t) = K_1 e^{\lambda_1 t} + K_2 e^{\lambda_2 t} \quad (8.11)$$

Podle hodnoty diskriminantu se liší typ kořenů charakteristické rovnice a také charakter přechodného děje, platí:

diskriminant	kořeny λ_1, λ_2	charakter přechodného děje
$D \geq 0$	$\left(\frac{R}{2L}\right)^2 \geq \frac{1}{LC}$	reálné různé aperiodicky
$D = 0$	$\left(\frac{R}{2L}\right)^2 = \frac{1}{LC}$	reálné, násobné na mezi aperiodicity
$D < 0$	$\left(\frac{R}{2L}\right)^2 < \frac{1}{LC}$	komplexní sduřené kmitavý (kvaziperiodicky)

Integrační konstanty K_1 a K_2 v rov. (8.11) určíme

z matematických počátečních podmínek, tj. z hodnot $i(0)$ a $\frac{di}{dt}|_{t=0}$

Snadno formulujeme

fyzikální počáteční podmínky $u_L(0) = U_0$, $i(0) = 0$

z nich vypočteme požadované počáteční podmínky matematické

$$i(0) = 0, \quad u_L(0_+) = U_0 = L \frac{di}{dt}|_{t=0_+} \quad \Rightarrow \quad \frac{di}{dt}|_{t=0_+} = \frac{U_0}{L}$$

Integrační konstanty K_1 a K_2 v rov. (8.11) určíme pomocí počátečních podmínek a s přihlédnutím k charakteru kořenů charakteristické rovnice:

a) **přechodný děj aperiodicky $D > 0$**

Z rov. (8.11) vypočteme $\frac{di}{dt}$, dosadíme počáteční podmínky a vypočteme integrační konstanty K_1 a K_2

$$i(0) = K_1 + K_2 = 0$$

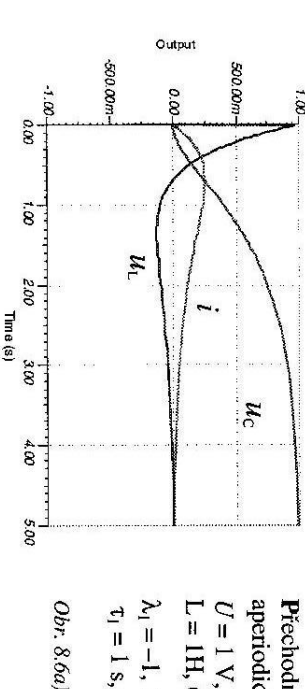
$$\frac{di}{dt}|_{t=0} = K_1 \lambda_1 + K_2 \lambda_2 = \frac{U_0}{L} \Rightarrow K_1 = -K_2 = -\frac{U_0}{2\alpha L} = -I_0$$

Konstanty K_1 a K_2 dosadíme do rov. (8.11) a dostaneme

$$i(t) = -I_0 e^{\frac{-t}{\tau_1}} + I_0 e^{\frac{-t}{\tau_2}} = i_1 + i_2,$$

$$\text{kde } \tau_1 = -\frac{1}{\lambda_1} = \frac{1}{\beta + \alpha}, \quad \tau_2 = -\frac{1}{\lambda_2} = \frac{1}{\beta - \alpha}$$

Ze vztahů pro napětí $u_L = L \frac{di}{dt}$ a $u_C = \frac{1}{C} \int idt$ lze určit jejich časové průběhy – obr. 8.6a).



Obr. 8.6a)

b) **přechodný děj na mezi aperiodicity $D = 0$**

kořeny charakteristické rovnice jsou násobné obecné řešení pro proud napišeme ve tvaru

$$i(t) = K_1 e^{-\beta t} + K_2 t e^{-\beta t}$$

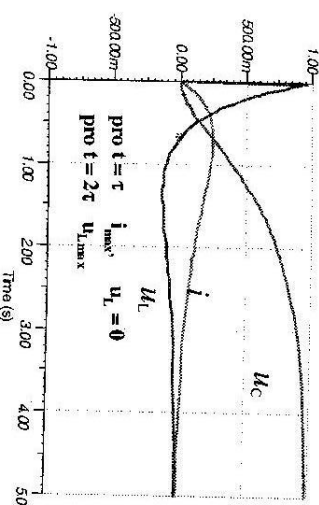
kde $\tau = \frac{1}{\beta}$ je časová konstanta.

Integrační konstanty K_1, K_2 vypočteme po dosazení počátečních podmínek

dov rov. (8.12) a dostaneme

$$i(t) = \frac{U_0}{L} t e^{-\beta t}$$

Časový průběh proudu a napětí u_L a u_C je na obr. 8.6b)



c) přechodný děj kmitavý $D < 0$

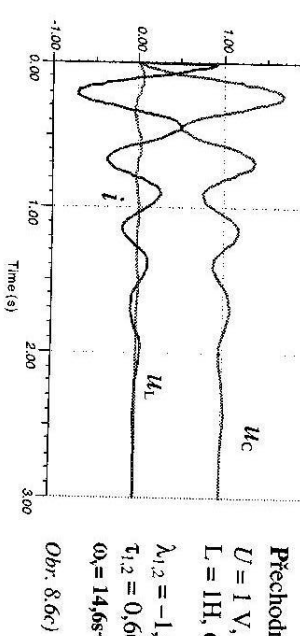
koreny charakteristické rovnice jsou komplexně sduřené $\lambda_{1,2} = -\beta \pm j\alpha$.

Označme $\alpha = \sqrt{\frac{1}{LC} - \beta^2} = \sqrt{\omega_r^2 - \beta^2}$, $\omega_r = \frac{1}{\sqrt{LC}}$ je rezonanční frekvence.

Po dosazení počátečních podmínek do rov. (8.11) dostaneme řešení vztahu:

$$i(t) = \frac{U_0}{\alpha L} e^{-\beta t} \sin \alpha t = I_0 e^{-\beta t} \sin \alpha t$$

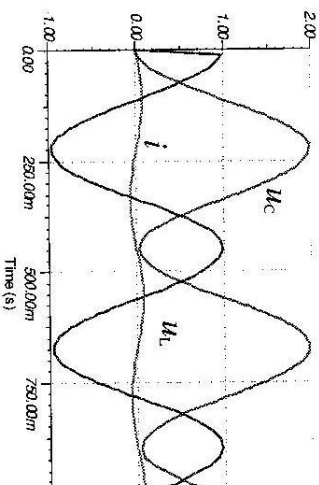
Časové průběhu proudu a napětí u_L a u_C je na obr. 8.6c)



Přechodný děj na mezi aperiodicity
 $U = 1 \text{ V}, R = 3 \Omega$
 $L = 1 \text{ H}, C = 4,45 \text{ mF}$
 $\lambda_{1,2} = -1,5, \tau_{1,2} = 0,667 \text{ s}$
 $\omega_r = 14,1 \text{ s}^{-1}, T = 0,44 \text{ s}$

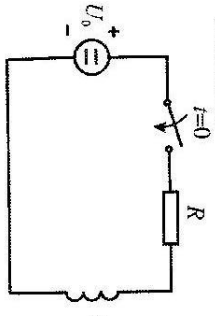
Obr. 8.6b)

d) přechodný děj kmitavý netlumený: $D < 0, R = 0, \lambda_{1,2} = \pm j\alpha = \pm j\omega_r$, řešení pro proud dostaneme $i(t) = \frac{U_0}{\alpha L} \sin \alpha t = I_0 \sin \alpha t$, pomocí něj pak lze vyjádřit i napětí u_L a u_C je na obr. 8.6d)



Obr. 8.6d)

Příklad VIII.4: Stanovte proudovou odezvu obvodu pomocí Laplaceovy transformace.



Řešení:

Proud v obvodu v čase $t = 0$ je nulový, proto můžeme formulovat rovnici přímo pro Laplaceovy obrazy.

Obrazová impedance obvodu je

$$Z(p) = R + pL$$

Obr. 8.7

Vypočteme Laplaceovu obraz proudu:

$$I(p) = \frac{U(p)}{Z(p)} = \frac{U_0}{R + pL} = \frac{U_0}{L} \frac{1}{p(p + R/L)}$$

Zpětnou Laplaceovu transformaci provedeme pomocí slovníku Laplaceových obrazů. Platí:

$$L^{-1} \left[\frac{1}{(p+a)(p+b)} \right] = \frac{1}{a-b} [e^{-bt} - e^{-at}]$$

V našem případě je $a = 0$, $b = R/L$, takže okamžitá hodnota proudu bude:

$$i(t) = \frac{U_0}{R} \left(1 - e^{-\frac{R}{L}t} \right)$$

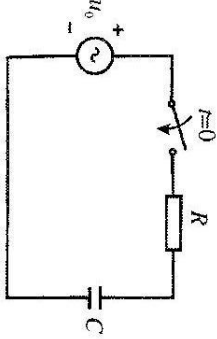
Poznámka: Jestliže se hodnota odporu změní, teoreticky na hodnotu $R = 0$, pak řešení ideální oscilační obvod tvorený pouze prvky L a C , přičemž vzniká

Příklad VIII-5: Vypočte časový průběh napětí na kapacitoru, který je v čase $t = 0$ připojen k harmonickému zdroji napěti $u_c(t) = U_m \cos(\omega t + \varphi)$ V.

Řešení:
Pro obvod napíšeme diferenciální rovnici:

$$RC \frac{du_c}{dt} + u_c = u_0 \quad (8.13)$$

Počáteční podmínka: $u_c(0) = 0$,
Jelikož nový ustálený stav je harmonický,
vypočteme hodnotu $u_c(\infty)$ pomocí SKM.



Obr. 8.8

$$\text{Impedance obvodu} \quad Z = R - j \frac{1}{\omega C} = \sqrt{R^2 + \frac{1}{\omega^2 C^2}} \angle \arctan \frac{-1}{R \omega C} = Z \angle \psi$$

$$U_{Cm} = \frac{U_m \angle \varphi - 1}{Z \angle \psi} \angle -90^\circ = \frac{U_m}{Z \omega C} \angle \varphi - \psi - 90^\circ = U_{Cm} \angle \varphi - \psi - 90^\circ$$

$$\text{Napětí } u_c(t) \text{ v novém ustáleném stavu je} \quad u_c = U_{Cm} \cos(\alpha t + \varphi - \psi - 90^\circ)$$

$$\text{obecné řešení rov.(8.13) je} \quad u_c(t) = K e^{\frac{-t}{\tau}} + U_{Cm} \cos(\alpha t + \varphi - \psi - 90^\circ)$$

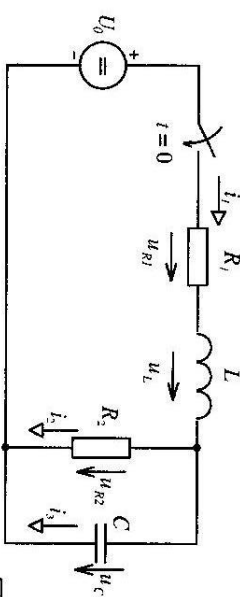
$$\text{Po dosazení počáteční podmínky vypočteme integrační konstantu} \\ 0 = K + U_{Cm} \cos(\varphi - \psi - 90^\circ) \Rightarrow K = -U_{Cm} \cos(\varphi - \psi - 90^\circ)$$

Časový průběh napětí na kondenzátoru

$$u_c(t) = -U_{Cm} \cos(\varphi - \psi - 90^\circ) e^{\frac{-t}{\tau}} + U_{Cm} \cos(\alpha t + \varphi - \psi - 90^\circ)$$

8.2 PŘÍKLADY K PROCVIČENÍ

8.1 Které veličiny obvodu se budou měnit spojite?



Všechny s výjimkou u_L

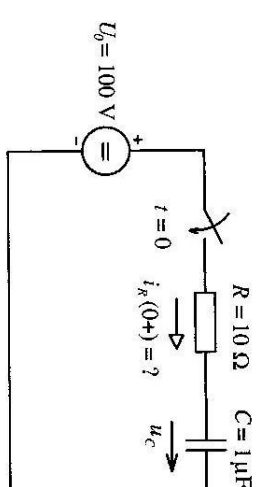
8.2 Stanovte hodnotu napětí na indukčnosti v př. 8.1 v okamžiku sepnutí spínače.

$$u_L(0+) = U_0$$

8.3 Stanovte hodnoty veličin v obvodu v př. 8.1 v ustáleném stavu (po odeznění přechodného číje).

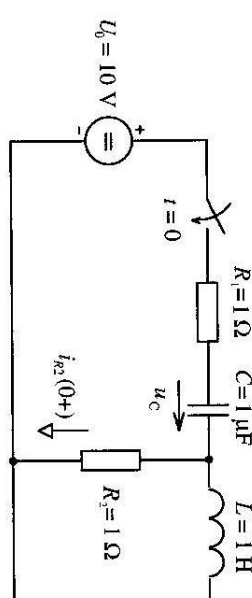
$$i_1(\infty) = 0; u_L(\infty) = 0; i_2(\infty) = i_2(\infty) = \frac{U_0}{R_1 + R_2}; u_{R1}(\infty) = \\ = R_1 i_1(\infty); u_{R2}(\infty) = R_2 i_2(\infty); u_c(\infty) = u_{R2}(\infty) = \frac{U_0}{R_1 + R_2} R_2$$

8.4 Stanovte proud odporem v okamžiku zapnutí, jestliže $u_c(0) = 20$ V.



$$i_R(0+) = 8 \text{ A}$$

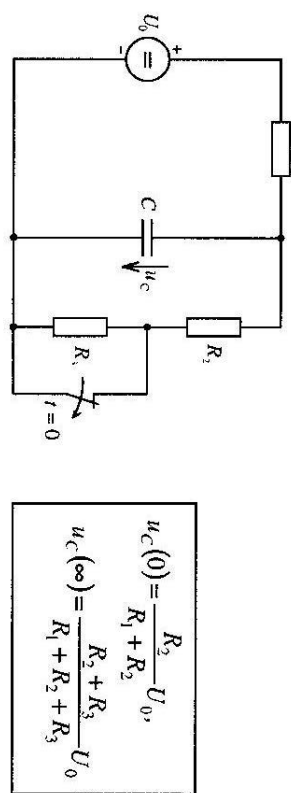
8.5 Určete proud tekoucí odporem R_2 v okamžiku zapnutí vypínače, jestliže $u_c(0) = 0$ V.



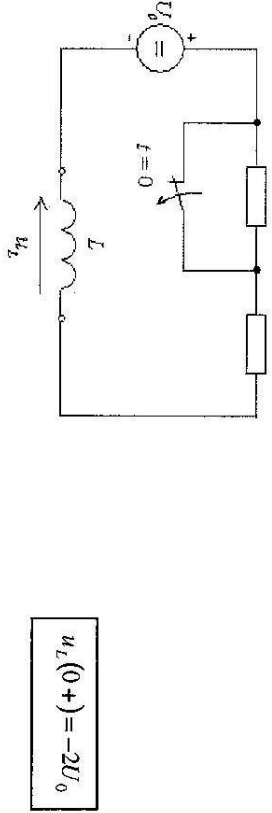
8.6 Řešte předchozí příklad pro $u_c(0) = 6$ V.

$$i_{R2}(0+) = 2 \text{ A}$$

8.7 Stanovte napětí na kondenzátoru v čase $t = 0$ a v ustáleném stavu.



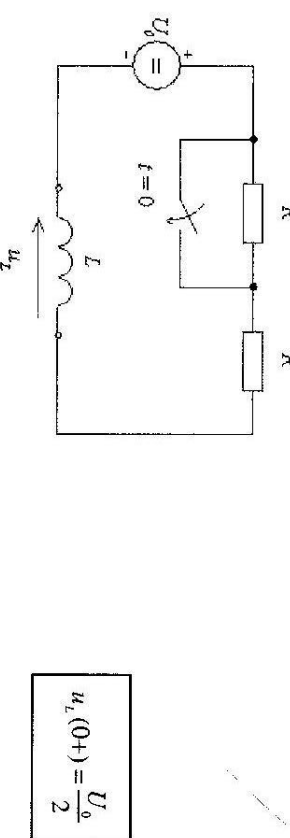
8.8 Stanovte velikost a orientaci napěti na indukčnosti v čase $t = 0+$.



8.9 Vypočtěte časový průběh proudu a napěti na indukčnosti v př. 8.8.

$$i_L(t) = \frac{2U_0}{3R} e^{-\frac{t}{\tau}}, \quad u_L(t) = 2U_0 e^{-\frac{t}{\tau}}, \quad \tau = \frac{L}{3R}$$

8.10 Stanovte velikost a orientaci napěti na indukčnosti v čase $t = 0+$.



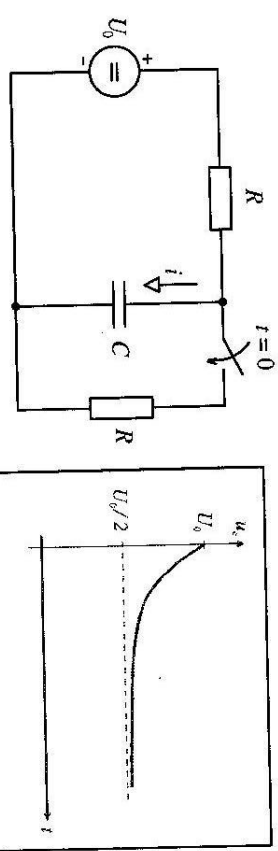
8.15 Stanovte napěti indukčnosti $u_L(0+)$ v okamžiku rozpojení spínače, jestžíže $R_1 = 60\Omega$, $R_2 = 10\text{k}\Omega$, $U_0 = 12\text{V}$.

$$u_L(0+) = \frac{U_0}{2}$$

8.11 Vypočtěte časový průběh proudu a napěti na indukčnosti v př. 8.10.

$$i(t) = \frac{U_0}{2R} e^{-\frac{t}{\tau}} + \frac{U_0}{R}, \quad u(t) = \frac{U_0}{2} e^{-\frac{t}{\tau}}, \quad \tau = \frac{L}{R}$$

8.12 V obvodu dle obrázku určete hodnoty proudu i a napěti na kapacitoru v čase $t=0-$, $t=0+$ a $t \rightarrow \infty$. Zakreslete jejich časový průběh.



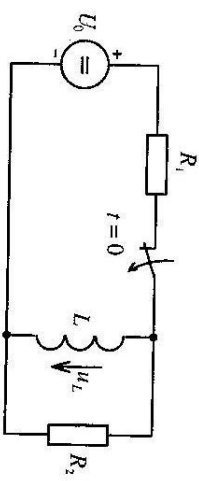
8.13 Formuluje řešení rovnici pro výpočet napěti u_C z příkladu 8.12.

$$C \frac{du_C}{dt} + \frac{2}{R} u_C = \frac{U_0}{R}$$

8.14 Řešením přechodného děje vypočtěte časový průběh napěti u_C z př. 8.12.

$$u_C(t) = \frac{U_0}{2} \left(1 - e^{-\frac{t}{\tau}} \right), \quad \tau = \frac{RC}{2}$$

8.19 Určete hodnoty $u_C(0)$, $i(0-)$ a $i(0+)$.



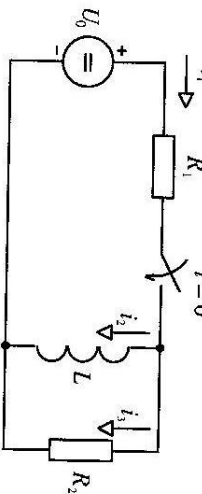
$$u_L(0+) = -\frac{R_2}{R_1}U_0 = 2 \text{ kV}$$

napětí má opačnou orientaci, než je uvedeno

8.16 Vypočtěte časový průběh proudu a napětí na indukčnosti v příkladu 8.15.

$$i(t) = \frac{U_0}{R_1} e^{-\frac{t}{\tau}} = 0,12e^{-\frac{t}{\tau}}, u(t) = -U_0 \frac{R_2}{R_1} e^{-\frac{t}{\tau}} = -12e^{-\frac{t}{\tau}}, \tau = \frac{L}{R_2}$$

8.17 Stanovte proudy v obvodu čase $t = 0+$ a v ustáleném stavu.



$$i(0+) = \frac{U_0}{R_1 + R_2} = \frac{U_0}{R_1 + R_2}$$

$$t \rightarrow \infty : i_i(\infty) = 0; i_i(\infty) = i_i(\infty) = \frac{U_0}{R_1}$$

8.18 Vypočtěte časový průběh proudu a napětí na indukčnosti v příkladu 8.17.

$$i_2(t) = \frac{U_0}{R_1} \left(1 - e^{-\frac{t}{\tau}} \right), u_2(t) = U_0 \frac{R_2}{R_1 + R_2} e^{-\frac{t}{\tau}}, \tau = \frac{L(R_1 + R_2)}{R_1 R_2}$$

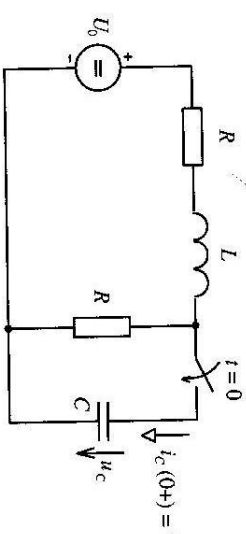
8.20 Vypočtěte časový průběh napětí a proudu na kapacitoru v příkladu 8.19.

$$u_c(0) = U_0; i(0-) = 0; i(0+) = -\frac{U_0}{R^2}$$

(proud teče obráceně, než je naznačeno)

$$u_c(t) = U_0 e^{-\frac{t}{\tau}}, \tau = R_2 C$$

8.21 Stanovte proud i_c v kondenzátoru v čase $t = 0+$, jestliže $U_0 = 100 \text{ V}$, $R = 25 \Omega$, $u_c(0) = 0$.



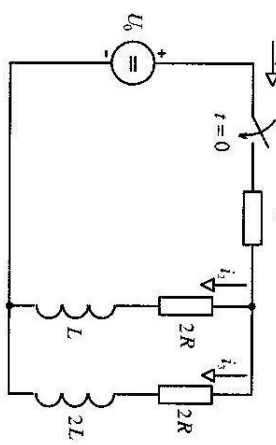
$$i_c(0+) = ?$$

$$i_c(0+) = 2 \text{ A}$$

8.22 Řešte úlohu 8.21 pro $u_c(0) = 50 \text{ V}$.

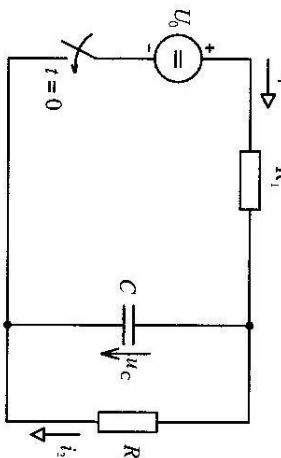
$$i_c(0+) = 0, k \text{ přechodnému ději nedojde}$$

8.23 Stanovte hodnoty proudů v obvodu v čase $t = 0+$ a v ustáleném stavu.



$$\begin{aligned} i_1(0+) &= i_2(0+) = i_3(0+) = 0 \\ i_1(\infty) &= \frac{U_0}{2R}; \quad i_2(\infty) = i_3(\infty) = \frac{U_0}{4R} \end{aligned}$$

8.24 Stanovte proudy i_1, i_2 v okamžiku $t = 0+$ a v ustáleném stavu a dále napětí na kondenzátoru v ustáleném stavu.



$$i_1(0+) = i_2(0+) = 0;$$

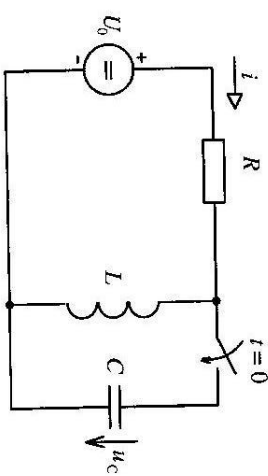
$$i_1(\infty) = i_2(\infty) = \frac{U_0}{R_1 + R_2}, \quad u_C(\infty) = \frac{R_2}{R_1 + R_2} U_0$$

8.25 Vypočítejte časový průběh napětí a proudu na kapacitoru v příkladu 8.24.

$$\begin{aligned} i_1(0+) &= \frac{U_0}{R_1}; \quad i_2(0+) = 0; \\ i_1(\infty) &= i_2(\infty) = \frac{U_0}{R_1 + R_2}, \quad u_C(\infty) = \frac{R_2}{R_1 + R_2} U_0 \end{aligned}$$

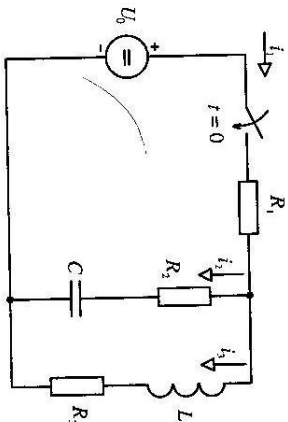
8.26 Stanovte proud i a napětí u_C na kondenzátoru v ustáleném stavu, jestliže: $U_0 = 100 \text{ V}$, $R = 25 \Omega$, $u_C(0) = 0$.

8.27 V obvodu podle obrázku stanovte proudy i a i_C v čase $t = 0+$, jestliže: $u_o(t) = 100\sin(\omega t + 90^\circ) \text{ V}$, $R_1 = 10\Omega$, $R_2 = 10\Omega$, $L = 50 \text{ mH}$, $C = 50 \mu\text{F}$, $\omega = 1000 \text{ s}^{-1}$, $u_C(0) = 0$.



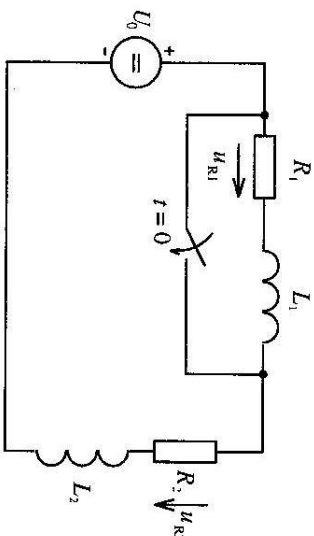
$$\begin{aligned} i(\infty) &= 4 \text{ A}, \quad u_C(\infty) = 0, \\ \text{k přechodnému ději nedojde} \end{aligned}$$

8.28 Stanovte hodnoty proudů v obvodu v čase $t = 0+$ a hodnotu napětí na kapacitoru u_C v ustáleném stavu.



$$\begin{aligned} i_3(0+) &= 0, \\ i_1(0+) &= i_2(0+) = \frac{U_0}{R_1 + R_2}; \\ i_2(\infty) &= 0, \\ i_1(\infty) &= i_3(\infty) = \frac{U_0}{R_1 + R_3}; \\ u_C(\infty) &= R_3 i_3(\infty) = U_0 \frac{R_3}{R_1 + R_3} \end{aligned}$$

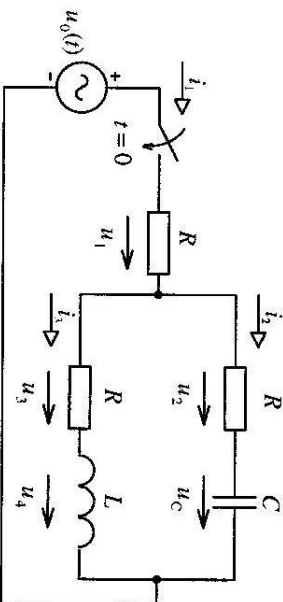
8.29 Stanovte napětí u_{R_1} a u_{R_2} v čase $t = 0+$ a v ustáleném stavu, jestliže $U_0 = 120 \text{ V}$, $R_1 = 4 \Omega$, $R_2 = 6 \Omega$, $L_1 = 0,8 \text{ H}$, $L_2 = 0,3 \text{ H}$.



$$\boxed{\begin{aligned} u_{R1}(0+) &= 48 \text{ V}, \\ u_{R2}(0+) &= 72 \text{ V}, \\ u_{R1}(\infty) &= 0, \\ u_{R2}(\infty) &= 120 \text{ V}, \\ \text{pro } L_1, L_2 \neq 0 \end{aligned}}$$

8.30 V obvodu podle obrázku stanovte proudy a napětí v čase $t = 0+$, jestliže

$$u_0(t) = 200\sqrt{2} \sin\left(\omega t + \frac{\pi}{4}\right) \text{ V}.$$

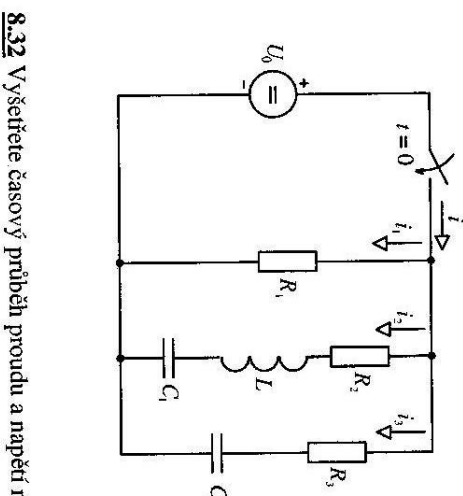


$$\boxed{\begin{aligned} i_1(0+) &= 0, i_1(0+) = \frac{u_0(0)}{2R} \\ u_3(0+) &= 0, u_3(0+) = u_2(0+) = R i_2(0+) = \frac{u_0(0)}{2} = 100 \text{ V}, \\ u_1(0+) &= R i_1(0+) = 100 \text{ V} \end{aligned}}$$

8.31 Stanovte proudy ve všech větvích obvodu a to:

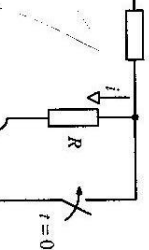
- a) v čase $t = 0^+$,
- b) v ustáleném stavu,

8.34 V čase $t = 0$ vypínač se opět rozepne. Určete časové konstanty τ_1 a τ_2 pro oba přechodné děje a nakreslete časový průběh proudů induktorem za předpokladu, že $t_1 = 5 \tau_1$ (tj. obvod byl již v čase t_1 v ustáleném stavu).



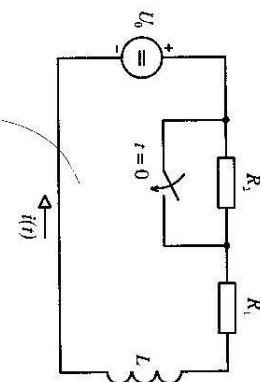
$$\boxed{\begin{aligned} i_1(0+) &= \frac{U_0}{R_1}, & i_1(\infty) &= \frac{U_0}{R_1} \\ i_2(0+) &= 0, & i_2(\infty) &= 0, \\ i_3(0+) &= \frac{U_0}{R_2}, & i_3(\infty) &= 0, \\ i(0+) &= \frac{U_0}{R_1} + \frac{U_0}{R_2}, & i(\infty) &= \frac{U_0}{R_1}. \end{aligned}}$$

8.32 Vyšetřete časový průběh proudu a napětí na induktoru.



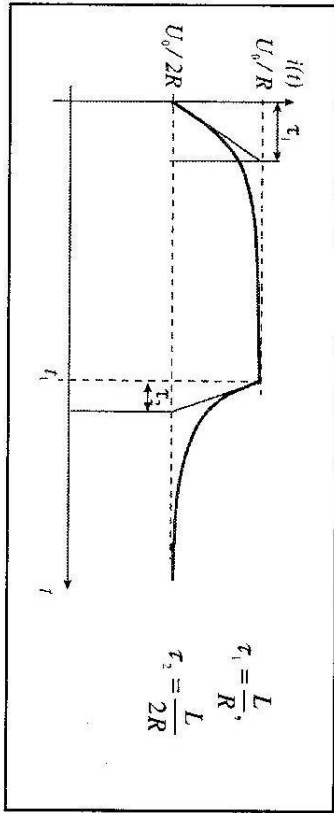
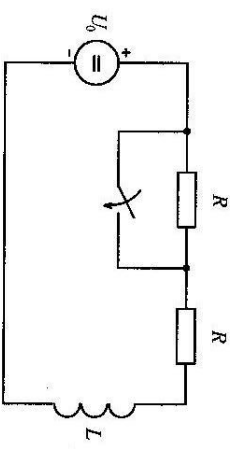
$$\boxed{i(t) = -\frac{U_0}{2R} e^{-\frac{t}{\tau}}, \quad u(t) = -\frac{U_0}{2} e^{-\frac{t}{\tau}}, \quad \tau = \frac{L}{R}}$$

8.33 Stanovte průběh proudu $i(t)$, jestliže: $U_0 = 24 \text{ V}$, $R_1 = 2 \Omega$, $R_2 = 6 \Omega$, $L = 0,1 \text{ H}$.

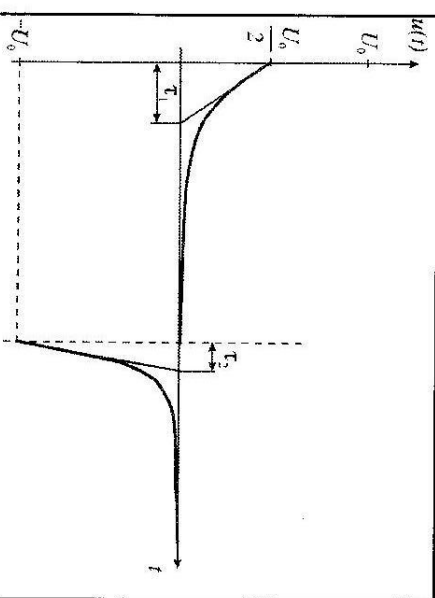


$$\boxed{i(t) = 12 - 9e^{-20t} \text{ A}}$$

8.36 Napište základní rovnice pro obvod v přechodném stavu, s užitím metody uzlových napětí.

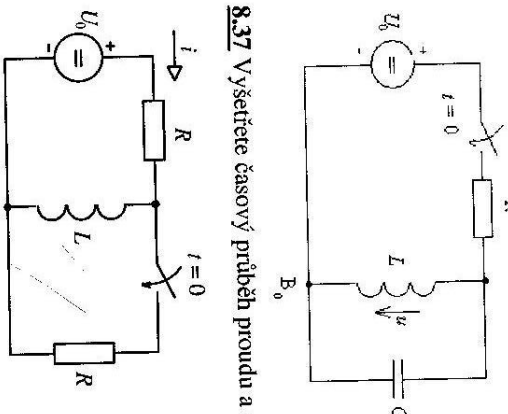


8.35 Nakreslete časový průběh napětí na induktoru z předchozího příkladu a vypočtěte tyto hodnoty: $u_L(0-)$, $u_L(0+)$, $u_L(t_1-)$, $u_L(t_1+)$.



$$u_L(0-) = 0, \quad u_L(0+) = \frac{U_0}{2}, \quad u_L(t_1-) = 0, \quad u_L(t_1+) = -U_0$$

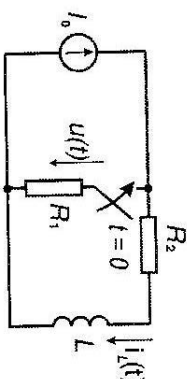
8.37 Vypočtěte časový průběh proudu a napětí na induktoru.



$$i_L(0) = \frac{U_0}{R}, \quad u_L(0-) = 0, \\ \text{k přechod. dějí nedojde}$$

8.38 Určete časové průběhy proudu i_L a napětí u v obvodu dle obrázku.
Dáno: $I_0 = 10\text{A}$, $R_1 = 10\Omega$, $R_2 = 10\Omega$, $L = 1\text{H}$. Číselně vypočtěte:

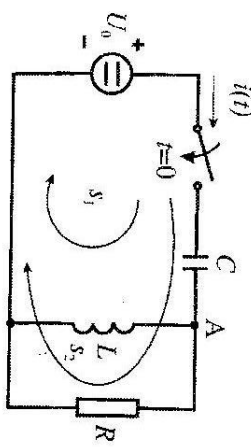
- $i_L(0)$, $i_L(\infty)$, $u(0+)$
- časovou konstantu
- energií je akumulovanou v cívce v čase $t = 0$



$$i_L(t) = \frac{I_0}{R_1 + R_2} \left(R_2 e^{\frac{-t}{\tau}} + R_1 \right), \quad u(t) = I_0 \frac{R_1 R_2}{R_1 + R_2} \left(1 - e^{\frac{-t}{\tau}} \right), \quad \tau = \frac{L}{R_1 + R_2}$$

- $i_L(0) = I_0$, $i_L(\infty) = I_0 \frac{R_1}{R_1 + R_2} = 5\text{A}$, $u(0+) = 0$
- $\tau = \frac{L}{R_1 + R_2} = 0,05\text{s}$
- $W = 50\text{J}$

8.39 Formulujte rovnice pro stavové veličiny pro uzel A a smyčky s₁a s₂.



$$A: C \frac{du_C}{dt} = i_L + i_R$$

$$S_1: u_C + L \frac{di_L}{dt} = U_0$$

$$S_2: u_C + R i_R = U_0$$

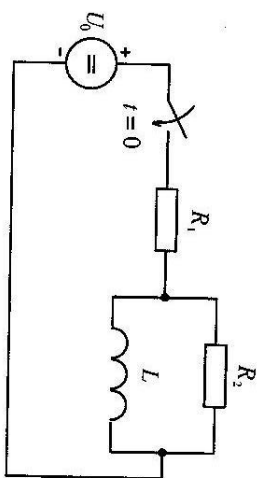
8.40 Z rovnic předchozího příkladu sestavte stavovou matici soustavy a určete charakter přechodného děje.

- a) Je-li dán: $R = 10 \text{ Ohm}$, $C = 10 \mu\text{F}$, $L = 100 \text{ mH}$.
b) Jak se změní charakter přechodného děje, bude-li $L = 1 \text{ mH}$.

0	$-\frac{1}{L}$
$\frac{1}{C}$	$-\frac{1}{RC}$

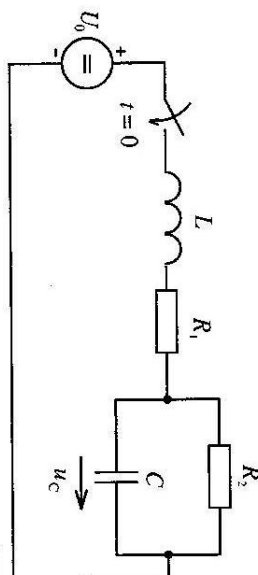
- a) $\lambda_1 = -100$; $\lambda_2 = -9900$; aperiodický děj
b) $\lambda_1 = -5000 + j8660$; $\lambda_2 = -5000 - j8660$; kmitavý děj

8.41 Stanovte obrazovou impedanci obvodu podle obrázku:



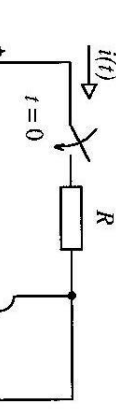
$$Z(p) = R_1 + \frac{pR_2L}{pL + R_2}$$

8.42 Stanovte obrazovou impedanci obvodu podle obrázku.



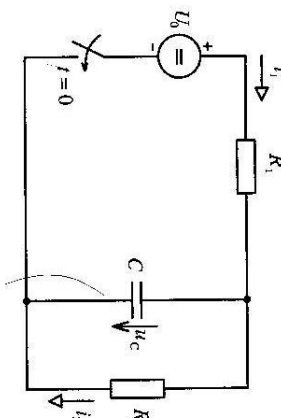
$$Z(p) = R_1 + \frac{p^2 L C + 1}{p^3 R L C + p^2 L + p R}$$

8.43 Stanovte Laplaceův obraz proudu $I(p) = L \{ i(t) \}$ pro přechodný jev vyvolaný sepnutím vypínače v čase $t = 0$.



$$I(p) = U_0 \frac{p^2 L C + 1}{p^3 R L C + p^2 L + p R}$$

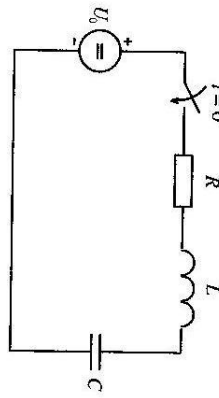
8.44 Vypočtěte časový průběh napětí na kapacitou pomocí Laplaceovy transformace.



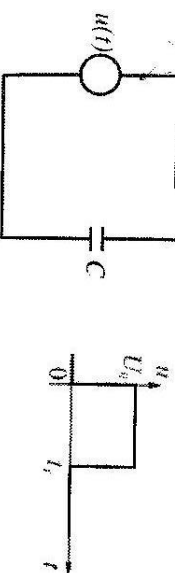
$$U_C(p) = \frac{U_0}{R_1 C} \frac{1}{p + \frac{R_1 + R_2}{R_1 R_2 C}}$$

$$u_C(t) = U_0 \frac{R_2}{R_1 + R_2} \left(1 - e^{-\frac{t}{T}} \right)$$

8.45 V obvodu je dán L a C . Pro jakou hodnotu R bude přechodný jev v obvodu na mezi periodity?



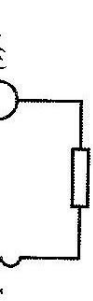
8.46 Určete proudovou odezvu $i(t)$ obvodu na napěťový impuls podle obrázku pro $t \in (0, t_1)$, jestliže $u_C(0) = 0$.



8.47 Určete hodnotu napětí na kondenzátoru u_C v př. 8.46 v okamžiku $t = t_1$.

$$u_C(t_1) = U_0 \left(1 - e^{-\frac{t_1}{RC}} \right)$$

8.48 Vypočíte časový průběh proudu v obvodu v intervalu $t \in (0, t_1)$ a $t \in (t_1, \infty)$.



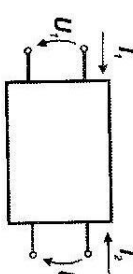
$$t \in (0, t_1) \quad i(t) = \frac{U_0}{R} \left(1 - e^{-\frac{t}{RC}} \right)$$

$$t \in (t_1, \infty) \quad i(t) = \frac{U_0}{R} \left(1 - e^{-\frac{t-t_1}{RC}} \right) e^{\frac{t-t_1}{RC}}$$

9. DVOJBRANY

9.1. ZÁKLADNÍ VZTAHY

Dvojbran je libovolná část obvodu, která je s ostatními částmi obvodu spojena dvěma páry svorek (vstupní a výstupní svorky). K analýze chování obvodu postačí popsat dany dvojbran pouze *vztahy mezi napětími a proudy na vstupních a výstupních svorkách*, tyto vztahy vyjadruj charakteristické rovnice dvojbranu. Vnitřní struktura dvojbranu může být libovolně složitá. Dále předpokládáme harmonický ustálený stav, základní vztahy budeme psát pro fázory.



Charakteristické matice jednoznačně určují vlastnosti dvojbranu a vztahy mezi výstupními a vstupními veličinami – tab. 9.1

Název matice	matice	rovnice
impedanční	Z	$U_1, U_2 = f(I_1, I_2)$
admitanční	Y	$I_1, I_2 = f(U_1, U_2)$
přímá kaskádní	A	$U_1, I_1 = f(U_2, -I_2)$
zpětná kaskádní	B	$U_2, I_2 = f(U_1, I_1)$
sériově paralelní	H	$U_1, I_2 = f(I_1, U_2)$
paralelně sériovou	G	$I_1, U_2 = f(U_1, I_2)$

Prvky charakteristických matic lze určit buď z rovnic obvodu příslušně upravených nebo ze stavu naprázdno, nakrátko.

Obecný dvojbran je určen čtyřmi veličinami (tj. čtyřmi prvky příslušné charakteristické matice). Je-li dvojbran *reciproční*, resp. *symetrický*, postačí určit pouze 3 prvky charakteristické matice, je-li *reciproční* a *zároveň symetrický*, postačí vypočítat pouze dva prvky. Zbývající prvky stanovíme pomocí vztahů uvedených v tab. 9.2

Tab. 9.2

reciproca	$z_{12} = z_{21}$	$y_{12} = y_{21}$	$\det \mathbf{A} = 1$	$\det \mathbf{B} = 1$	$h_{12} = -h_{21}$	$g_{12} = -g_{21}$
symetrie	$z_{11} = z_{22}$	$y_{11} = y_{22}$	$a_{11} = a_{22}$	$b_{11} = b_{22}$	$\det \mathbf{H} = 1$	$\det \mathbf{G} = 1$

Spojování dvojbranů

Dva dvojbrany lze spojit: *sériově, paralelně, postupně kaskádně, zpětně kaskádně, sériově paralelně a paralelně sériově*. Pro každé zapojení je vhodné použít příslušnou charakteristickou matici, neboť lze pak snadno určit matici výsledného zapojení – Tab. 9.3

zapojení	charakteristická matice
sériové paralelní	$\mathbf{Z} = \mathbf{Z}_1 + \mathbf{Z}_2$ $\mathbf{Y} = \mathbf{Y}_1 + \mathbf{Y}_2$
postupné kaskádní	$\mathbf{A} = \mathbf{A}_1 \mathbf{A}_2$
zpětné kaskádní	$\mathbf{B} = \mathbf{B}_1 \mathbf{B}_2$
sérioparalelní	$\mathbf{H} = \mathbf{H}_1 + \mathbf{H}_2$
paralelně sériové	$\mathbf{G} = \mathbf{G}_1 + \mathbf{G}_2$

Tab. 9.3

Obvodové funkce dvojbranu

Dvojbrany zpravidla tvoří *přenosovou cestu* mezi zdrojem a spotřebitelem, *kvalitu přenosu* (kreslení signálů, účinnost přenosu energie) lze posoudit podle hodnot obvodových funkcí či jejich frekvenční závislosti (*frekvenční charakteristiky*).

Obvodové funkce dělíme na:

- a) *přenosové funkce dvojbranu* – informace o přenosu ze vstupu na výstup nebo naopak
- b) *imittanční funkce* – vztahy mezi napětím a proudy

- Komplexní přenos napětí resp. proudu $K_U = \frac{U_2}{U_1}$, $K_I = \frac{(-I_2)}{I_1}$

- Vstupní impedance, admittance $Z_1 = \frac{U_1}{I_1}$, $Y_1 = \frac{I_1}{U_1}$

- Výstupní impedance, admittance $Z_2 = \frac{U_2}{(-I_2)}$, $Y_2 = \frac{(-I_2)}{U_2}$

- Přenosová impedance, admittance $Z_{12} = \frac{U_1}{(-I_2)}$, $Y_{21} = \frac{(-I_2)}{U_1}$

Obvodové funkce jsou dány poměrem vnějších napětí a proudu, přičemž se vyjadřují:

- a) pro ustálený stav pomocí fázorů, jsou to pak komplexní funkce $F(j\omega)$,
- b) pro dynamické chování obvodu pomocí Laplaceových obrazů $F(p)$.

Důležité jsou rovněž přenosové funkce ve zvláštních režimech, např.:

- Vstupní, výstupní impedance například $Z_{10} = \left. \frac{U_1}{I_1} \right|_{I_2=0}$, $Z_{20} = \left. \frac{U_2}{(-I_2)} \right|_{I_1=0}$

- Vstupní, výstupní impedance nakrátko $Z_{1k} = \left. \frac{U_1}{I_1} \right|_{U_2=0}$, $Z_{2k} = \left. \frac{U_2}{(-I_2)} \right|_{U_1=0}$
- *Kmitočkové vlastnosti dvojbranu* lze graficky znázornit pomocí *kmitočtových resp. frekvenčních charakteristik* – tj. závislosti obvodové funkce na úhlovém kmitočtu ω resp. na frekvenci f .

Grafy obvodových funkcí $F(j\omega)$ se nazývají:

- a) komplexní kmitočtová charakteristika – graf $F(j\omega)$ v komplexní rovině
- b) amplitudová (modulová) kmitočtová charakteristika - závislost amplitudu resp. modulu fázoru obvodové funkce na ω
- c) fázová kmitočtová charakteristika - závislost argumentu $F(j\omega)$ na ω

Pro kreslení *kmitočtových charakteristik* jsou důležité 3 body:

$$\omega = 0, \omega \rightarrow \infty, \omega = \omega_b,$$

kde ω_b je mezní kmitočet a lze ho určit z kořenů jmenovatele funkce $F(j\omega)$

Vlnové parametry dvojbranu

Vlnová impedance dvojbranu (charakteristická impedance) je důležitý vlnovou parametr dvojbranu, nesymetrický dvojbran má vstupní a výstupní vlnovou impedanci:

- vstupní vlnovou impedanci lze určit ze vztahu $Z_{01} = \sqrt{Z_{10} Z_{1k}}$
- výstupní vlnovou impedanci lze určit ze vztahu $Z_{02} = \sqrt{Z_{20} Z_{2k}}$

Pro symetrický dvojbran jsou vstupní a výstupní vlnová impedance shodné:

$$Z_{01} = Z_{02} = Z_0.$$

Platí: *je-li dvojbran založen svou výstupní vlnovou impedancí, pak jeho vstupní impedance je právě rovna vstupní vlnové impedance a naopak*. Takový dvojbran je **impedančně přizpůsoben**. Z důvodu kvality přenášeného signálu navrhujeme spojení dvojbranů zpravidla jako impedančně přizpůsobené.

Vlnový přenos definujeme pro symetrický přizpůsobený dvojbran:

$$\text{Vlnový přenos napětí } G_U = \frac{U_1}{U_2} = K_U$$

Jelikož pro impedančně přizpůsobený symetrický dvojbran platí: $Z_1 = Z_2 = Z_0$, lze vyjádřit *vlnový přenos proudu* následovně

$$G_I = \frac{I_1}{(-I_2)} = \frac{U_1/Z_0}{U_2/Z_0} = G_U = G$$

Pro vlnový přenos G_0 zavádíme *vlnovou míru přenosu*, lze ji vypočítat pomocí přirozeného nebo podle současné normy pomocí dekadického logaritmu

$$g_0 = \ln G_0 = \ln \frac{U_1 e^{j\varphi}}{U_2 e^{j\varphi_2}} = \ln \frac{U_1}{U_2} + j(\varphi_1 - \varphi_2) = b_0 [\text{Np}] + ja_0$$

$$g_0 = 20 \log G_0 = 20 \log \frac{U_1 e^{j\varphi}}{U_2 e^{j\varphi_2}} = 20 \log \frac{U_1}{U_2} + j(\varphi_1 - \varphi_2) 20 \log e = b_0 [\text{dB}] + ja_0$$

kde $b_0 = \ln(U_1/U_2)$ je vlnový útlum v jednotkách Np (Nepér)

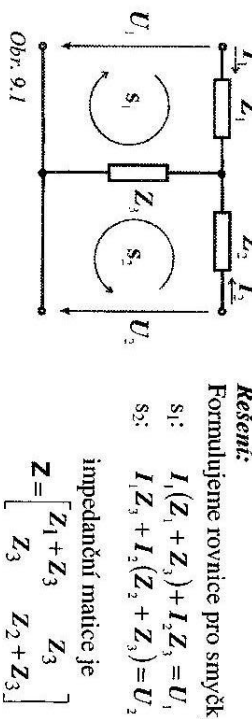
$a_0 = 20 \log(U_1/U_2)$ je vlnový útlum v jednotkách dB (decibel)

Pro převod **dB** na **Np** platí: $b_0 [\text{dB}] = 8,68 b_0 [\text{Np}]$, $b_0 [\text{Np}] = 0,115 b_0 [\text{dB}]$.

Pro pasivní symetrický dvojbran lze vyjádřit prvky *kaskádní matici* \mathbf{A} pomocí vlnových parametrů Z_0, g_0 (g_0 je definována pomocí přirozeného logaritmu)

$$\mathbf{A}(g_0, Z_0) = \begin{bmatrix} \cosh g_0 & Z_0 \sinh g_0 \\ 1/Z_0 \sinh g_0 & \cosh g_0 \end{bmatrix}$$

Příklad IX-1: Stanovte impedanční matici Γ článu



Řešení:
Formulujeme rovnice pro smyčky s_1 a s_2 :

$$\begin{aligned} s_1: \quad I_1(Z_1 + Z_3) + I_2 Z_3 &= U_1 \\ s_2: \quad I_1 Z_3 + I_2 (Z_2 + Z_3) &= U_2 \end{aligned}$$

impedanční matici je

$$\mathbf{Z} = \begin{bmatrix} Z_1 + Z_3 & Z_3 \\ Z_3 & Z_2 + Z_3 \end{bmatrix}$$

Obr. 9.1

Pro symetrický dvojbran platí

$$Z_1 = Z_2 \Rightarrow z_{11} = z_{22}$$

Příklad IX-2: Určete kaskádní matici Γ článu ze stavu dvojbranu naprázdno a nakrátko.

$$\begin{aligned} &I_1 \xrightarrow{Z_1} Z_2 \xrightarrow{I_2} \\ &U_1 = \mathbf{a}_{11} U_2 + \mathbf{a}_{12} (-I_2) \\ &I_1 = \mathbf{a}_{21} U_2 + \mathbf{a}_{22} (-I_2) \end{aligned}$$

Koeficienty \mathbf{a}_{11} a \mathbf{a}_{22} počítáme z výstupu dvojbranu

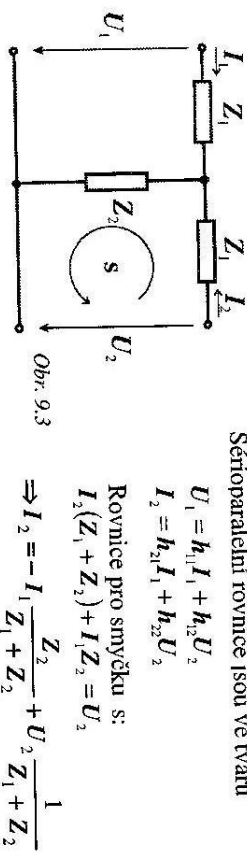
$$\begin{aligned} &U_1 = \frac{U_1}{U_2} \Big|_{I_2=0} = \frac{U_1}{U_2} = 1, \quad \mathbf{a}_{21} = \frac{I_1}{U_2} \Big|_{I_2=0} = \frac{I_1}{Z_1 I_1} = \frac{1}{Z_1} \\ &\text{Obr. 9.2} \end{aligned}$$

Koeficienty \mathbf{a}_{12} a \mathbf{a}_{21} počítáme z výstupu dvojbranu nakrátko $U_2 = 0$

$$\begin{aligned} &\mathbf{a}_{12} = \frac{U_1}{(-I_2)} \Big|_{U_2=0} = \frac{U_1}{U_1/Z_2} = Z_2, \quad \mathbf{a}_{22} = \frac{I_1}{(-I_2)} \Big|_{U_2=0} = \frac{I_1}{I_1 Z_1 + Z_2} = \frac{Z_1 + Z_2}{Z_1} \end{aligned}$$

Příklad IX-3: Pro symetrický T článek určete hybridní matici \mathbf{H}

Dvojbran je *symetrický a reciprocitní* \Rightarrow 2 prvky určíme z rovnic obvodu, další 2 z tabulky 9.2.



Sérioparalelní rovnice jsou ve tvaru

$$\begin{aligned} U_1 &= h_{11} I_1 + h_{12} U_2 \\ I_2 &= h_{21} I_1 + h_{22} U_2 \end{aligned}$$

$$\text{Rovnice pro smyčku s:}$$

$$I_2 (Z_1 + Z_2) + I_1 Z_2 = U_2$$

$$\Rightarrow I_2 = -I_1 \frac{Z_2}{Z_1 + Z_2} + U_2 \frac{1}{Z_1 + Z_2}$$

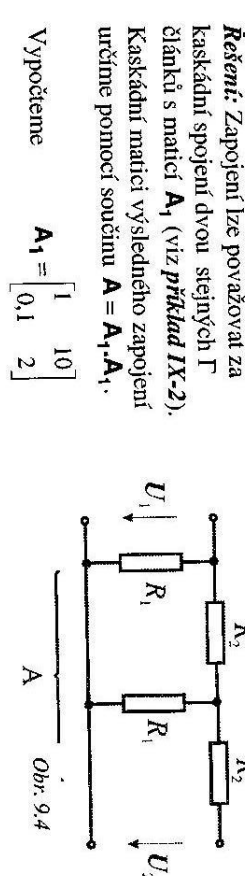
Odtud dostaneme $h_{21} = -\frac{Z_2}{Z_1 + Z_2}$ a $h_{22} = \frac{1}{Z_1 + Z_2}$

$$\begin{aligned} h_{12} &= -h_{21} = \frac{Z_2}{Z_1 + Z_2} \\ \text{Jelikož je dvojbran reciprocmí, platí: } & \end{aligned}$$

$$\begin{aligned} \text{Pro symetrický dvojbran dále platí: } & \det \mathbf{H} = 1 \Rightarrow h_{11} = \frac{Z_1^2 + 2Z_1 Z_2}{Z_1 + Z_2} \\ & \text{Pro symetrický dvojbran dále platí: } \det \mathbf{H} = 1 \Rightarrow h_{11} = \frac{Z_1^2 + 2Z_1 Z_2}{Z_1 + Z_2} \end{aligned}$$

Příklad IX-4: Určete hodnotu U_2 , je-li $U_1 = 60 \angle 30^\circ \text{ V}$, $R_1 = 10 \Omega$, $R_2 = 10 \Omega$.

Řešení: Zapojení lze považovat za kaskádní spojení dvou stejných Γ článků s maticí \mathbf{A}_1 (viz **příklad IX-2**). Kaskádní matici výsledného zapojení určíme pomocí součinu $\mathbf{A} = \mathbf{A}_1 \cdot \mathbf{A}_1$.



$$\mathbf{A}_1 = \begin{bmatrix} 1 & 10 \\ 0,1 & 2 \end{bmatrix}$$

$$\text{Výsledná matice je } \mathbf{A} = \mathbf{A}_1 \cdot \mathbf{A}_1 = \begin{bmatrix} 2 & 30 \\ 0,3 & 5 \end{bmatrix}$$

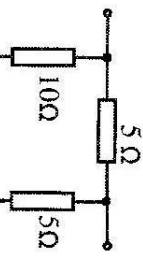
Napěťový přenos nezatíženého dvojbranu určíme z parametru a_{11} matice \mathbf{A}

$$a_{11} = \left| \frac{U_1}{U_2} \right|_{I_2=0} \Rightarrow U_2 = \frac{60 \angle 30^\circ}{2} = 30 \angle 30^\circ \text{ V}$$

Příklad IX-5: Určete vstupní a výstupní vlnovou impedanci II-článku.

Řešení:

Vypočeme vstupní a výstupní impedanci naprázdno a nákrátko. Poté určíme vstupní a výstupní vlnovou impedanci



$$Z_{10} = 5\Omega$$

$$Z_{20} = \frac{5 \cdot 15}{20} = \frac{15}{4}\Omega$$

$$Z_{2k} = 2,5\Omega$$

$$Z_{01} = \sqrt{\frac{50}{3}} = 4,08\Omega \quad Z_{02} = \sqrt{2,5 \cdot \frac{15}{4}} = 3,06\Omega$$

Příklad IX-6: Určete komplexní přenos napětí, nakreslete komplexní kmitočtovou charakteristiku, amplitudovou a fázovou charakteristiku.

Řešení:

Vypočeme komplexní přenos napětí

$$K_U = \frac{U_2}{U_1} = \frac{\frac{1}{j\omega C}}{R + \frac{1}{j\omega C}} = \frac{1}{1 + j\omega RC} = K_U \angle -\varphi$$

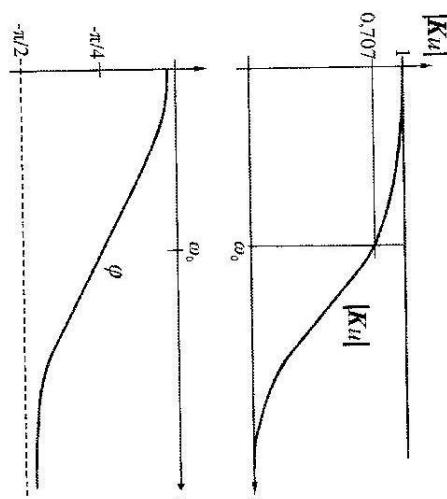
Určíme jeho velikost a fázi

$$K_U = \frac{1}{\sqrt{1 + (\omega RC)^2}} \quad \varphi = \arctg \omega RC \quad \omega_0 = \frac{1}{RC}$$

Pro tři charakteristické hodnoty $\omega = 0$, ω_0 a ∞ vypočteme K_U , K_U a φ a zakreslíme jejich grafy.

	K_U	$ K_U $	φ
$\omega = 0$	1	1	0
$\omega = \omega_0$	$0,707 \angle -45^\circ$	0,707	-45°
$\omega \rightarrow \infty$	0	0	-90°

Obr. 9.6



Příklad IX-7: Dvojbran má vlnový útlum $b_0 = 5\text{dB}$, vypočteť efektivní hodnotu výstupního napětí U_2 , je-li efektivní hodnota vstupního napětí $U_1 = 100\text{V}$.

Řešení:

a) vypočet v dB

$$\text{Ze vztahu pro } b_0 = 5 = 20 \log \frac{U_1}{U_2} \text{ vypočteme } U_2 = \frac{100}{10^{0.25}} = 56,23\text{ V}$$

b) vypočet v Np

převedeme decibely na Np $5\text{dB} = 5,0,115\text{Np} = 0,575\text{Np}$

a po té určíme $b_0 = \ln \frac{U_1}{U_2} = 0,575$

$$\frac{U_1}{U_2} = e^{0,575} \Rightarrow U_2 = \frac{100}{e^{0,575}} = 56,27\text{ V}$$

Příklad IX-8: Kaskádní spojení dvou dvojbran má být impedančně přizpůsobeno pomocí Γ článku s impedancemi Z_1 a Z_2 . Vypočte jejich velikost, jsou-li vlnové impedanace dvojbran $Z_{01} = 300\Omega$ a $Z_{02} = 75\Omega$.



Komplexní kmitočtová charakteristika

Řešení: Rovnice pro výpočet Z_1 a Z_2 lze formulovat dvěma způsoby:

a) řešení z podmínek připisobení na sverkách 1-1 a 2-2:

$$\text{na sverkách 1-1' musí platit: } Z_{01} = Z_1 + \frac{Z_2 Z_{02}}{Z_2 + Z_{02}}$$

$$\text{na sverkách 2-2' musí platit: } Z_{02} = \frac{Z_2 (Z_1 + Z_{01})}{Z_1 + Z_2 + Z_{02}}$$

b) z výpočtu vstupní a výstupní vlnové impedance Γ článku:

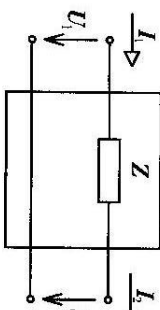
$$Z_{1k} = Z_1, \quad Z_{10} = Z_1 + Z_2, \quad Z_{01} = \sqrt{Z_1 (Z_1 + Z_2)}$$

$$Z_{2k} = \frac{Z_1 Z_2}{Z_1 + Z_2}, \quad Z_{20} = Z_2, \quad Z_{02} = Z_2 \sqrt{\frac{Z_1}{Z_1 + Z_2}}$$

Po dosazení za Z_{01} a Z_{02} vypočteme: $Z_1 = 260 \Omega$, $Z_2 = 86,6 \Omega$

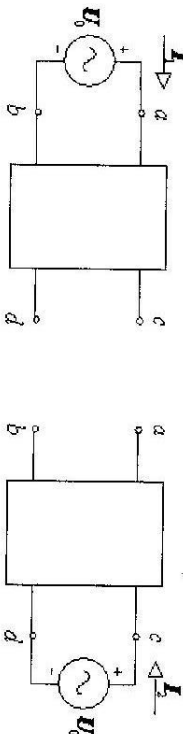
9.2 PŘÍKLADY K PROCVIČENÍ

9.1 Stanovte kaskádní matici dvojbranu podle obrázku.



$$\mathbf{A} = \begin{bmatrix} 1 & Z \\ 0 & 1 \end{bmatrix}$$

9.2 Připojme-li na vstup symetrického reciprocity dvojbranu naprázdro zdroj napětí, je vstupní proud I_1 (obr. a). Připojme-li tentýž zdroj na výstup, je napájecí proud I_2 (obr. b). Jaký vztah platí mezi oběma proudy?



Obr. a

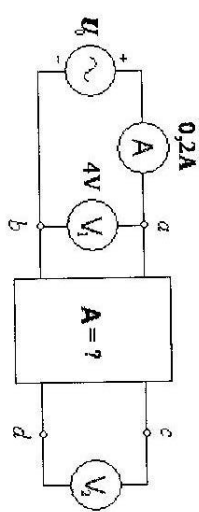
Obr. b

$$\boxed{I_1 = I_2}$$

9.3 Symetrický dvojbran s připisobenou zátěží je složen pouze z kapacit. Jaký je fázový posun mezi vstupním a výstupním napěním?

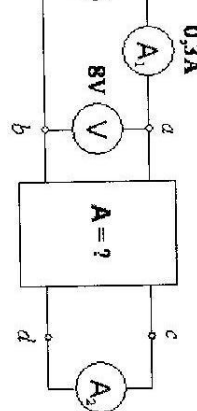
obě napětí U_1 a U_2 jsou ve fázi

9.4 Pasivní, podélne symetrický dvojbran je sestaven pouze z ohmických odporů. Z údajů ampérmetru A a voltmetu V_1 , V_2 stanovte kaskádní matici \mathbf{A} .



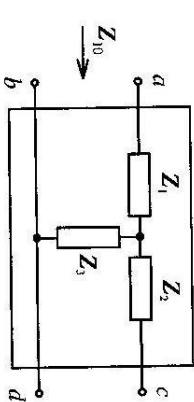
$$\boxed{\mathbf{A} = \begin{bmatrix} 2 & 30 \\ 0,1 & 2 \end{bmatrix}}$$

9.5 Pasivní, podélne symetrický dvojbran se skládá pouze z ohmických odporů. Z údajů ampérmetru A_1 , A_2 a voltmetu určete kaskádní matici dvojbranu \mathbf{A} .



$$\boxed{\mathbf{A} = \begin{bmatrix} 3 & 80 \\ 0,1 & 3 \end{bmatrix}}$$

9.6 Pro dvojbran podle obrázku stanovte vstupní impedanci naprázdro.

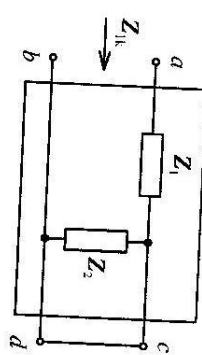


$$\boxed{Z_{10} = Z_1 + Z_3}$$

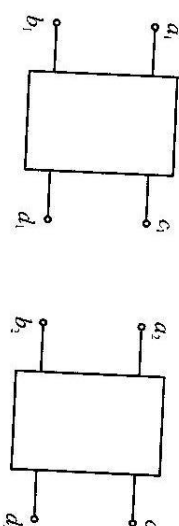
9.7 Podélne symetrický dvojbran má vstupní impedanci naprázdro $Z_{10} = 40 e^{j80^\circ} \Omega$. a vstupní impedanci nakrátko $Z_{1k} = 10 e^{j40^\circ} \Omega$. Stanovte jeho vlnovou impedanci Z_0 .

$$\boxed{Z_0 = 20 e^{j60^\circ} \Omega}$$

9.8 Pro dvojbran podle obrázku stanovte vstupní impedanci nakrátko.

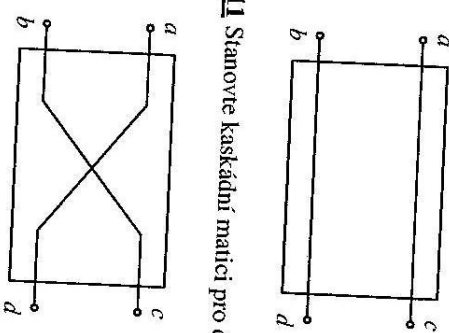


9.9 Doplňte zapojení obou dvojbran tak, aby byly spojeny v sérii.



Jsou spojeny svorky b_1 a a_2 svorky d_1 a c_2 .

9.10 Stanovte kaskádní matici pro dvojbranu podle obrázku.



Ze vztahů $U_1 = U_2$, $I_1 = I_2$ plyne:

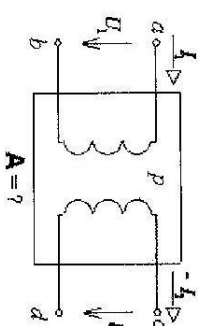
$$\mathbf{A} = \begin{bmatrix} 1 & 0 \\ 0 & 1 \end{bmatrix}$$

9.11 Stanovte kaskádní matici pro dvojbran podle obrázku.

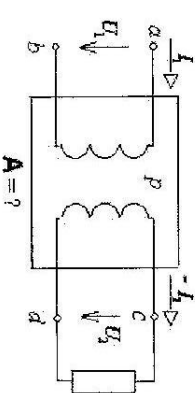
Ze vztahů $U_1 = -U_2$, $I_1 = -I_2$ plyne:

$$\mathbf{A} = \begin{bmatrix} -1 & 0 \\ 0 & -1 \end{bmatrix}$$

9.12 Stanovte kaskádní matici ideálního transformátoru s převodem p .

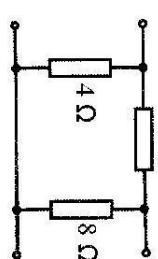


9.13 Určete vztah mezi vstupní a výstupní impedancí ideálního transformátoru s převodem p , je-li zatízen impedancí Z_2 .



$$Z_1 = \frac{U_1}{I_1} = \frac{pU_2}{\frac{1}{p}(-I_2)} = p^2 Z_2$$

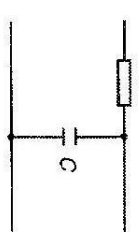
9.14 Pro dvojbran na obrázku vypočtěte prvky admittanční matici



$$\mathbf{Y} = \begin{bmatrix} 0,75, & 0,5 \\ 0,5, & 0,625 \end{bmatrix}$$

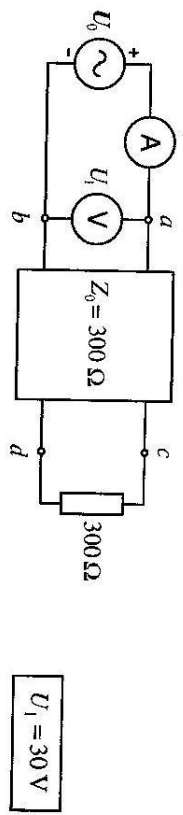
9.15 Stanovte prvky kaskádní matice \mathbf{A} pro Γ článek na obrázku, je-li dáno:

$$\omega = 1000\text{s}^{-1}, R = 1\text{k}\Omega, C = 1\mu\text{F},$$

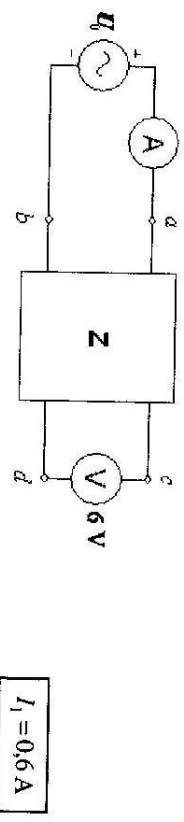


$$\mathbf{A} = \begin{bmatrix} 1 + j\omega L, & 10^3 \\ j10^{-3}, & 1 \end{bmatrix}$$

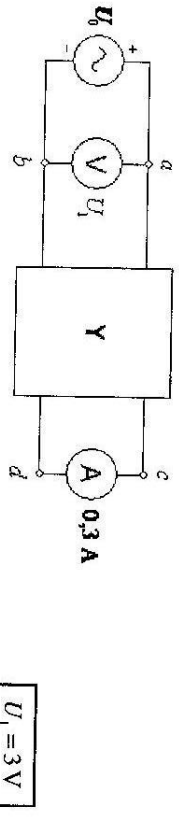
9.23 Dvojbran podle obrázku má vlnovou impedanci $Z_0 = 300 \Omega$. Stanovte údaj voltmetu, jestliže ampémetr ukazuje $I_1 = 0,1 \text{ A}$.



9.24 Je dána impedanční matice dvojbranu $\mathbf{Z} = \begin{bmatrix} 20 & 10 \\ 10 & 20 \end{bmatrix}$. Stanovte údaj ampermetru, jestliže voltmeter ukazuje napětí $U_2 = 6 \text{ V}$.



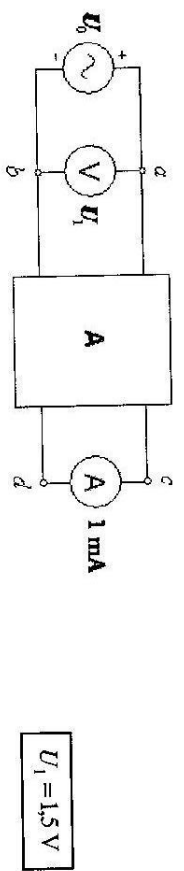
9.25 Pro dvojbran s admittanční maticí $\mathbf{Y} = \begin{bmatrix} 0,1 & 0,1 \\ 0,1 & 0,2 \end{bmatrix}$ stanovte údaj voltmetu, jestliže ampémetr ukazuje proud $I_2 = 0,3 \text{ A}$.



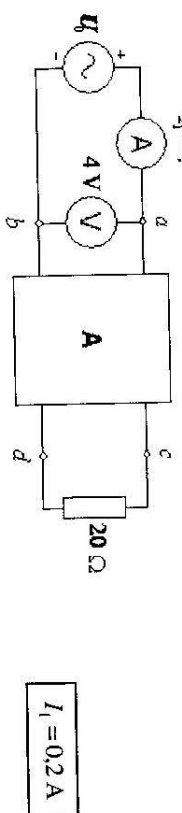
9.26 Útlum dvojbranu je $b_0 = 15 \text{ dB}$, výstupní napětí má efektivní hodnotu 50 V , určete amplitudu vstupního napětí.

$$U_{lm} = 407 \text{ V}$$

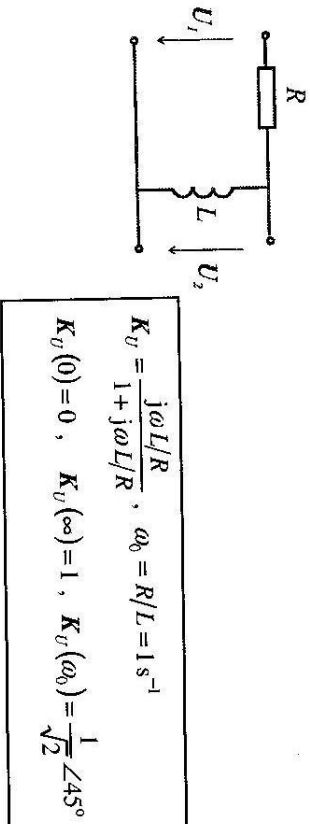
9.27 Kaskádní matice dvojbranu je $\mathbf{A} = \begin{bmatrix} 4 & 1500 \\ 0,01 & 4 \end{bmatrix}$, stanovte údaj voltmetu V, jestliže ampémetr A ukazuje proud $I_2 = 1 \text{ mA}$.



9.28 Je dána kaskádní matice dvojbranu $\mathbf{A} = \begin{bmatrix} \sqrt{5} & 40 \\ 0,1 & \sqrt{5} \end{bmatrix}$, určete údaj ampémetru, jestliže voltmeter ukazuje $U_1 = 4 \text{ V}$.



9.29 Pro daný dvojbran vypočtěte komplexní přenos napětí, mezní kmitočet a určete hodnoty K_U pro hodnoty $\omega = 0, \omega_0, \infty$. Dáno: $R = 1 \text{ k}\Omega, L = 1 \text{ mH}$.



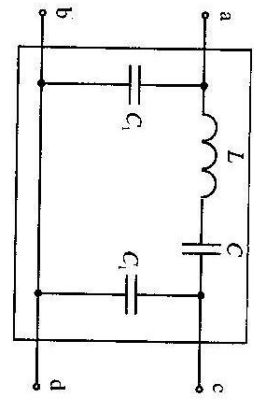
$$K_U = \frac{j\omega L/R}{1 + j\omega L/R}, \quad \omega_0 = R/L = 1 \text{ s}^{-1}$$

$$K_U(0) = 0, \quad K_U(\infty) = 1, \quad K_U(\omega_0) = \frac{1}{\sqrt{2}} \angle 45^\circ$$

9.30 Pro dvojbran podle obrázku stanovte útlum b_{0l} , jestliže harmonické napětí má úhlkovou frekvenci $\omega = \sqrt{LC}$.

10. OBVODY S NEHARMONICKY PROMĚNNÝMI NAPĚTÍMI A PROUDY V USTÁLENÉM STAVU.

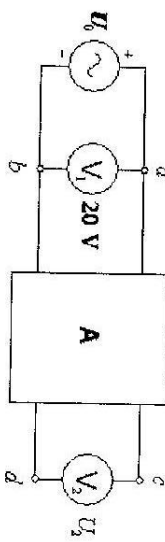
10.1 ZÁKLADNÍ VZTAHY



$$b_0 = 0$$

9.31 Kaskádní maticce dvojpranu je $\mathbf{A} = \begin{bmatrix} 4 & 1500 \\ 0,01 & 4 \end{bmatrix}$, stanovte údaj voltmetu V_2 ,

jestliže voltmetr V_1 ukazuje $U_1 = 20\text{ V}$.

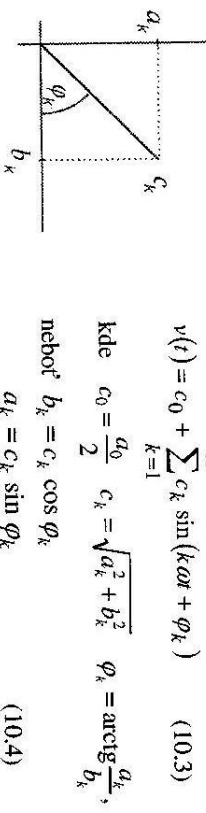


$$U_2 = 5\text{ V}$$

- je-li funkce $v(t)$ sudá, tj. $v(t) = v(-t)$, jsou koeficienty $b_k = 0$,
- je-li funkce $v(t)$ lichá, tj. $v(t) = -v(-t)$, jsou koeficienty $a_k = 0$.

Periodickou funkcí $v(t)$ lze také vyjádřit řadou

$$v(t) = c_0 + \sum_{k=1}^{\infty} c_k \sin(k\omega t + \varphi_k) \quad (10.3)$$



$$\text{kde } c_0 = \frac{a_0}{2}, \quad c_k = \sqrt{a_k^2 + b_k^2}, \quad \varphi_k = \arctg \frac{a_k}{b_k},$$

neboť $b_k = c_k \cos \varphi_k$

$$a_k = c_k \sin \varphi_k \quad (10.4)$$

Graf závislosti $c_k(\omega)$ nazýváme *amplitudové spektrum*, graf závislosti $\varphi_k(\omega)$ nazýváme *fázové spektrum*

Efektivní hodnotu funkce $v(t)$ lze určit ze vztahu

$$V = \sqrt{\left(\frac{a_0}{2}\right)^2 + \frac{1}{2}\left(\sum_{k=1}^{\infty} a_k^2 + b_k^2\right)} \quad (10.5)$$

nebo

$$V = \sqrt{c_0^2 + \frac{1}{2}\sum_{k=1}^{\infty} c_k^2} \quad (10.6)$$

V rov. (10.5) a (10.6) udávají Fourierovy koeficienty amplitudy jednotlivých harmonických, určíme-li z nich efektivní hodnoty

$$A_k = \frac{a_k}{\sqrt{2}}, \quad B_k = \frac{b_k}{\sqrt{2}}, \quad C_k = \frac{c_k}{\sqrt{2}} \quad k = 1, 2, 3, \dots$$

dostaneme vztahy vyjadřující tzv. Parsevalova rovnost

$$V = \sqrt{\left(\frac{a_0}{2}\right)^2 + \sum_{k=1}^{\infty} A_k^2 + \sum_{k=1}^{\infty} B_k^2} \quad \text{resp.} \quad V = \sqrt{c_0^2 + \sum_{k=1}^{\infty} C_k^2} \quad (10.7)$$

Analýzu obvodu s neharmonickými zdroji v ustáleném stavu provádíme následovně:

- danou periodickou funkci $u(t)$, zpravidla napříti resp. proud zdroje, rozložíme na harmonické složky dle rovnice (10.1) resp. (10.3)
- pro každou harmonickou složku určíme větové veličiny pomocí SKM
- okamžitou hodnotu hledaných větových veličin získáme superpozicí okamžitých hodnot od jednotlivých harmonických.

Výpočet výkonů u harmonických provádíme podle následujících vztahů:

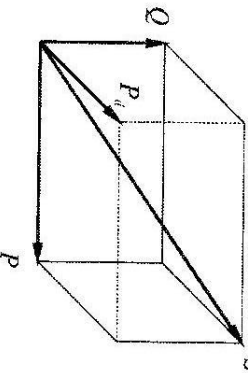
$$\begin{aligned} \text{činný výkon} \quad P &= \sum_{i=0}^n P_i \quad \text{W} \\ \text{jálový výkon} \quad Q &= \sum_{i=1}^n Q_i \quad \text{VAR} \\ \text{zdánlivý výkon} \quad S &= UI \quad \text{VA} \end{aligned} \quad (10.8) \quad (10.9) \quad (10.10)$$

kde U a I jsou *effektivní hodnoty* napětí a proudu vypočtené podle rovnice (10.5), (10.6). Jelikož pro neharmonické průběhy je $S^2 > P^2 + Q^2$, zavádíme další veličinu:

$$\text{deformační výkon} \quad P_d = \sqrt{S^2 - P^2 - Q^2} \quad \text{VA} \quad (10.11)$$

V obvodech s neharmonickými zdroji lze stanovit i účink $\cos \varphi$, ten však nevyjadřuje fázový posun mezi průběhem napětí a proudu, neboť je dán poměrem velikosti činného a zdánlivého výkonu

$$\cos \varphi = \frac{P}{S} = \lambda \quad (10.12)$$



Graficky lze zdánlivý výkon znázornit jako tělesovou úhlopříčkovou kvádr, jehož hrany vyladří velikost výkonu činného, jálového a deformačního.

Příklad X-1: Určete Fourierovy koeficienty a_k, b_k , je-li funkce $u(t)$ ve tvaru obdélníkových pulsů: $u(t) = U_m$ pro $t \in \left[0, \frac{T}{2}\right]$, $u(t) = 0$ pro $t \in \left(\frac{T}{2}, T\right)$

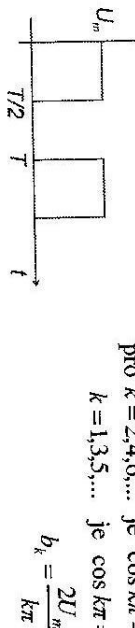
Řešení:

Podle rov. (10.1) a (10.2) vypočteme:

$$a_0 = \frac{2}{T} \int_0^T U_m dt = U_m \quad a_k = 0 \quad k = 1, 2, \dots \quad \text{funkce lichá}$$

$$b_k = \frac{2}{T} \int_0^T U_m \sin k\omega t dt = \frac{2U_m}{T} \left[-\frac{\cos k\omega t}{k\omega} \right]_0^T = \frac{U_m}{k\pi} (1 - \cos k\pi)$$

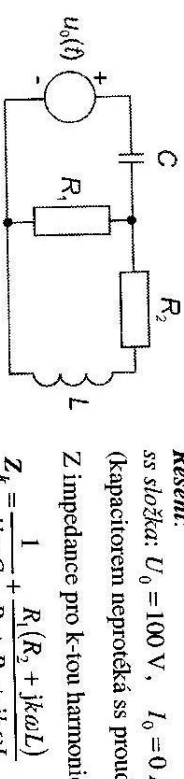
Vzhledem k periodicitě funkce \cos platí:
pro $k = 2, 4, 6, \dots$ je $\cos k\pi = 1 \Rightarrow b_k = 0$
 $k = 1, 3, 5, \dots$ je $\cos k\pi = -1$



Fourierův rozvoj funkce $u(t)$ zapíšeme ve tvaru

$$u(t) = \frac{U_m}{2} + \sum_{k=1,3,5,\dots} \frac{2U_m}{\pi} \frac{\sin k\omega t}{k} = \frac{U_m}{2} + \frac{2U_m}{\pi} \sin \omega t + \frac{2U_m}{\pi} \frac{\sin 3\omega t}{3} + \dots$$

Příklad X-2: Určete proud, který do obvodu dodává zdroj neharmonického napětí $u_0(t) = 100 + 50\sqrt{2} \sin \omega t + 10\sqrt{2} \sin(3\omega t + 30^\circ)$ V, je-li dán: $f = 50$ Hz, $C = 300 \mu F$, $L = 10 \text{ mH}$, $R_1 = 5 \Omega$, $R_2 = 3 \Omega$.



Řešení:

ss složka: $U_0 = 100$ V, $I_0 = 0$ A
(kapacitorem neprotéká ss proud)

Z impedance pro k-tou harmonickou

$$Z_k = \frac{1}{jk\omega C} + \frac{R_1(R_2 + jk\omega L)}{R_1 + R_2 + jk\omega L}$$

vypočteme proud k -té harmonické

$$I_k = \frac{U_{0k}}{Z_k} = \frac{50}{9,82} \angle 76,5^\circ \text{ A}$$

$$i_1(t) = 5,1\sqrt{2} \sin(\omega t + 76,5^\circ) \text{ A}$$

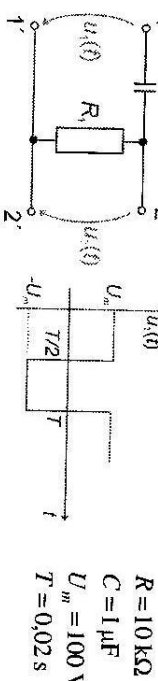
$$k = 3 \quad Z_3 = 4,2 \angle -28,5^\circ \Omega \quad I_3 = \frac{U_{03}}{Z_3} = \frac{10 \angle 30^\circ}{4,2 \angle -28,5^\circ} = 2,4 \angle 58,5^\circ \text{ A}$$

$$i_1(t) = 2,4\sqrt{2} \sin(3\omega t + 58,5^\circ) \text{ A}$$

Celkový proud dodávaný zdrojem do obvodu je dán součtem okamžitých hodnot jednotlivých harmonických:

$$i(t) = 5,1\sqrt{2} \sin(\omega t + 76,5^\circ) + 2,4\sqrt{2} \sin(3\omega t + 58,5^\circ) \text{ A}$$

Příklad X-3: Určete časový průběh napětí $u_2(t)$ na svorkách 2-2' je-li na vstupní svorky 1-1' připojen zdroj obdélníkových kmitů.



Řešení: Fourierův rozvoj

$$u_1(t) = \frac{4U_m}{\pi} \left(\sin \omega t + \frac{\sin 3\omega t}{3} + \frac{\sin 5\omega t}{5} + \dots \right)$$

pro k -tou harmonickou platí

$$U_{2k} = U_{1k} \frac{R}{R + \frac{1}{jk\omega C}} = U_{1k} \frac{jk\omega RC}{1 + jk\omega RC}$$

$$\begin{aligned} k &= 1 & U_{21m} &= 12,16 \angle 17,7^\circ \text{ V} \\ k &= 3 & U_{23m} &= 42,2 \angle 6,1^\circ \text{ V} \\ k &= 5 & U_{25m} &= 26,7 \angle 0,5^\circ \text{ V} \end{aligned}$$

$$u_2(t) = 12,16 \sin(\omega t + 17,7^\circ) + 42,2 \sin(3\omega t + 6,1^\circ) + 26,7 \sin(5\omega t + 0,5^\circ) + \dots \text{ V}$$

Příklad X-4: Vypočte defornacní výkon zdroje, jestliže napětí zdroje je

$$u_0(t) = 60 + 380 \sin(\omega t + 15^\circ) + 150 \sin(3\omega t - 10^\circ) + 10 \sin(5\omega t - 20^\circ) \text{ V a dodávaný proud je } i(t) = 2 + 5 \sin(\omega t - 15^\circ) + 0,5 \sin(5\omega t + 10^\circ) \text{ A}$$

Řešení:

Činný výkon: $P = 60,2 + \frac{380,5}{2} \cos 30^\circ + \frac{10,0,5}{2} \cos(-30^\circ) = 944,89 \text{ W}$

$$\text{Jalový výkon: } Q = \frac{380,5}{2} \sin 30^\circ + \frac{10,0,5}{2} \sin(-30^\circ) = 473,75 \text{ VA}$$

Efektivní hodnoty napětí a proudu vypočteme Parsevalovou rovností

$$U = \sqrt{60^2 + \frac{380^2 + 150^2 + 10^2}{2}} = 295,13 \text{ V}, \quad I = \sqrt{2^2 + \frac{5^2 + 0,5^2}{2}} = 4,08 \text{ A}$$

Z vypočtených hodnot určíme zdánlivý a defornacní výkon:

$$S = UI = 1204,13 \text{ VA}$$

$$P_d = \sqrt{S^2 - P^2 - Q^2} = 576,8 \text{ VAd}$$

10.2 PŘÍKLADY K PROCVIČENÍ

10.1 Určete efektivní hodnotu U periodické funkce $u(t)$

$$u(t) = 10 + 100 \cos \omega t + 50 \cos 2\omega t + 20 \cos 3\omega t \text{ V.}$$

$$U = 80,9 \text{ V}$$

10.2 Určete koeficienty Fourierovy řady c_k a φ_k pro periodickou funkci $v(t)$

$$v(t) = 10 + \sum_{k=1}^{\infty} \frac{8}{k} \cos k\omega t + \sum_{k=1}^{\infty} \frac{6}{k} \sin k\omega t,$$

$$\boxed{c_k = \frac{10}{k}, \varphi_k = 53,1^\circ}$$

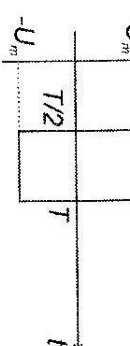
10.3 Určete efektivní hodnotu neharmonického proudu

$$i(t) = 5 + 10 \sin(\omega t + 30^\circ) + 5 \sin(3\omega t - 30^\circ) \text{ A.}$$

$$I = 9,35 \text{ A}$$

10.4 Stanovte Fourierovy koeficienty a_k , b_k obdélníkových kmitů, vypočte c_k .

$$u(t)$$



$$\boxed{\begin{aligned} a_0 &= 0, \quad a_k = 0, \\ b_k &= \frac{4U_m}{k\pi} \text{ pro k liché} \\ c_k &= b_k \end{aligned}}$$

10.5 Stanovte Fourierovy koeficienty a_0 , a_k , b_k pro periodickou funkci $v(t)$ dle obrázku.

Nápoveda:

$$\int t \cos k\omega t dt = \frac{\cos k\omega t}{(k\omega)^2} + \frac{t \sin k\omega t}{k\omega}$$

$$\int t \sin k\omega t dt = \frac{\sin k\omega t}{(k\omega)^2} - \frac{t \cos k\omega t}{k\omega}$$



$$\boxed{a_0 = V_m, \quad a_k = 0, \quad b_k = -\frac{V_m}{k\pi}}$$

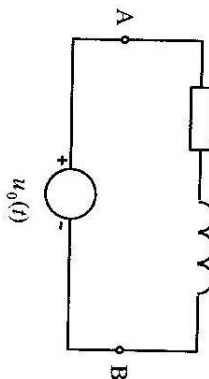
10.6 Z koeficientů a_k , b_k určete střední a efektivní hodnotu funkce $v(t)$ z předchozího příkladu. Použijte Parsevalovu rovnici a vztah $\sum_{k=1}^{\infty} \frac{1}{k^2} = \frac{\pi^2}{6}$.

$$V_s = \frac{V_m}{2}, \quad V = \frac{V_m}{\sqrt{3}}$$

10.7 Impedance na svorkách A,B pro 1. harmonickou je $Z_1 = 10 + j10 \Omega$. Stanovte impedanci Z_3 na těchto svorkách pro 3. harmonickou.

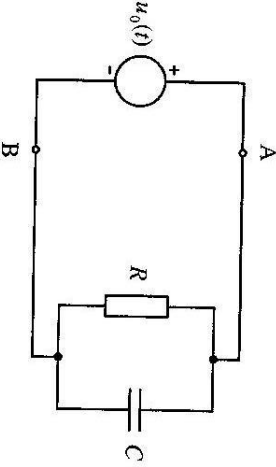
$$R$$

$$L$$



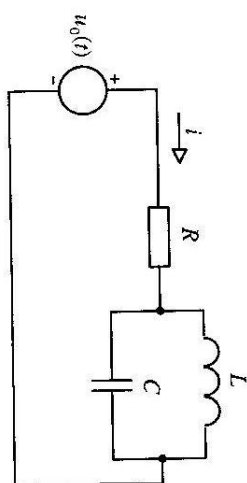
$$Z_3 = 10 + j30 \Omega$$

10.8 Obvod podle obrázku je napájen zdrojem periodického (neharmonického) napětí. Admitanč mezi svorkami A,B pro 1. harmonickou je $Y_1 = 1 + j2 S$. Stanovte admitanci Y_3 na těchto svorkách pro 3. harmonickou.



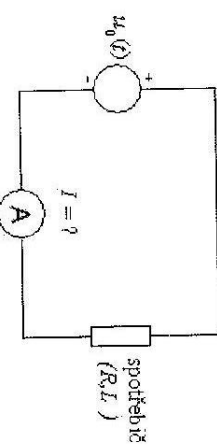
$$Y = 1 + j6 S$$

$$R = 5 \Omega, \omega L = \frac{1}{\omega C}$$



10.11 Stanovte efektivní hodnotu proudu $i(t)$, jestliže $u_0(t) = 20 + 10\sqrt{2} \sin \alpha t$ V.

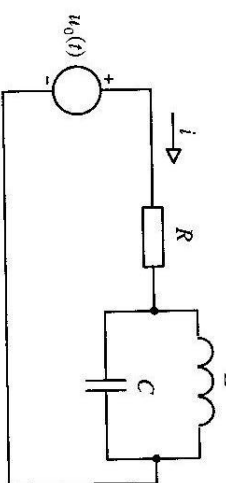
$$I = ?$$



$$I = 50 A$$

10.12 Stanovte údaj ampérmetru, jestliže $u_0(t) = 50 + 200 \sin 1000t$ V.

$$I = ?$$



$$I = 4 A; \text{ obvod je pro 1. harmonickou v rezonanci}$$

10.9 Stanovte údaj voltmetu, jestliže
 $u_0(t) = 8\sqrt{2} \sin\left(\omega t + \frac{\pi}{3}\right) + 6\sqrt{2} \sin\left(3\omega t + \frac{\pi}{6}\right)$ V.

$$U = ?$$

$$U = 10 V$$

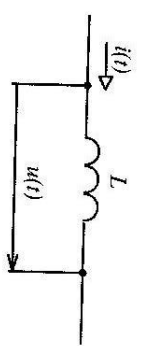
10.10 Stanovte údaj ampérmetru, jestliže $i(t) = 30 + 40\sqrt{2} \sin 5\omega t$ A.

$$i$$

$$I = ?$$



10.13 Indukčností protéká proud $i(t) = 4 + 30\sqrt{2} \sin \omega t + 5\sqrt{2} \sin 3\omega t$ A. Vypočítejte, kolikrát je amplituda 1. harmonické napětí na indukčnosti větší, než amplituda 3. harmonické.



10.14 Určete efektivní hodnotu neharmonického napětí $u(t) = 100 + 25 \sin 3\omega t + 10 \sin 5\omega t$ V.

$$\frac{U_{m1}}{U_{m3}} = 2$$

$$U = 101,8 \text{ V}$$

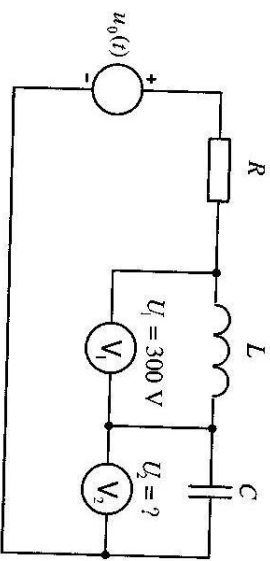
10.15 Efektivní hodnota proudu $i(t) = 100 + I_m \sin \omega t$ je 103,1 A. Stanovte velikost I_m .

$$I_m = 35,5 \text{ A}$$

10.16 Určete zdánlivý výkon na dvojpólu, je-li proud $i(t) = 4 + 10\sqrt{2} \sin \omega t + 5 \sin 3\omega t$ A a napětí $u(t) = 20 + 100\sqrt{2} \sin \omega t + 25 \sin 3\omega t + 10 \sin 5\omega t$ V.

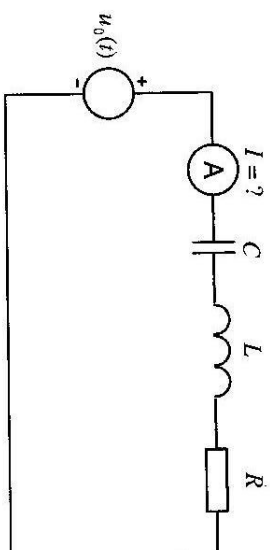
$$S = 1176,4 \text{ VA}$$

10.17 Stanovte údaj voltmetu V_2 , jestliže voltmetr V_1 ukazuje $U_1 = 300$ V. Napětí zdroje $u_0(t) = 400 + 200\sqrt{2} \sin \omega t$ V; při úhlové frekvenci ω je $\omega L = \frac{1}{\omega C}$.



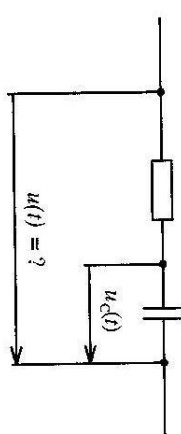
$$U_2 = 500 \text{ V}$$

10.18 Stanovte údaj ampérmetru, jestliže $u_o(t) = 400 + 200\sqrt{2} \sin \omega t$ V, $R = 40 \Omega$; při úhlové frekvenci ω je $X_C = X_L = 60 \Omega$.



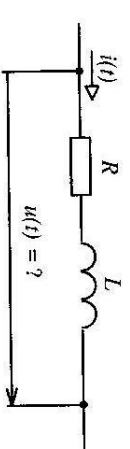
$$I_2 = 5 \text{ A}$$

10.19 Stanovte průběh napětí $u(t)$ na věti podle obrázku, jestliže $u_C(t) = 10 + 20 \sin 100t$ V, $R = 100 \Omega$, $C = 300 \mu\text{F}$.



$$u(t) = 10 + 20 \sin 100t + 60 \cos 100t \text{ V}$$

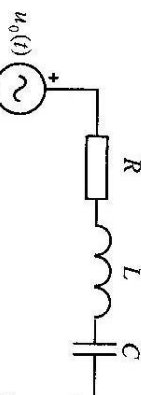
10.20 Stanovte průběh napětí $u(t)$ na věti podle obrázku, jestliže $i(t) = 2 + 3 \sin 100t$ A, $R = 1 \Omega$, $L = 10 \text{ mH}$.



$$u(t) = ?$$

10.21 Stanovte činný výkon zdroje, jestliže $u_0(t) = 100 + 100\sqrt{2} \sin(100t + 45^\circ)$ V a $\omega L = \frac{1}{\omega C} = R = 100 \Omega$.

$$u(t) = 2 + 3 \sin 100t + 3 \cos 100t \text{ V}$$



$P = 100 \text{ W}$; obvod je v rezonanci
pro 1. harmonickou napětí zdroje

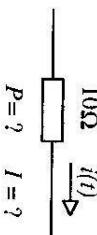
10.22 Napájí-li se odporník ze zdroje proudu pravoúhlých kmitů, je jeho výkon (jouleovo teplo) P_1 , napájíme-li jej ze zdroje proudu harmonického průběhu, je jeho výkon P_2 . Stanovte poměr P_1/P_2 , jsou-li maximální hodnoty proudu v obou případech stejné.

$$\frac{P_1}{P_2} = 2$$

10.23 Proud protékající odporem 10Ω má tento časový průběh:

$$i(t) = 5 + 14,14 \cos t + 7,07 \cos 2t \text{ A.}$$

Stanovte: a) efektivní hodnotu proudu, b) činný výkon dodaný odporu

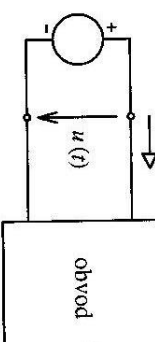


$$I = \sqrt{150} \text{ A}, P = 1,5 \text{ kW}$$

10.24 Napětí a proud na větví obvodu se v závislosti na čase mění periodicky podle vztahů:
 $u(t) = 80\sqrt{2} \sin(\omega t + 15^\circ) + 60\sqrt{2} \sin(3\omega t - 20^\circ) \text{ V,}$
 $i(t) = 40\sqrt{2} \sin(\omega t + 75^\circ) + 30\sqrt{2} \sin(3\omega t + 40^\circ) \text{ A.}$

Stanovte činný výkon větve.

$$P = 2,5 \text{ kW}$$



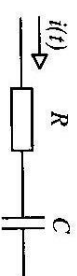
$$P = 1268 \text{ W}, \\ U = 173,8 \text{ V}, I = 10,25 \text{ A}, \\ S = 1,781 \text{ kVA}, \cos\phi = 0,71$$

10.25 Napětí a proud na větví obvodu se v závislosti na čase mění periodicky podle vztahů:
 $u(t) = 80\sqrt{2} \sin(\omega t + 15^\circ) + 60\sin(3\omega t + 20^\circ) \text{ V,}$
 $i(t) = 40\sqrt{2} \sin(\omega t - 15^\circ) + 40\sin(3\omega t - 70^\circ) \text{ A.}$

Stanovte jalový výkon větve.

$$Q = 2800 \text{ VAr}$$

10.26 Stanovte činný výkon dodávaný do obvodu, je-li na vstupních svorkách napětí $u(t) = 100 + 100\cos t + 50\cos 2t + 30\cos 3t \text{ V}$ a proud $i(t) = 10\cos(t - 60^\circ) + 2\cos(3t - 45^\circ) \text{ A.}$

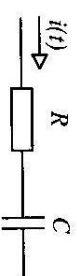


10.27 Impedance dvojpólu R, C je při frekvenci ω rovna $Z = 6 - j9 \Omega$. Stanovte činný a jalový výkon větve, jestliže $i(t) = 10\sqrt{2} \sin\omega t + \sqrt{2}\sin 3\omega t \text{ A.}$

$$P = 271,2 \text{ W}; \text{ přičemž: } P_0 = 0, \\ P_1 = 250 \text{ W}, P_2 = 0, P_3 = 21,2 \text{ W}$$

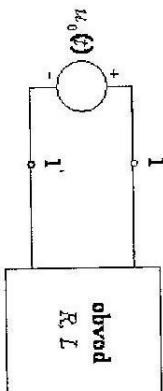
$$Q = 350 \text{ VAr}$$

10.28 Impedance dvojpólu R, L je pro 3. harmonickou $Z = 3 + j12 \Omega$, stanovte jalový výkon, je-li proud $i(t) = 2 + 10\sin\omega t + 5\sin(3\omega t + 30^\circ) \text{ A.}$



$$P = 606 \text{ W}, Q = -903 \text{ VAr}$$

10.29 Stanovte P, S a $\cos\varphi$, je-li na vstupních svorkách 1-1' proud $i(t) = 10 + 3\sin\omega t + \sin(3\omega t + 30^\circ) \text{ A}$ a napětí $u_0(t) = 100 + 200\sin(\omega t + 30^\circ) + 20\sin(3\omega t + 60^\circ) \text{ V.}$



$$P = 1268 \text{ W}, \\ U = 173,8 \text{ V}, I = 10,25 \text{ A}, \\ S = 1,781 \text{ kVA}, \cos\varphi = 0,71$$

10.30 Určete účiník $\cos\varphi$, jestliže na svorkách 1-1' obvodu z předchozího příkladu byly zjištěny hodnoty $P = 50\text{W}$, $Q = 30 \text{ VAr}$, $P_d = 20 \text{ VAd}$,

$$S = 61,6 \text{ VA}, \cos\varphi = 0,81$$

10.31 Určete hodnotu zdánlivého a deformačního výkonu, je-li dán:

$$P = 1000 \text{ W}, Q = 500 \text{ VAr}, U = 1000 \text{ V}, I = 10 \text{ A}.$$

10.32 Stanovte zdánlivý výkon a deformačního výkonu, je-li dán:

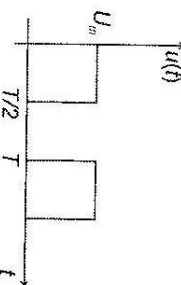
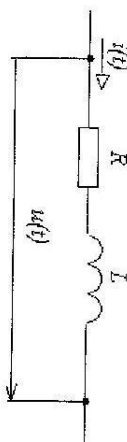
$$\begin{aligned} i(t) &= 10 + 10\sin(\omega t + 5^\circ) + 5\sin(3\omega t - 15^\circ) \text{ A} \\ u(t) &= 20 + 200\sin(\omega t + 10\sin(3\omega t + 45^\circ)) \text{ V}. \end{aligned}$$

$$I = 12,74 \text{ A}, U = 141,6 \text{ V}, S = 1804 \text{ VA}$$

$$P = 1012,5 \text{ W}, \cos\varphi = 0,56$$

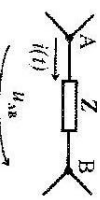
10.33 Na svorky dvojpólu je připojeno napětí $u(t)$ ve tvare obdélníkových pulsů, určete činný výkon dodaný do dvojpólu, je-li dán:

$$U_m = 100 \text{ V}, R = 10 \Omega, L = 10 \text{ mH}, \omega_0 = 1000 \text{ s}^{-1}$$



$$\begin{aligned} P &= 353,8 \text{ W} \\ \text{efektivní hodnoty } I_0 &= 5 \text{ A}, \\ I_1 &= 3,086 \text{ A}, I_3 = 0,474 \text{ A}, \\ I_5 &= 0,177 \text{ A} \end{aligned}$$

10.34 Vypočtěte časový průběh napětí na impedanci Z , jestliže časový průběh proudu je $i(t) = 5\sin(\omega t + 30^\circ) + 2\sin(3\omega t - 50^\circ) \text{ A}$ a impedance pro 1.harmonickou má hodnotu $Z = 10 - j30 \Omega$.



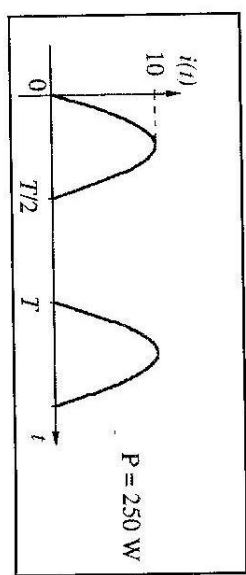
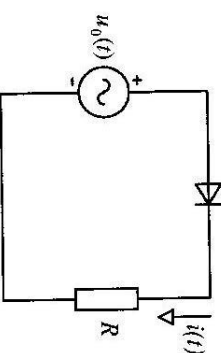
$$u(t) = 15,81\sin(\omega t - 41,57^\circ) + 2,828\sin(3\omega t - 95^\circ) \text{ V}$$

10.35 Vypočtěte deformační výkon, je-li na impedanci napětí a proud :

$$u(t) = 50 + 100\sin(\omega t + 30^\circ) + 20\sin(3\omega t - 50^\circ) \text{ V},$$

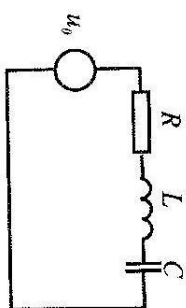
$$i(t) = 2 + 8\sin(\omega t - 20^\circ) + 2\sin(3\omega t - 60^\circ) \text{ A}.$$

10.36 V obvodu dle obrázku je zdroj harmonického napětí $u_0(t) = 100\sin(\omega t) \text{ V}$. Zakreslete časový průběh proudu a vypočtěte činný příkon spotřebiče o odporu $R = 10 \Omega$.



10.37 Vypočtěte deformační výkon v obvodu, je-li dán:

$$\begin{aligned} u_0(t) &= 220\cos(\omega t + 50)\cos(3\omega t + 20^\circ) \text{ V} \\ f &= 50 \text{ Hz}, R = 30 \Omega, L = 0,1 \text{ H}, C = 200 \mu\text{F}, \end{aligned}$$



$$\begin{aligned} i(t) &= 4,61\sqrt{2}\cos(\omega t - 27,29^\circ) + \\ &+ 0,377\cos(3\omega t - 51,35^\circ) \text{ A} \\ P &= 641,59 \text{ W}, Q = 341,23 \text{ VAr}, \\ S &= 737,83 \text{ VA}, P_d = 126,57 \text{ VAd} \end{aligned}$$

Základy elektrických obvodů v příkladech

prof. Ing. Zdeňka Benešová, CSc.
Ing. Marcela Ledvinová, Ph.D.

Lektor:
doc. Ing. Jiří Kotlan, CSc.

Vydavatel:
Západočeská univerzita v Plzni

Univerzitní 8, 306 14 Plzeň
Vydavatelství – tel.: 377 631 951

Katedra:
Vedoucí katedry:
prof. Ing. Zdeňka Benešová, CSc.

Určeno:
Vyšší:
pro studenty 1. a 2. ročníku FEL, FAV
únor 2008

Počet stran:
Počet obrázků:
Počet příloh:

146
306
0

AA / VA:
Nositelé autorských práv:

9,04 / 9,43
autorky

Vydání:
1. vydání

brožované

Náklad:
Číslo publikace:
Vyrobit:
Cena Kč:

400 výtisků
1851
TYPOS, tiskařské závody, a.s., Plzeň
157,00

Tato publikace neprošla redakční ani jazykovou úpravou.

55 - 066 - 08
17/54 Kč 157,00